

No 879 1975 Mussop

ALTERRA.

Wageningen Universiteit & Research centre
Omgevingswetenschappen
Centrum Water & Klimaat
Team Integraal Waterbeheer

VERTIKALE WEERSTAND VAN HET AFDEKKEND PAKKET IN MIDDEN-WEST NEDERLAND

K.E. Wit, ing.



257257

- INHOUD -

	BLZ.
INLEIDING	1
MEETPRINCIPLE	1
UITVOERING VAN HET ONDERZOEK	4
BEREKENING VAN C-WAARDEN	5
FORMATIE CONSTANTEN UIT POMPPROEVEN	9
RELATIE TUSSEN C-WAARDE EN PROFIELKENMERKEN	9
SAMENVATTING	10
LIJST VAN GEBRUIKTE SYMBOLEN	11
LITERATUUR	12

Inleiding

De toenemende verzilting van het oppervlaktewater in Midden-West Nederland is aanleiding gegeest tot het uitvoeren van een geo-hydrologisch onderzoek in dit gebied, dat globaal wordt begrensd door het Noordzeekanaal, het Amsterdam-Rijnkanaal, de Lek en de Nieuwe Waterweg.

De bepaling van de vertikale weerstand of c-waarde van het afdekkend pakket vormde een onderdeel van bovengenoemd onderzoek. Deze bodemconstante stelt een vertikale stromingsweerstand voor en geeft in relatie met het potentiaalverschil tussen de stijghoogte van het grondwater in de watervoerende laag en het freatisch vlak de intensiteit van de vertikale stroming. Uit gevonden waarden voor de vertikale stroming en de isohypsenkaarten van het 'diepe' grondwater kunnen kD-waarden worden berekend (ERNST, 1964).

In deze nota zal de toegepaste methode voor het verkrijgen van gegevens betreffende de c-waarde worden toegelicht en zullen de resultaten worden getoetst aan de huidige geo-hydrologische situatie.

Meetprincipe

In Midden-West Nederland kan de geo-hydrologische gesteldheid grotendeels schematisch worden voorgesteld door een of meerdere watervoerende lagen, welke aan de top worden begrensd door slecht doorlatende klei- en veenlagen. Daar de doorlatendheid in de eerste watervoerende laag veel groter is dan de doorlatendheid van het afdekkend pakket is de stroming in het afdekkend pakket praktisch verticaal en geldt:

$$v_z c = (h'' - h') \quad (1)$$

verder is $c = \frac{D}{k_v}$ (2)

Door van het afdekkend pakket met dikte D ongeroerde monsters te verzamelen en hiervan de vertikale doorlatendheid te bepalen, is de c -waarde te berekenen. Deze werkwijze is toegepast bij een geo-hydrologisch onderzoek in 'De Oude Korendijkpolder' (WIT, 1963). Daar uitvoering volgens deze methode op een honderd locaties te veel tijd zou vergen, is een andere procedure gevolgd, die in fig. 1 is weergegeven. Hierbij zijn filters gesteld op een diepte van 1.5 en 4.5 m beneden maaiveld benevens een filter in de watervoerende laag en een peilschaal in open water. Van de laag 1.5 tot 4.5 m zijn afhankelijk van de homogeniteit van het profiel in 2 of 3 boringen ongeroerde monsters genomen. Afhankelijk van de profielopbouw zijn vanaf 1.5 tot 4.5 m diepte een aantal lagen onderscheiden. Van elke laag is de vertikale weerstand afzonderlijk per boring berekend volgens:

$$c^o = \frac{D}{n} \sum_{m=1}^n \frac{1}{k_{vm}} \quad (3)$$

Van de verkregen weerstanden c_a^o , c_b^o en c_c^o betrekking hebben-de op corresponderende lagen van de boringen A, B en C is het meetkundig gemiddelde c_n^o genomen op grond van eerder verrichte onderzoeken (VAN HOORN, 1960). We krijgen nu voor de weerstand van de laag van 1.5 tot 4.5 m diepte:

$$c' = c_1' + c_2' + c_3' + \dots + c_n' \quad (4)$$

In fig. 1 geldt (1) voor de laag 1.5 tot 4.5 m en van 4.5 tot de basis van het afdekkend pakket.

$$v_{zB} c' = (h_1 - h') \quad (5)$$

$$v_{zA} c'' = (h'' - h_1) \quad (6)$$

Wegens continuïteit van de stroming is $v_{zB} = v_{zA}$. Uit (5) en (6) volgt:

$$c = \frac{(h'' - h')}{(h_1 - h')} c' \quad (7)$$

In (1) tot en met (7) is er van uitgegaan dat h' de gemiddelde hoogte van het freatisch vlak voorstelt; dit is echter niet altijd juist. Daarom is het meer correct h' voor te stellen door:

$$h_p + \alpha (h' - h_p) \quad (8)$$

De waarde van α is afhankelijk van sloot- en drainafstand, horizontale doorlatendheid en de afstand van het meetpunt tot sloot of drain. Het is mogelijk de afstand van het meetpunt tot de sloot of drain zo te kiezen, dat h' de gemiddelde hoogte van het freatisch vlak voorstelt. Volgens de drainageformule van Ernst kan de horizontale stroming worden voorgesteld door:

$$\Delta h(\text{hor}) = \frac{NL^2}{8KD} \quad (9)$$

Uit (9) valt af te leiden dat de gemiddelde hoogte van het freatisch vlak ongeveer gelijk is aan de grondwaterstand op een afstand van $1/5 L$ tot sloot of drain.

Bij het plaatsen van de filters is getracht aan bovenstaande voorwaarde te voldoen. Bij een aantal meetpunten was dit echter niet mogelijk; in deze gevallen is uit h_p , h' afstand meetpunt tot de sloot, doorlatendheid en slootafstand een waarde voor α afgeleid. Substitutie van (8) in (7) geeft:

$$c = \frac{h'' - h_p - \alpha(h' - h_p)}{h_1 - h_p - (h' - h_p)} c' \quad (10)$$

Bij een groot aantal meetpunten volgde uit de tijdstijg-hoogtelijnen een periode, waarin $h_p \approx h'$ was; voor deze punten is (10) bij benadering te vervangen door (7).

Uitvoering van het onderzoek

In 1969 is met het onderzoek begonnen. Voor het vaststellen van de locaties van de meetpunten is mede uitgegaan van bekende gegevens, zoals topografie, isohypsenkaarten, isohalinenkaarten, polderpeilen en kaarten met peilbuizen. In fig. 2 zijn de meetpunten weergegeven, die in een aantal west-oost en noord-zuid raaien zijn geprojecteerd, waarbij globaal een roosternet is verkregen.

Het installeren van de meetpunten omvatte het nemen van ongeroerde monsters en het plaatsen van filters en slootpeilen zoals in fig. 1 is afgebeeld. Voor de monstername is een lichtere uitvoering van het I.C.W. steekapparaat gebruikt (WIT, 1962; JAARVERSLAG I.C.W., 1963). Het stellen van de filters in de watervoerende laag is, voorzover geen gebruik kon worden gemaakt van reeds aanwezige peilbuizen, uitgevoerd door middel van spoelboringen (VAN 't LEVEN, VAN DER WEERD, 1958). Voor de filters op 1,5 en 4,5 m diepte is 5/8" p.v.c. buis gebruikt met aan de onderzijde perforaties over een lengte van 30 cm. Het filter op 4,5 m is gesteld in een open boorgat, dat ontstaat wanneer de bij geo-electrische metingen in de grond gedreven sondeerstangen weer uit de grond worden getrokken (WIT, WIJNSMA, 1970). Het filter op 1,5 m diepte is met behulp van een grondboor gesteld. Voor het meten van het slootpeil is een piket aangebracht.

Aan de ongeroerde monsters is in het laboratorium de vertikale doorlatendheid bepaald (WIT, 1967). Verder is visueel de

lithologie vastgesteld en heeft bepaling van poriënvolume en minerale delen plaats gehad ingeval het veenmonsters betrof.

Met het opnemen van grondwaterstanden en slootpeilen is in mei 1970 van de in 1969 gereed gekomen 49 meetpunten begonnen. In 1971 zijn tevens de in 1970 gerealiseerde meetpunten in het meetprogramma opgenomen. De metingen zijn twee keer per maand uitgevoerd. In december 1971 is het veldwerk besindigd.

Berekening van c'-waarden

De aan de ongeroerde monsters bepaalde vertikale doorlatendheid is in de bijlagen h.01 tot en met h.093 weergegeven. Uit deze gegevens is met behulp van de formules (3) en (4) c' berekend. Deze waarde is eveneens in bovengenoemde bijlagen gegeven.

In formule (4) is c'_n het meetkundig gemiddelde van de berekende waarden voor de onderscheiden lagen van de afzonderlijke boringen. In tabel I zijn tevens c' -waarden vermeld berekend als rekenkundige gemiddelde. Uit de geringe verschillen volgt dat bij de uitgevoerde bemonstering elke boring afzonderlijk reeds een goede benadering van de c' -waarde geeft.

Tabel I. Berekende c' -waarden

nr. boring	c' -waarde (meetk. gem.) (dagen)	c' -waarde (rekenk. gem.) (dagen)
h.050	594	594
h.051	236	244
h.052	1187	1186
h.053	541	566
h.054	248	260
h.056	297	298
h.057	269	271
h.058	354	362
h.059	144	152
h.060	121	124

De gemeten grondwaterstanden in de filters en het slootpeil volgens het schema in fig. 1 zijn in tijdstijghoogtediagrammen uitgezet. Voor het berekenen van de c-waarden van het gehele afdekkend pakket zijn afhankelijk van de geo-hydrologische gesteldheid ter plaatse van het meetpunt en de afstand van het meetpunt tot open water de formules (3) en (4) of (7) of (10) gebruikt. Het lijkt daarom gewenst de volgende indeling te maken:

I. $c' > 0; c'' \approx 0$

In dit geval heeft het afdekkend pakket een geringe dikte en staat het 4.5 m filter reeds in de watervoerende laag. De tijdstijghoogtelijnen van het diepe filter en het 4.5 m vallen praktisch samen. In fig. 3 is dit weergegeven voor meetpunt h.0.3. Tabel II geeft de locaties betreffende deze indeling. Voor de berekening zijn formules (3) en (4) gebruikt.

Tabel II. Berekende c-waarden voor geval I

nr. boring	$c' = c$ -waarde (dagen)	nr. boring	$c' = c$ -waarde (dagen)
3	54	69	247
10	254	73	1167
12	1442	74	3063
14	148	77	1436
15	38		

II. $c' > 0; c'' > 0$

Wanneer uit de tijdstijghoogtelijnen een periode volgde, waarin $h_p \approx h'$ was en of wanneer de afstand tot de sloot $\approx 1/5L$ was, is formule (7) voor de berekening van de c-waarde gebruikt. Fig. 4 en 5 geven de tijdstijghoogtelijnen van de meetpunten h.023 en h.057 voor respectievelijk $h_p \approx h'$ en de afstand van

het meetpunt tot de sloot ongeveer gelijk $1/5L$. Bij 66 van de 72 punten deed zich bovengenoemde situatie voor. Voor de overige 6 punten is een waarde voor $\alpha \approx 1$ afgeleid uit h_p , h' , slootafstand en de afstand van het meetpunt tot de sloot, ingezonderd h_{032} waarvoor $\alpha = 0,7$ is gevonden. Voor $\alpha = 1$ kan formule (10) worden vervangen door (7), zodat (10) alleen is toegepast bij het meetpunt h_{032} . Fig. 6 geeft de tijdstijghoogtelijnen van h_{063} voor $\alpha = 1$. In tabel II zijn de berekende c-waarden gegeven.

Tabel II. Berekende c-waarden voor geval II

nr. boring	c-waarde (dagen)	nr. boring	c-waarde (dagen)	nr. boring	c-waarde (dagen)
4	25	33	2 520	58	4 580
5	1 918	34	1 996	59	1 180
6	1 295	35	3 850	60	230
7	2 250	36	413	61	6 300
8	1 720	37	189	62	10 060
9	1 307	38	2 330	63	616
11	3 310	39	740	64	1 660
13	33	40	1 260	66	990
16	82	41	4 880	67	2 280
17	1 600	42	536	68	1 275
18	142	43	1 090	70	1 270
19	1 250	44	2 790	71	2 420
20	12 800	45	10 100	72	3 950
21	10 900	46	1 330	75	5 550
22	15 000	47	11 550	78	8 800
23	1 180	48	76	79	9 500
24	8 700	49	4 700	81	2 390
25	1 460	50	2 310	82	14 000
26	5 920	51	3 650	83	4 730
27	6 800	52	9 900	87	48
29	3 950	53	3 130	89	2 330
30	1 380	54	650	90	224
31	7 620	56	1 130	91	1 456
32	10 400	57	4 920	92	10 654

III. $c' \approx 0$; $c'' > 0$

Indien het bovenste gedeelte van het afdekkend pakket is samengesteld uit goed doorlatende zandlagen is $c' \approx 0$. De tijdstijghoogtelijnen van h' en h_1 , vallen praktisch samen. De c-waarde is in dit

geval niet zonder meer te berekenen. Door het plaatsen van een raai grondwaterstandsbuizen loodrecht op de sloten en een frequenter opname van grondwaterstanden volgt in een periode zonder neerslag en een te verwaarlozen capillaire opstijging de vertikale stroming q_v uit:

$$q_v = - \frac{8 kD(h_m - h_o)}{L^2} \quad (11)$$

De kD -waarde volgt globaal uit de boorbeschrijving en de aan ongeroerde monsters bepaalde doorlatendheid, h_m en h_o zijn respectievelijk de grondwaterstand midden op het perceel en op enige meters vanaf de sloot. De c -waarde volgt uit:

$$c = \frac{h' - h''}{q_v} \quad (12)$$

Bij 5 meetpunten, gelegen in het westelijk gedeelte van het gebied, was $c' \approx 0$. Wegens tijdgebrek is de hierboven voorgestelde uitbreiding van het aantal grondwaterstandsbuizen achterwege gebleven en is voor deze punten geen c -waarde berekend.

IV. $c' \approx 0; c'' \approx 0$

In dit geval is de c -waarde ≈ 0 , in het afdekkend pakket komen geen slecht doorlatende lagen voor. Bij geen enkel meetpunt is deze situatie aangetroffen..

Tijdens de meetperiode zijn een gering aantal meetpunten verloren gegaan als gevolg van de uitvoering van openbare werken.

In fig. 7 zijn de verkregen c-waarden in kaart gebracht. In een gebied aan weerszijden van de Oude Rijn en in de omgeving van Delft komen hoge c-waarden voor, daarentegen worden c-waarden van 250 dagen en lager aangetroffen in het oostelijk gedeelte van het gebied ten noorden van de Oude Rijn en in twee smalle stroken ten oosten van de duinen met uitzondering van het gebied ten westen van Leiden. In het overige gedeelte van het gebied varieert de c-waarde van 1000 tot 2500 dagen.

Formatieconstanten uit pompproeven.

In het gebied zijn een aantal pompproeven uitgevoerd voor het bepalen van kD-waarden van watervoerende lagen en c-waarden van slecht doorlatende lagen. Indien twee watervoerende lagen voorkomen en het pompfilter is gesteld in de eerste laag verschaft de pompproef gegevens omtrent een c-waarde, die betrekking heeft op de c-waarde van het afdekkend pakket en de slecht doorlatende laag tussen beide watervoerende lagen. In geval filters zijn gesteld in de tweede watervoerende laag kan de c-waarde afzonderlijk worden berekend. Bij de uitgevoerde pompproeven, waar dit achterwege is gebleven en bij de aanwezigheid van twee watervoerende lagen is in fig. 8, waarin de c-waarden uit pompproeven zijn gegeven, het teken \gg vermeld.

Relatie tussen c-waarde en profielkenmerken.

Uit de profielbeschrijvingen van de bijlagen h.o. 1 t/m h.o. 93 is een indeling gemaakt naar U-cijfer en slibgehalte. In fig. 9 is op de horizontale as deze indeling gegeven. De c-waarden per meter zijn op de middelloodlijn uitgezet. Bij gelijke c-waarden per kolom, zijn deze weergegeven aan weerszijden van bovengenoemde lijn. Hoewel de spreiding vrij groot is tengevolge van structuurverschillen valt in fig. 9 een duidelijk verband te constateren tussen c-waarde enerzijds en slibgehalte en U-cijfer anderzijds. Van elke kolom is de mediaanwaarde bepaald en aangeven in de figuur.

Voor veen, kleiig veen en venige klei is dezelfde bewerking uitgevoerd. Veenlagen zijn nog onderverdeeld in: oppervlakte veen, veen afgedekt door klei- en zandlagen en hard compact veen. Uit de bijlagen h.o. t/m h.o. 93 volgden c-waarden per meter van 30 dagen voor oppervlakte veen, 76 dagen voor veen afgedekt door klei- en zandlagen, 380 dagen voor hard compact veen, 50 dagen voor kleiig veen en 257 dagen voor venige klei.

De gevonden relatie tussen c-waarde en profielkenmerken is getoetst bij een aantal boringen, waar de c-waarde was bepaald volgens het meetprincipe uit fig. 1 en waarvan een goede profielbeschrijving beschikbaar was. In fig. 10 is het verband tussen de uit profielbeschrijvingen en de volgens fig. 1 berekende c-waarden gegeven. De geschatte c-waarde is bij hoge waarden lager dan de volgens fig. 1 berekende c-waarde. Een verklaring hiervoor is wellicht het feit dat uit de profielbeschrijving niet altijd valt af te leiden of de kleilagen 25-40% of meer dan 40% slib bevatten.

Met behulp van fig. 9, fig. 10 en de opgegeven c-waarden voor veen, venige klei en kleig veen zijn uit de profielbeschrijvingen van door het I.C.W. uitgevoerde pulsboringen c-waarden berekend. In fig. 11 zijn de verkregen resultaten weergegeven. Uit een vergelijking van deze figuur met fig. 7 en 8 blijkt dat er een redelijke overeenstemming aanwezig is, uitgezonderd het gebied rondom Moerkapelle en Zoetermeer.

Gezien de verkregen resultaten verdient het aanbeveling van meerdere boringen de c-waarde te bepalen volgens de hierboven aangegeven procedure. De nauwkeurigheid van de verkregen c-waarden is weliswaar niet erg groot maar in grootte-orde geven ze een waarde, die kan dienen als aanvulling op het verrichte onderzoek.

Uit de fig. 7, 8 en 11 is fig. 12 samengesteld waarbij aan de eerste twee figuren de meeste waarde is gehecht.

Samenvatting.

Voor Midden West Nederland is uit gemeten potentiaalverschillen in het veld en aan ongeroerde monsters bepaalde doorlatendheden een c-waarde kaart samengesteld. Deze kaart is aangevuld met uit pompproeven verkregen c-waarden en uit profielbeschrijvingen berekende c-waarden, op grond van een gevonden relatie tussen profielkenmerken en c-waarden.

Symbolenlijst

Symbol	Omschrijving	Dimensie
c	vertikale weerstand	t
c'	" van een bepaalde laag	t
c''	" van 1,5 tot 4,5 m.-m.v.	t
c'''	" van 4,5 m.-m.v. tot basis van het afdekkend pakket	t
D	laagdikte	l
H	stijghoogte diep grondwater	l
H'	" freatisch water	l
H,	" van filter op 4,5 m.-m.v.	l
h	slootpeil	l
Δh(hor.)	horizontaal potentiaalverschil	l
k	horizontale doorlaatfactor	lt'
k _v	vertikale "	lt'
L	sloot- drainafstand	l
M	overtollige neerslag	lt''
n	coëfficiënt	-
q _v	vertikale stroomsnelheid	lt''
w	" "	lt''
α	coëfficiënt	-

Literatuur.

- ERNST, L.F. Het berekenen van stationaire grondwaterstromingen welke in een vlak kunnen worden afgebeeld. Rapp. IV. Landbouwk. Proefstatijn Groningen. (1954)
- Gebruik van enige basisformules bij het kwalonderzoek in Nederlandse polders in afhankelijkheid van de beschikbare gegevens. Nota nr. 267, (1964)
- HOORN, J.W. VAN. Grondwaterstroming in komgrond en de bepaling van enige hydrologische grootheden in verband met het ontwateringssysteem. Verslagen van landbouwkundige onderzoeken. Nr. 66.10 (1960)
- Jaarverslag Instituut voor Cultuurtechniek en Waterhuishouding. (1963)
- LEVEN, J.A. VAN'T en B. VAN DER WEERD. Verslag van enige proefnemingen met het inspuiten van grondwaterstandsbuizen. Nota nr. 23, (1958)
- WIT, K.E. An apparatus for coring undisturbed samples in deep bore holes. Soil Sci. 94 (1962) 65-70
- Apparatus for measuring hydraulic conductivity of undisturbed soil samples. A.S.T.M. No. 417 (1967)
- en M. WIJNSMA. Bepaling van de specifieke weerstand in situ. Nota No. 559 (1970)

Schematische voorstelling van het meetprincipe

Fig 1

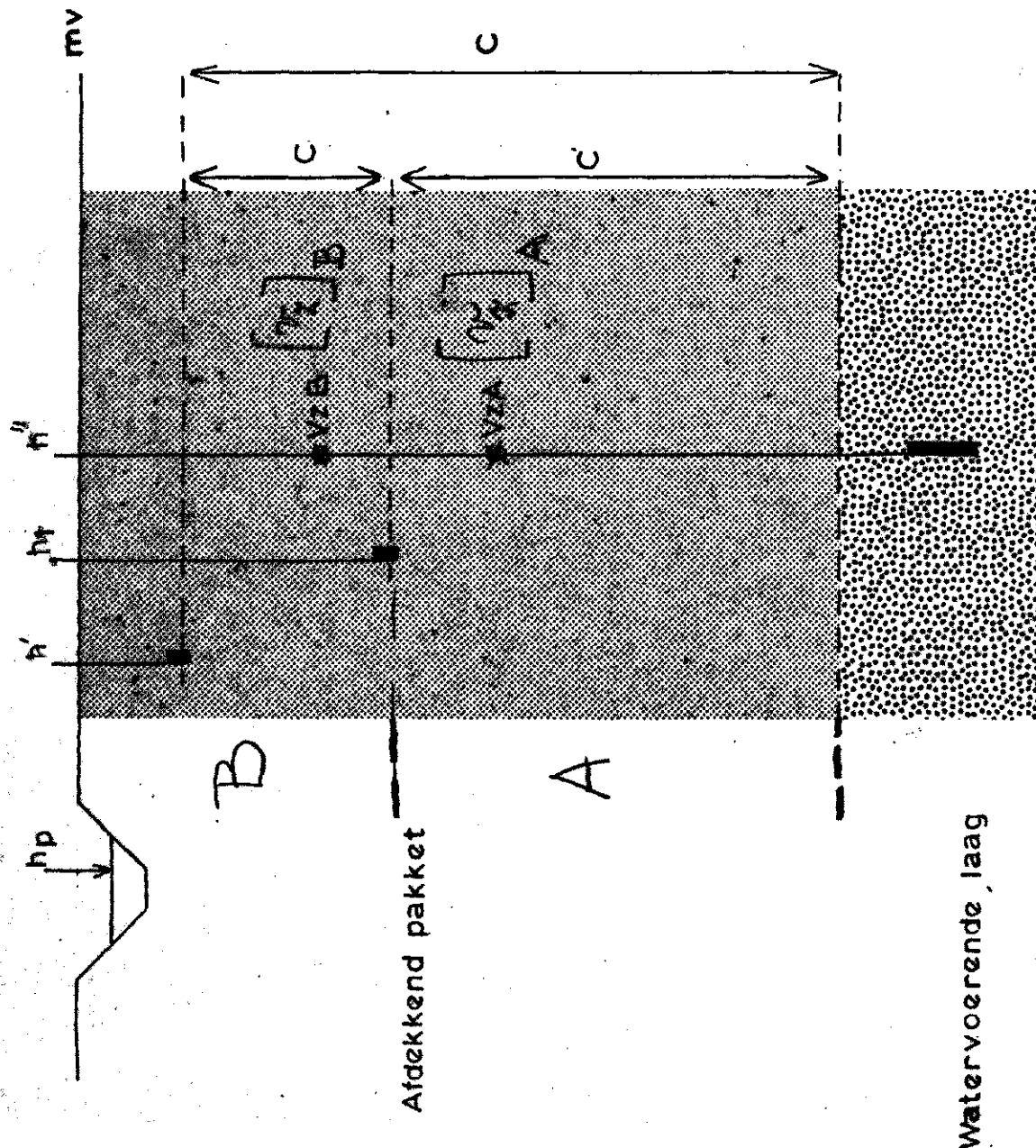


Fig 2 . Locatiekaart

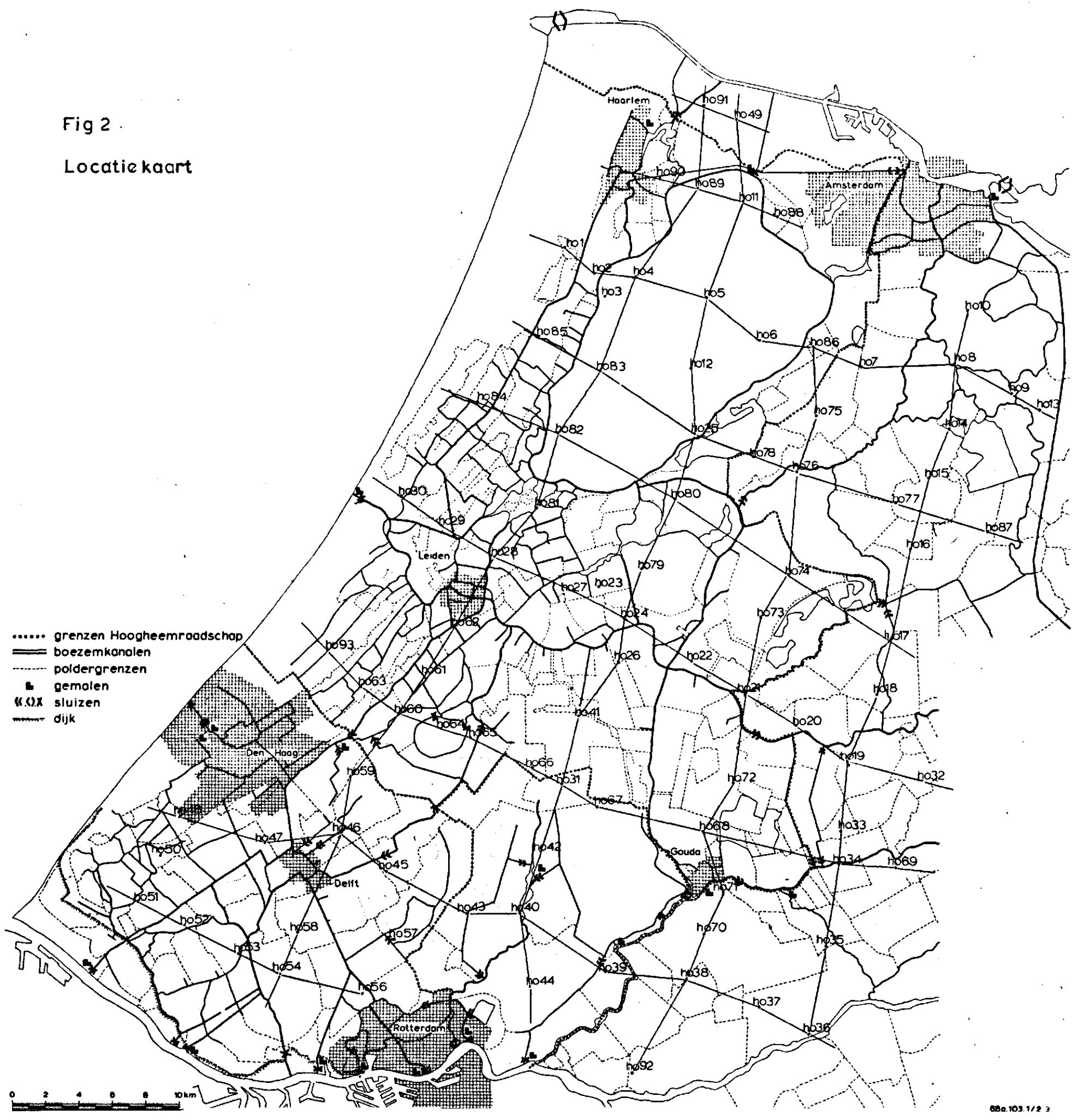


Fig 3

Tijdstijghoogte lijnen van ho 3

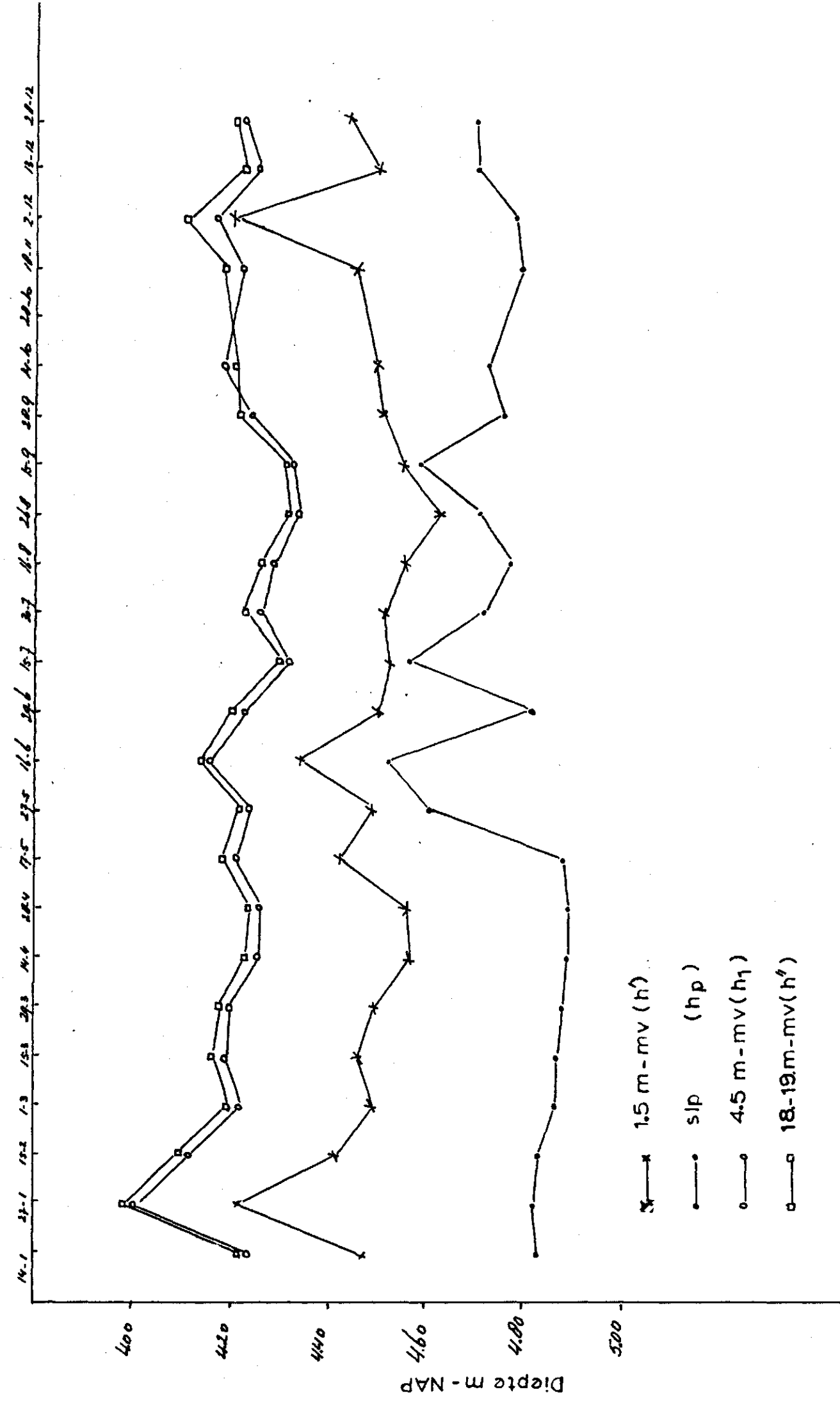


Fig 4

Tijdstijlighoogtelijnen van ho23

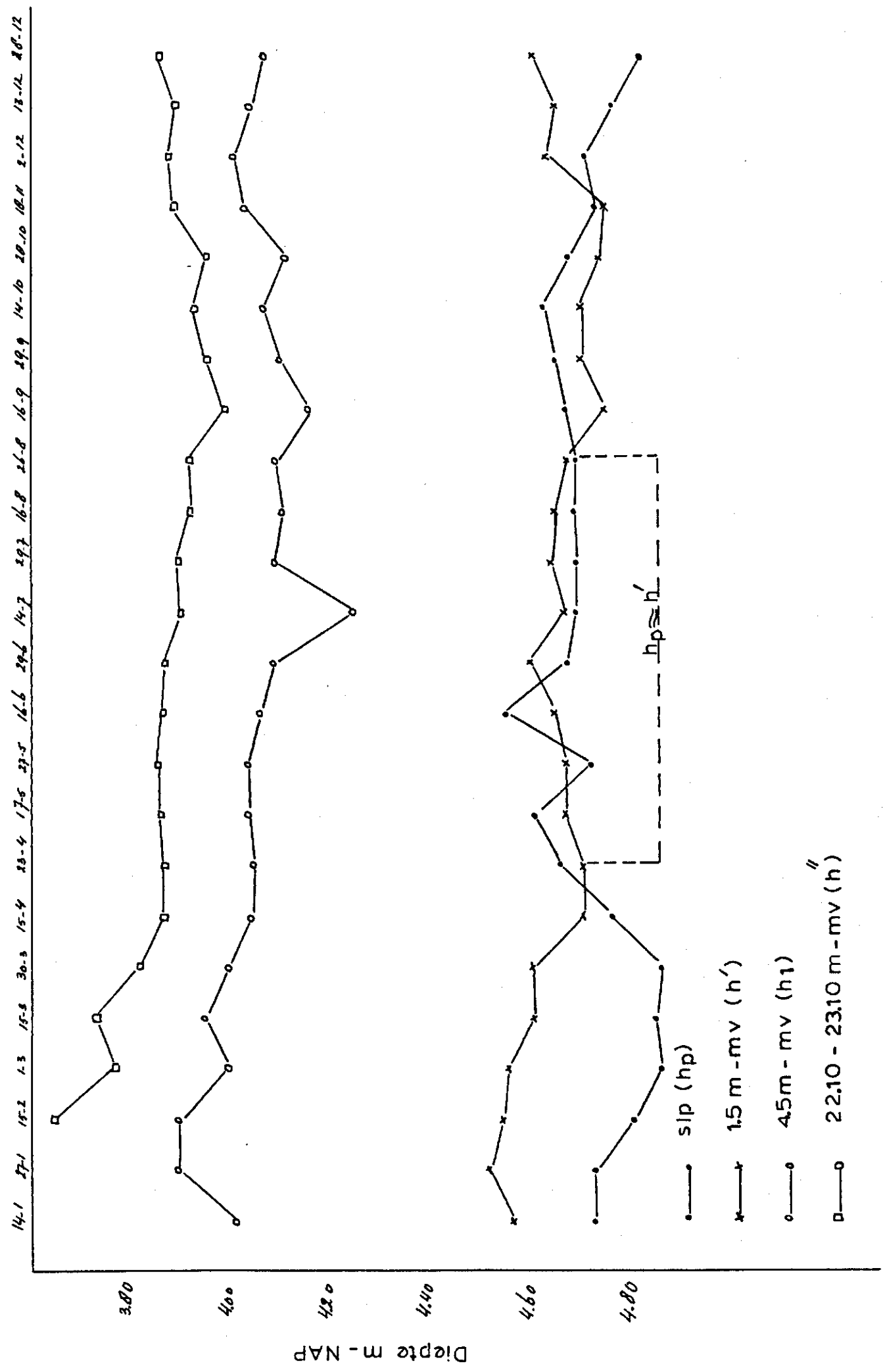


Fig 5

Tijdstijghoogtelijnen van ho 57

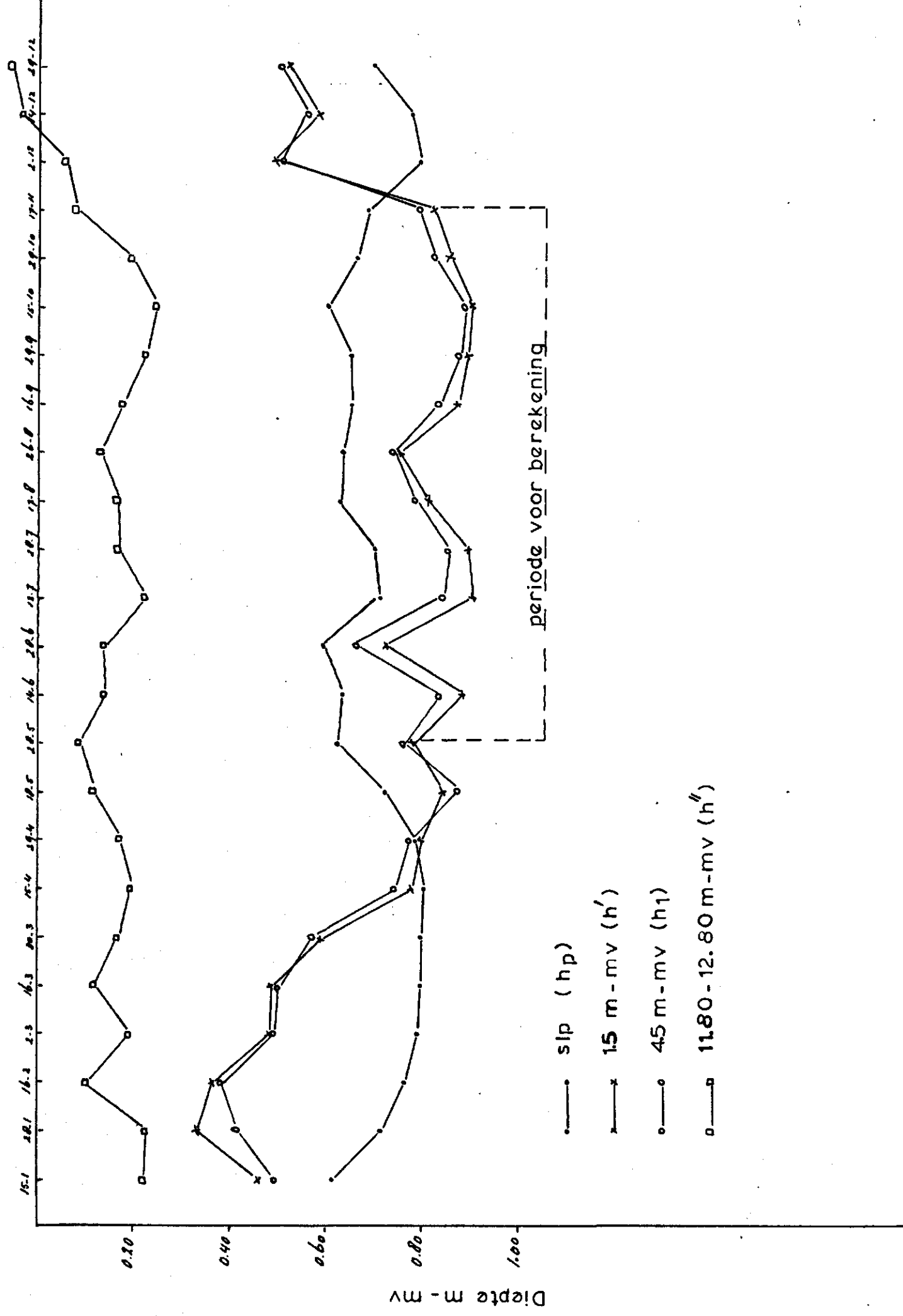


Fig 6 Tijdstijghoogtelijnen van ho 63

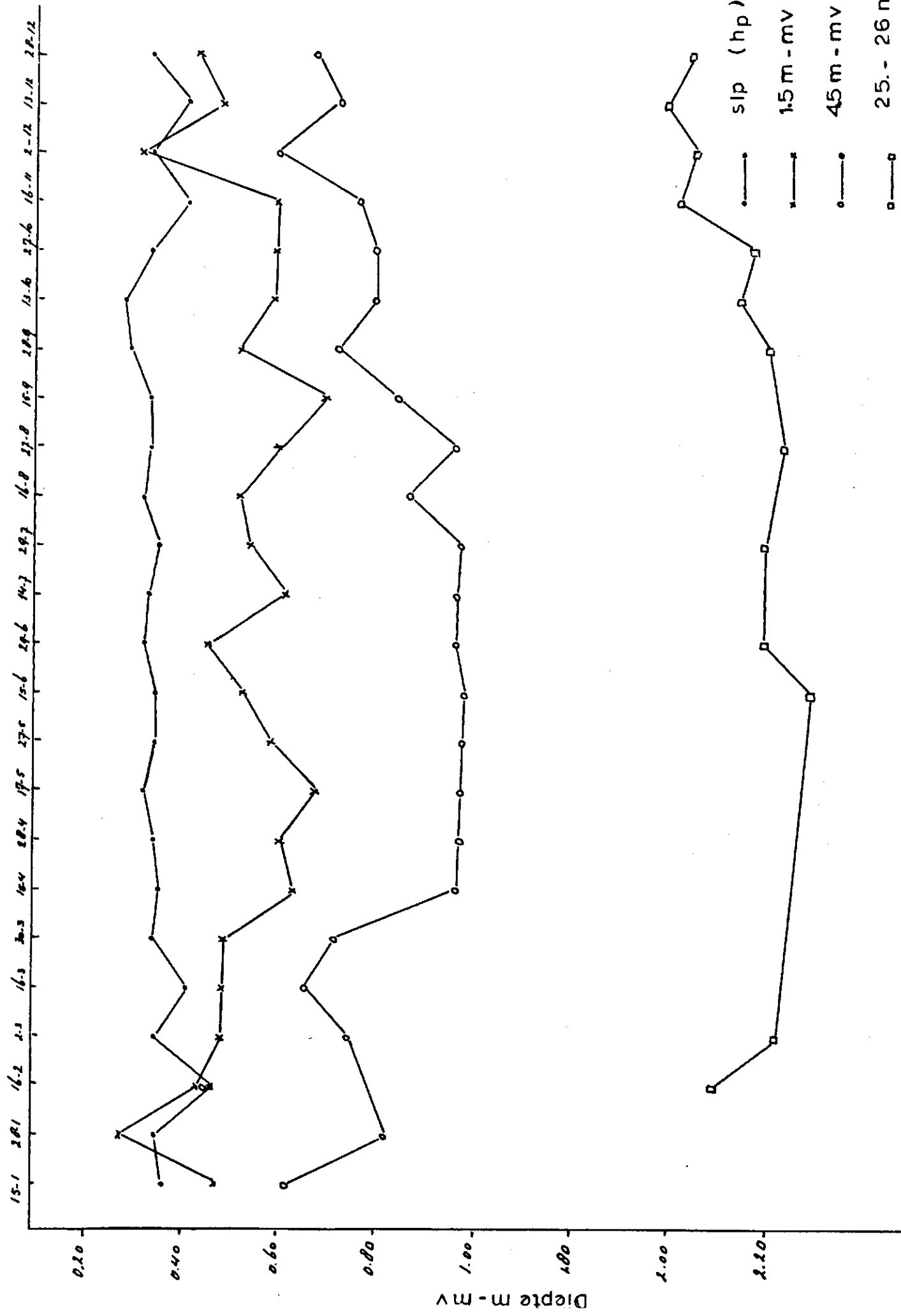


Fig 7.

C-waarde-kaart gebaseerd
op verricht onderzoek

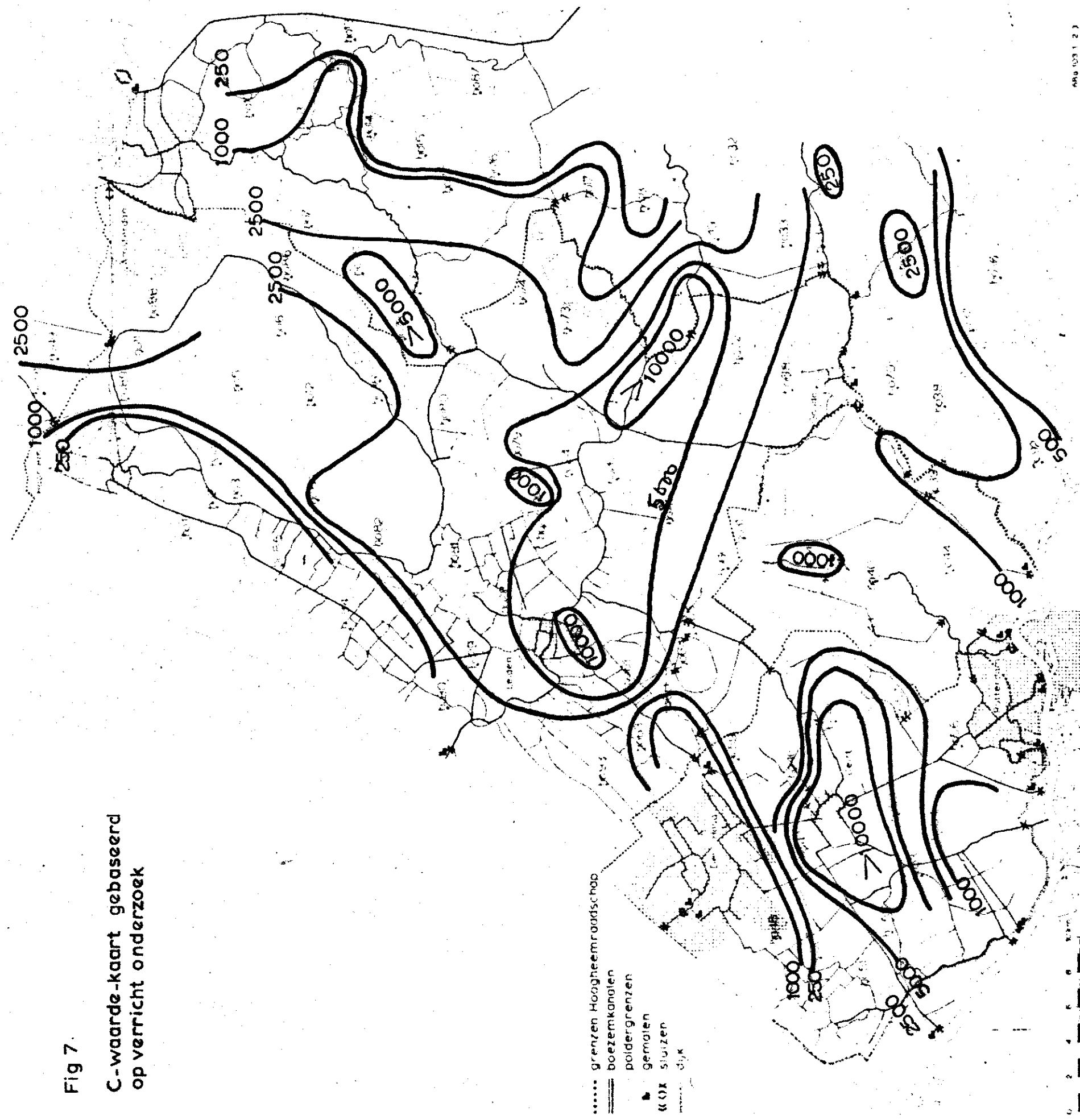


Fig 8

C-waarden uit pompproeven

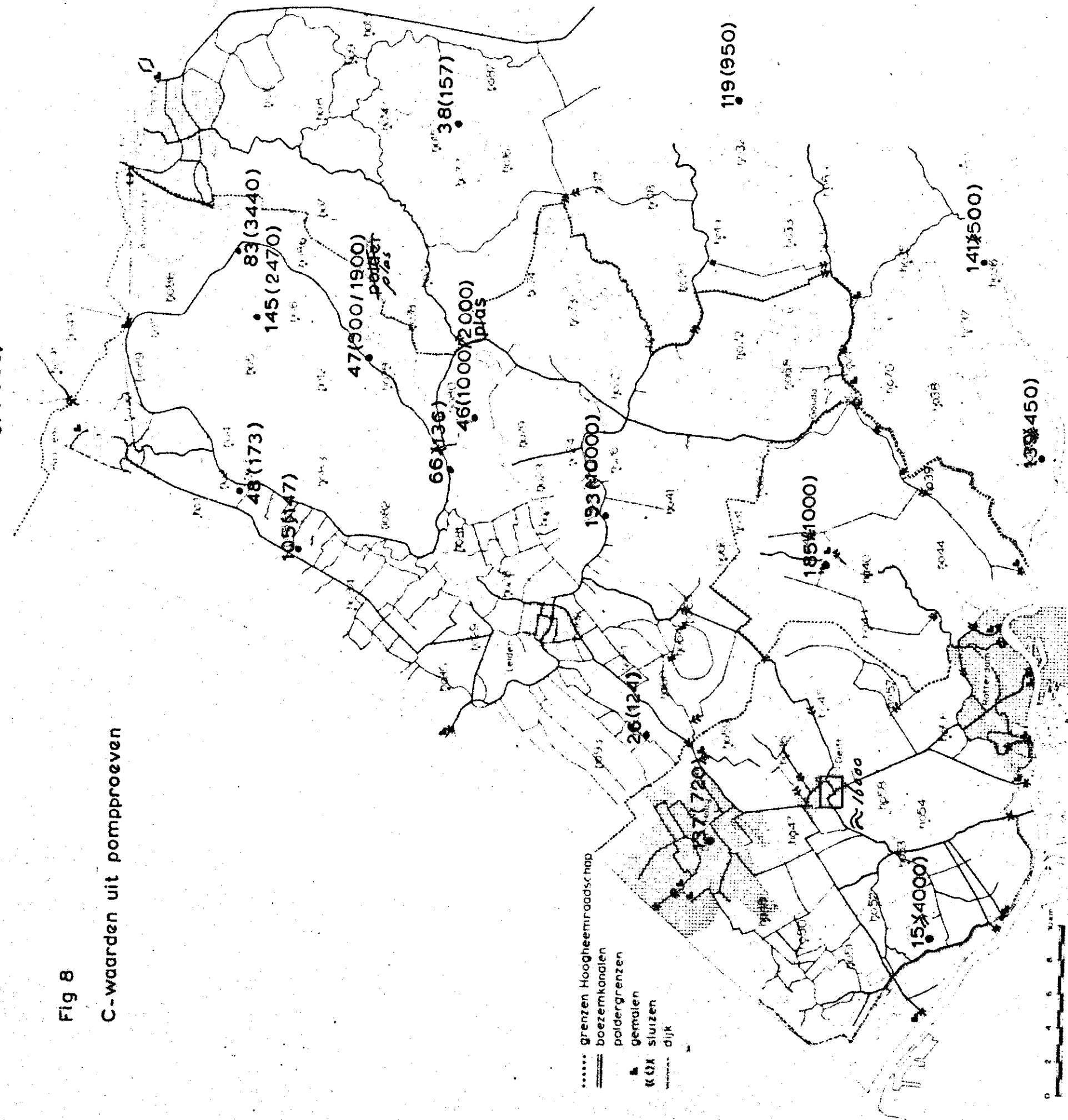


Fig 10

Relatie tussen gemeten en geschatte C-waarden

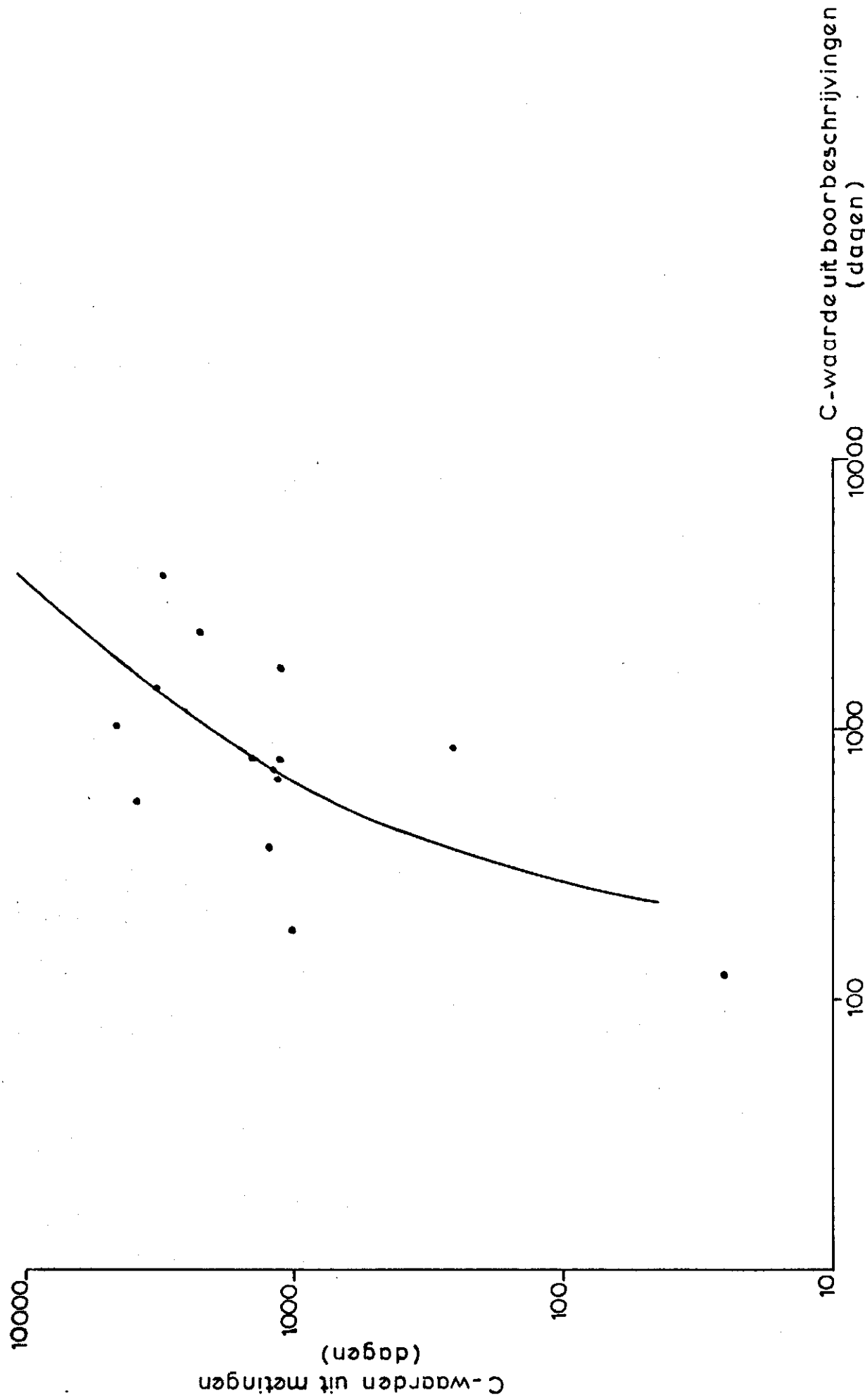
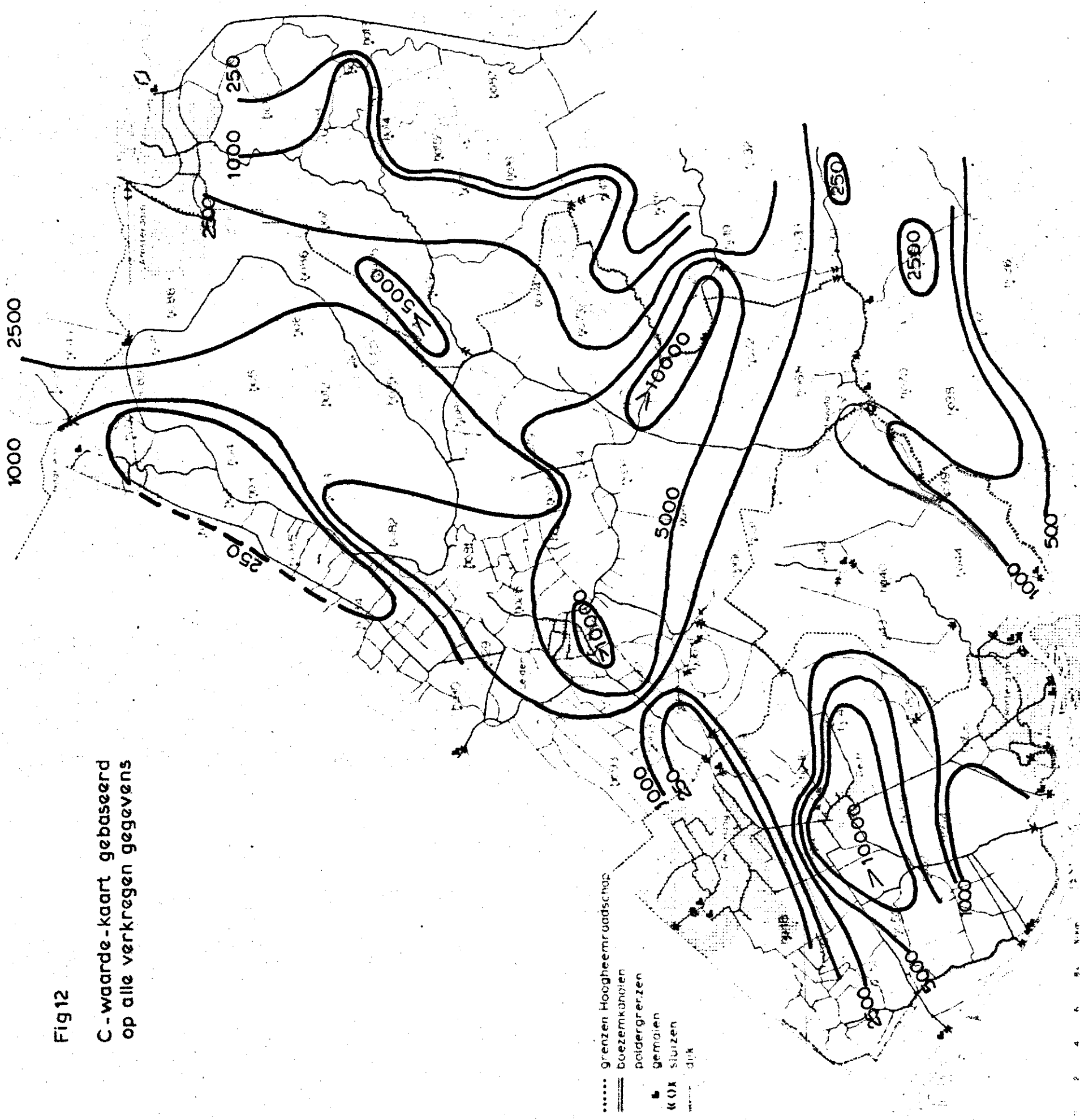


Fig 12

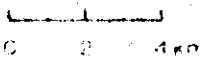
C-waarde-kaart gebaseerd
op alle verkregen gegevens



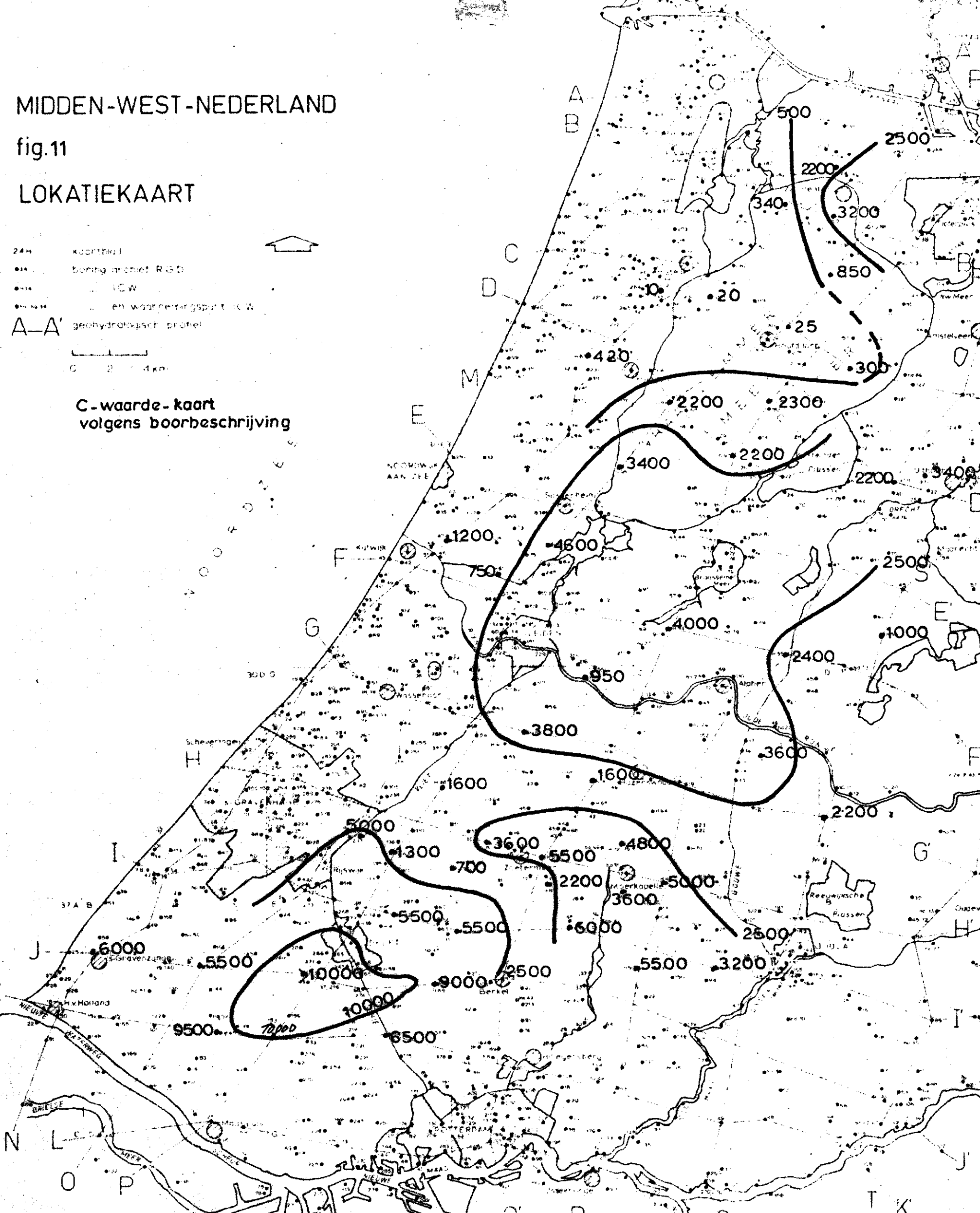
MIDDEN-WEST-NEDERLAND

fig.11

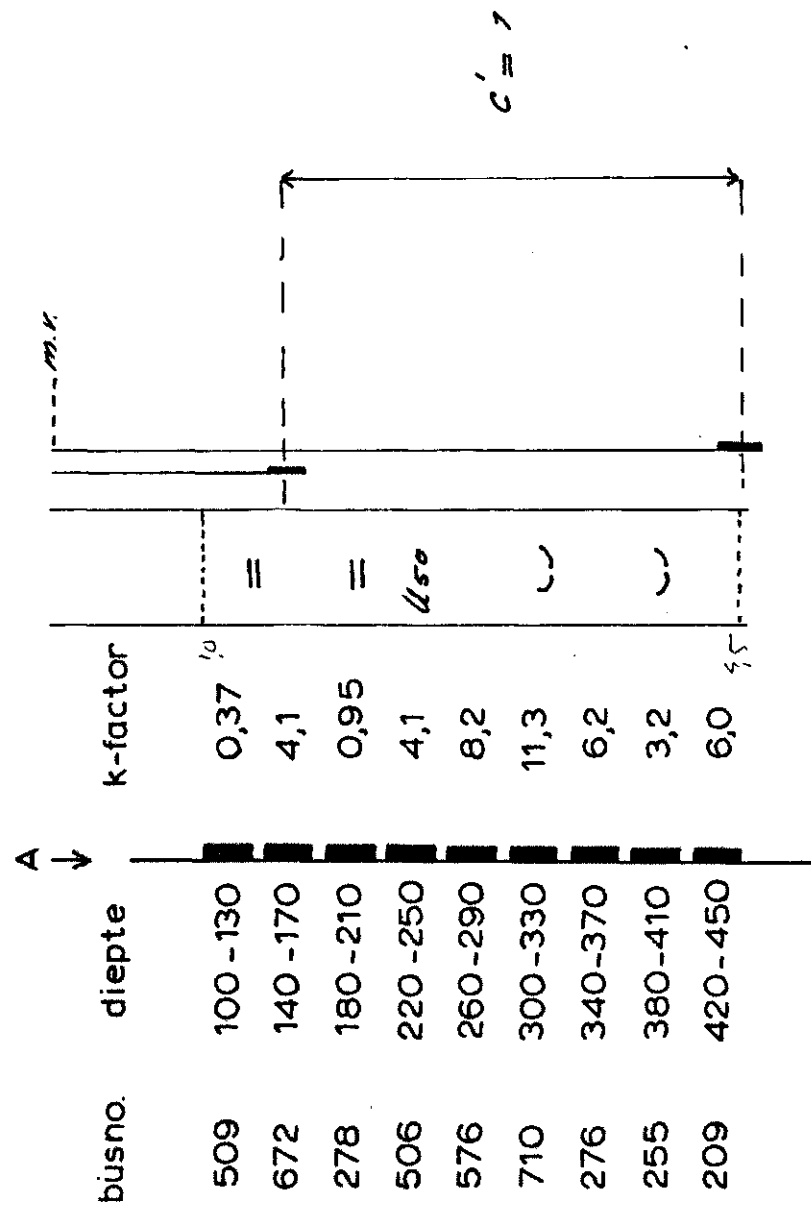
LOKATIEKAART

24H Koorntijd
 014 boring profiel RGD
 014 ICW
 014 een waardekaartspunt is W
 A-A' geohydrologisch profiel


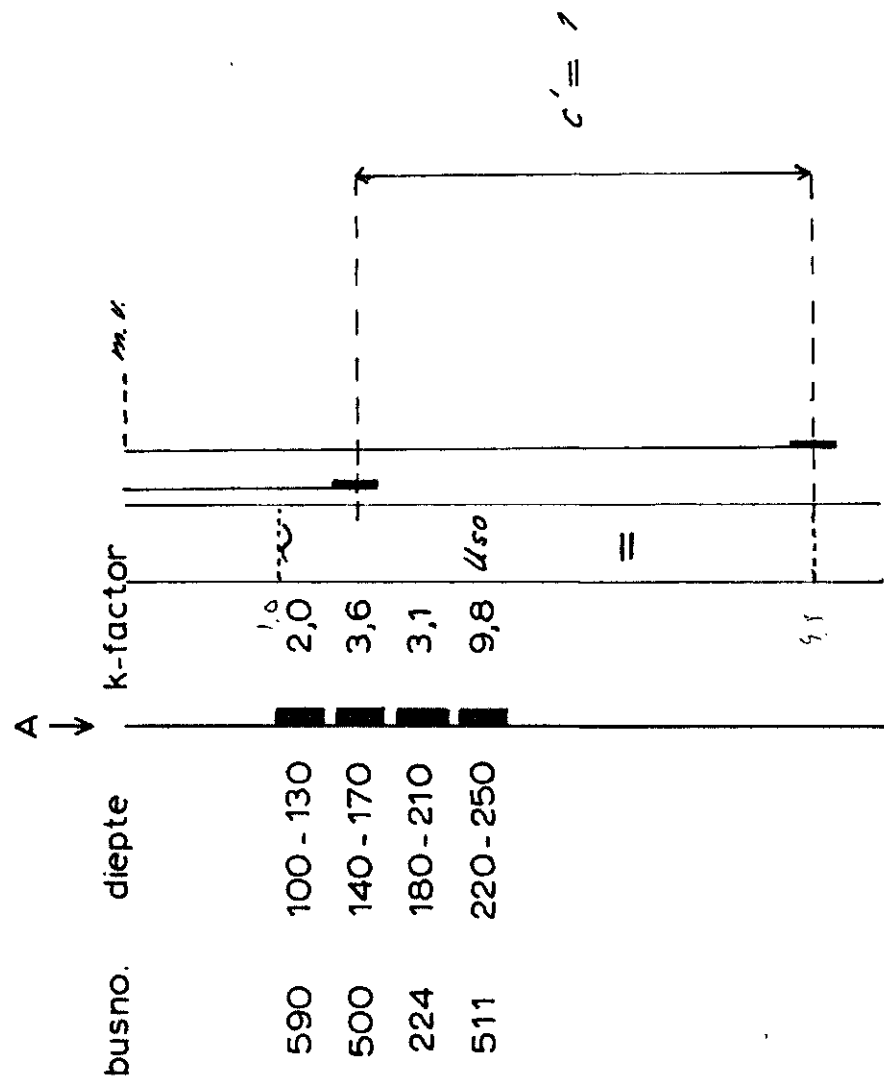
C-waarde-kaart volgens boorbeschrijving



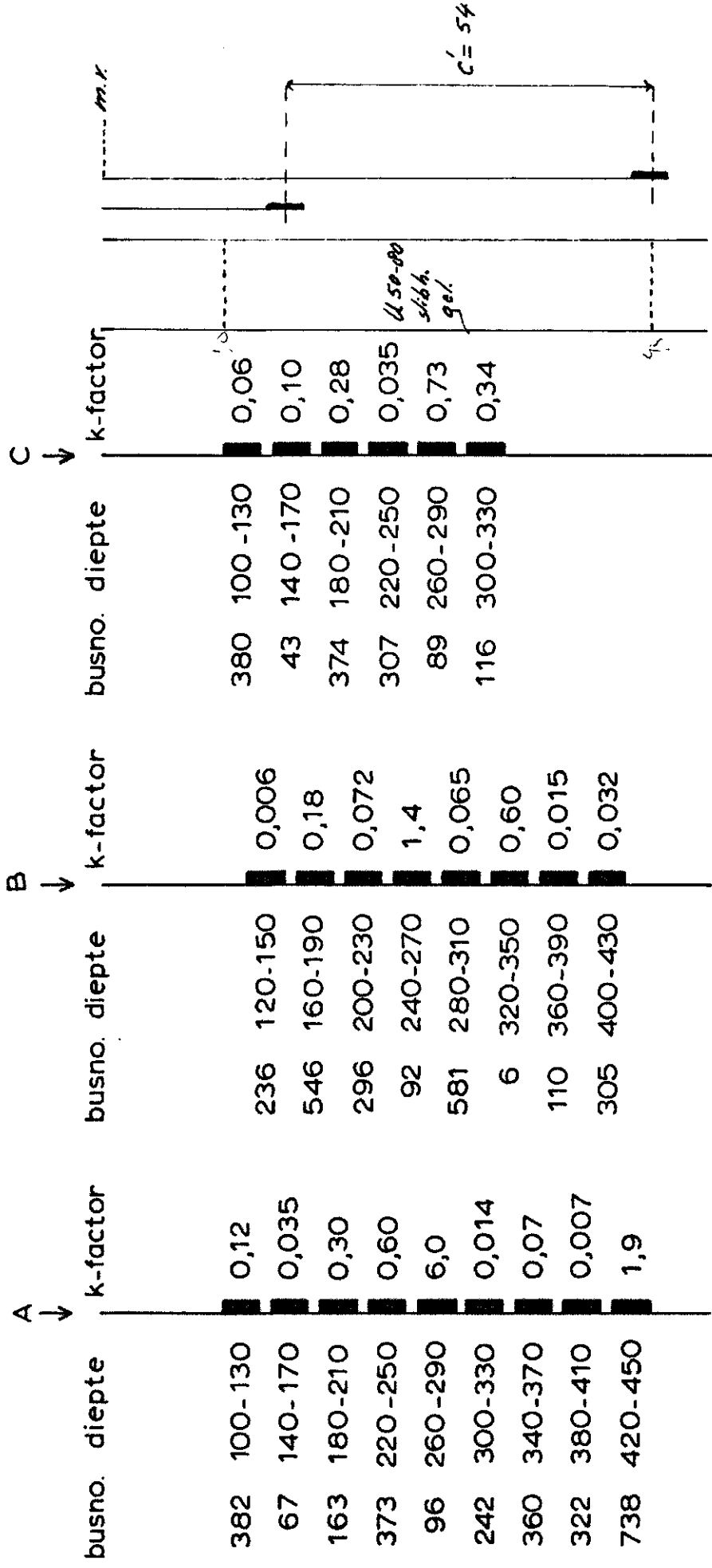
Boring h.o.1



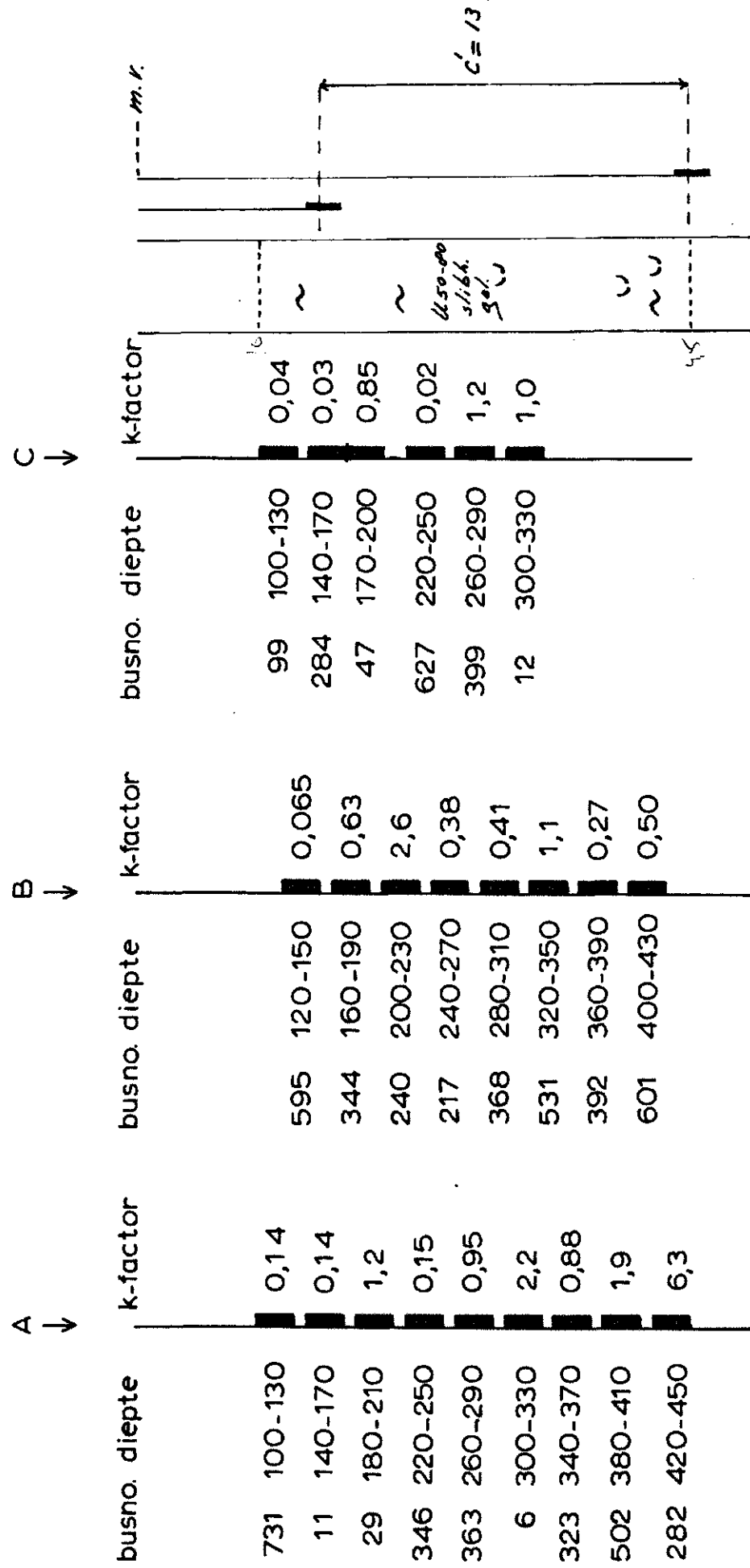
Boring h.o. 2



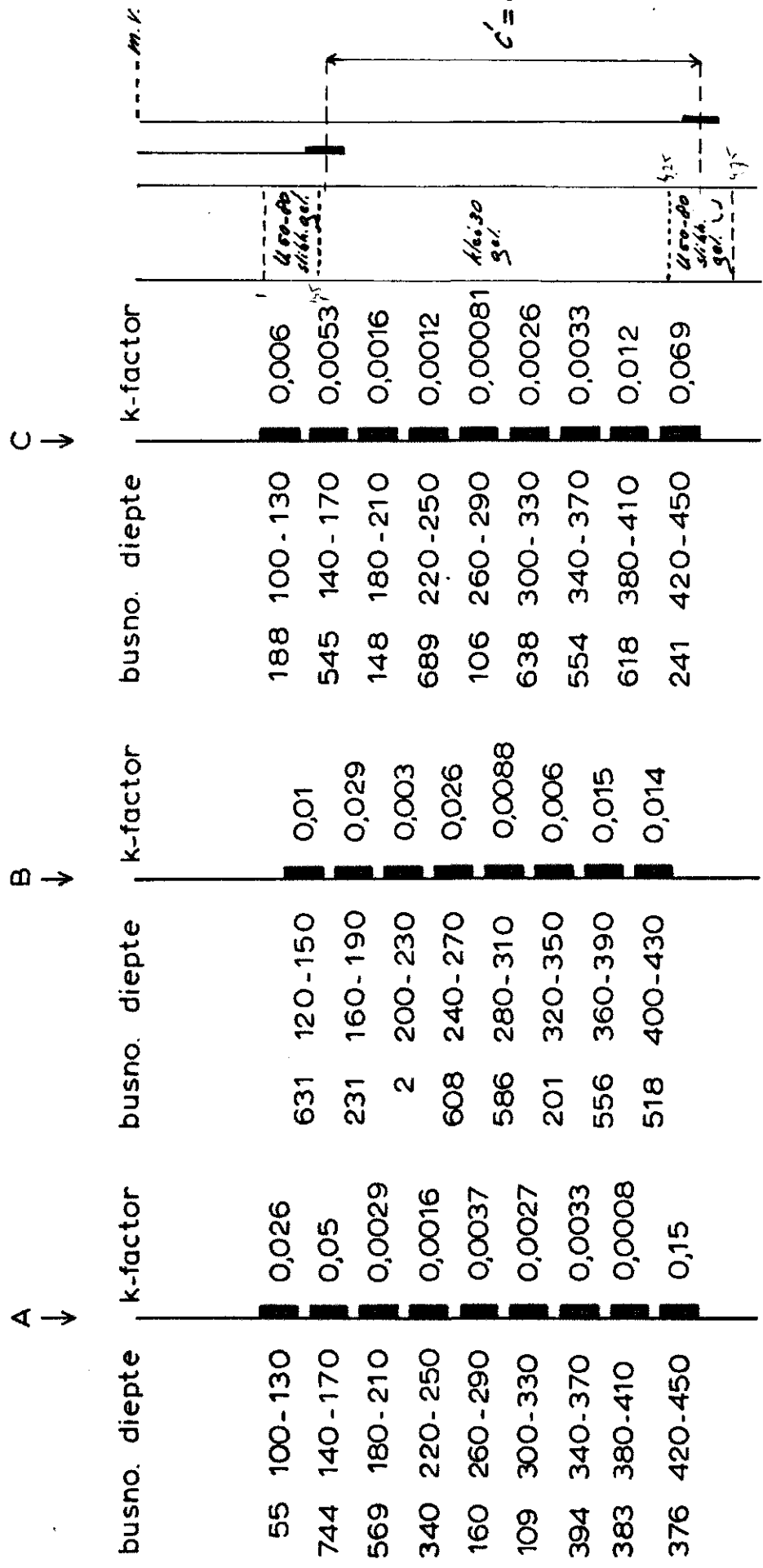
Boring h.o. 3



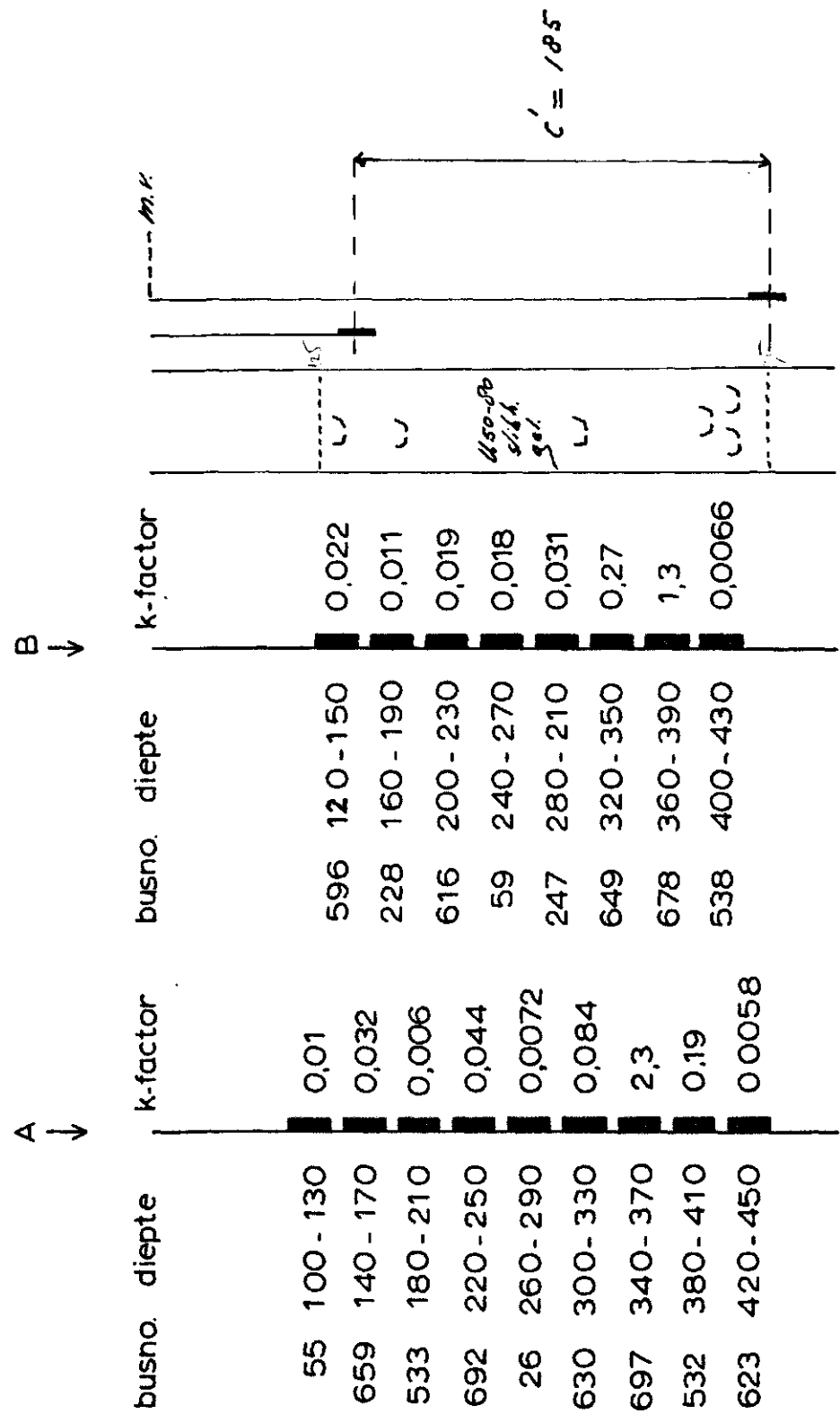
Boring h.o.4



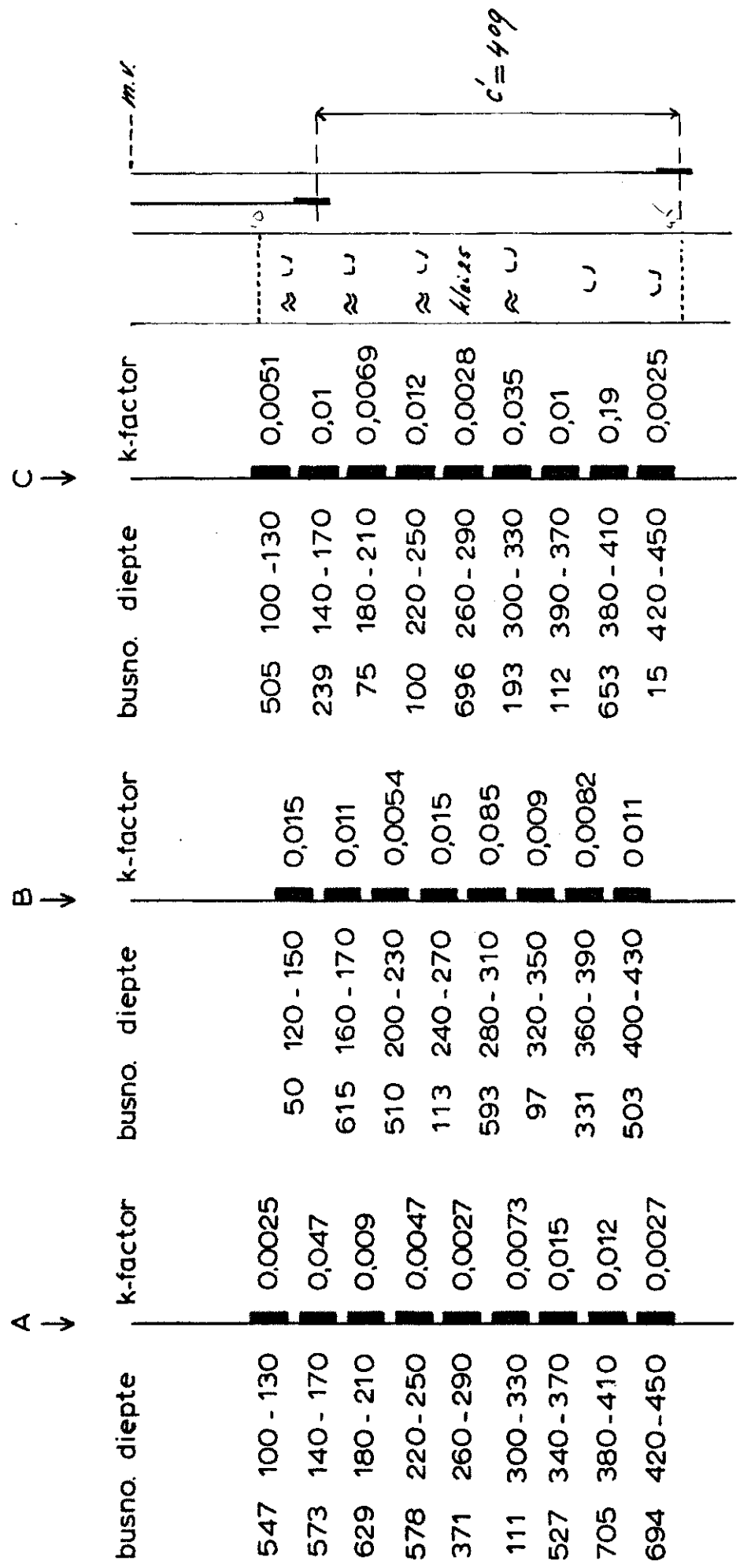
Boring h.o.5



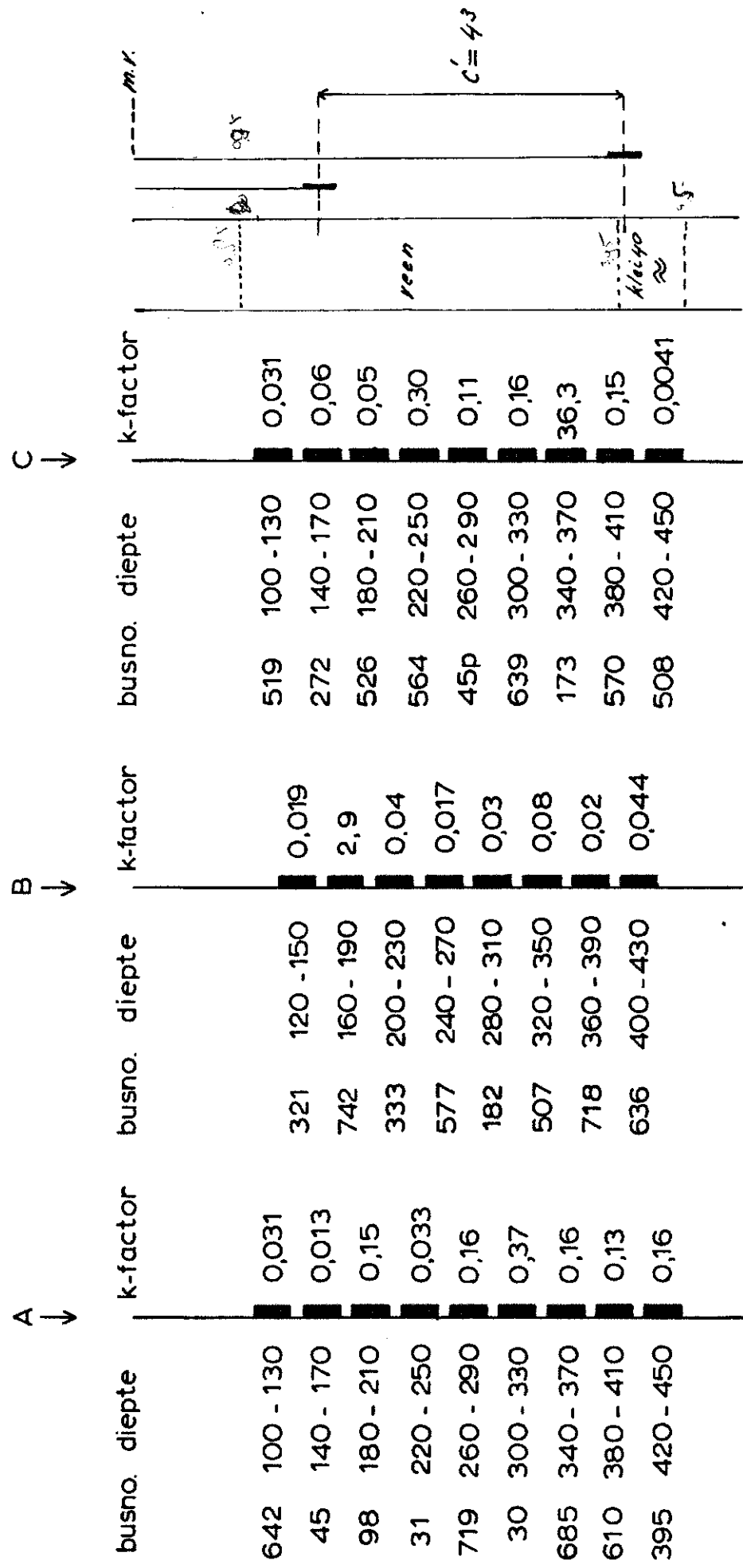
Boring h.o. 6



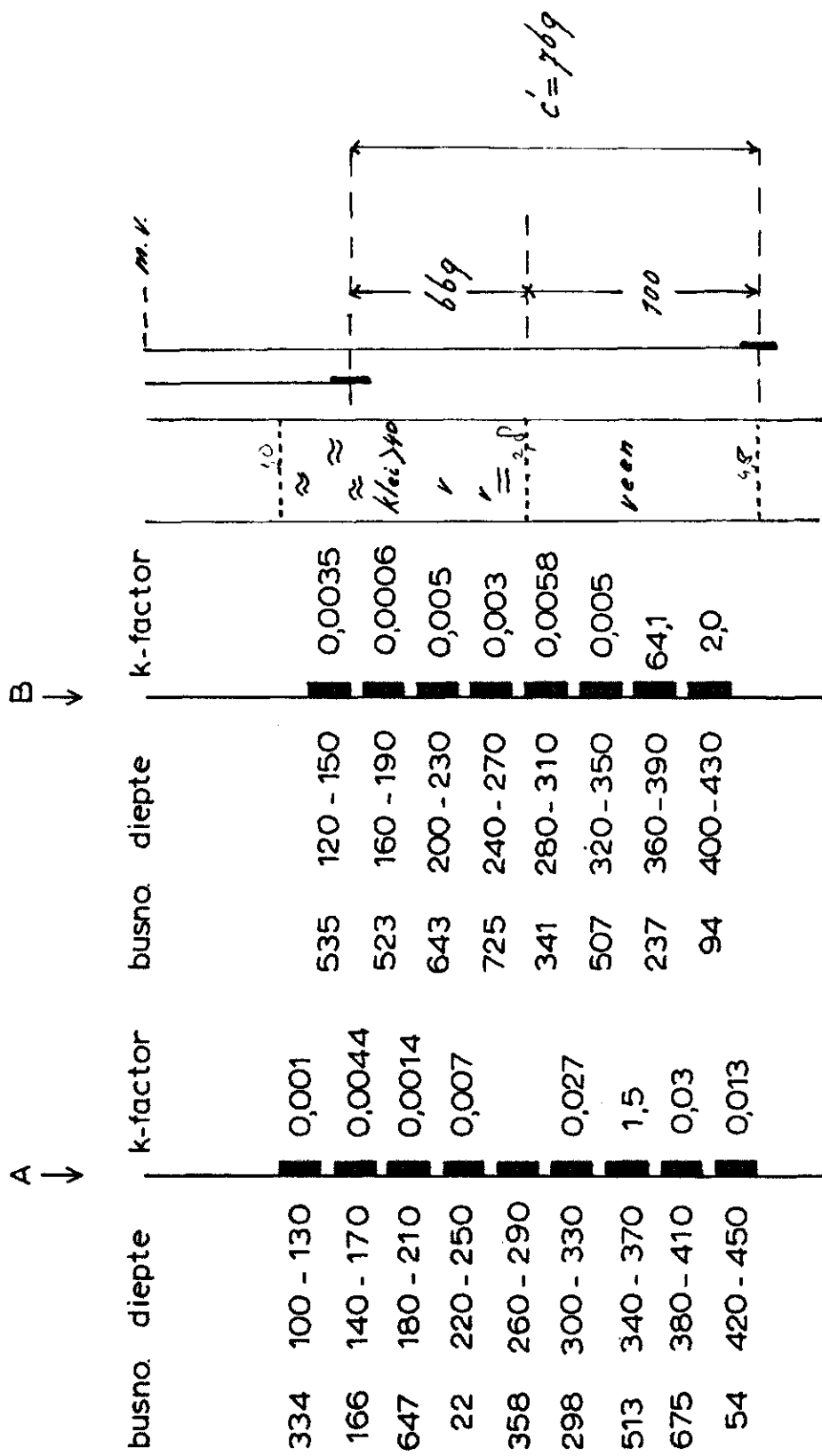
Boring h.o.7



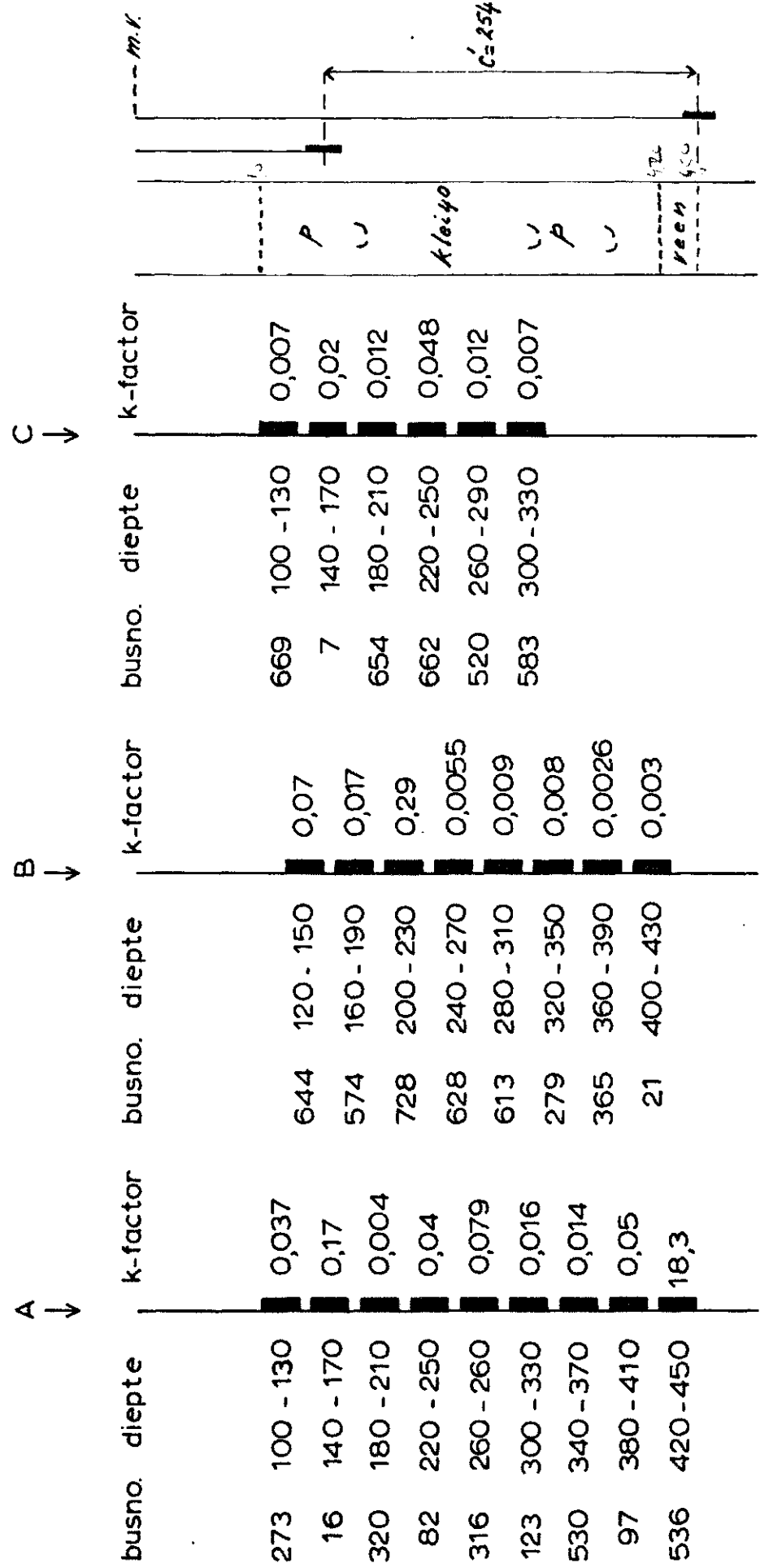
Boring no. 8



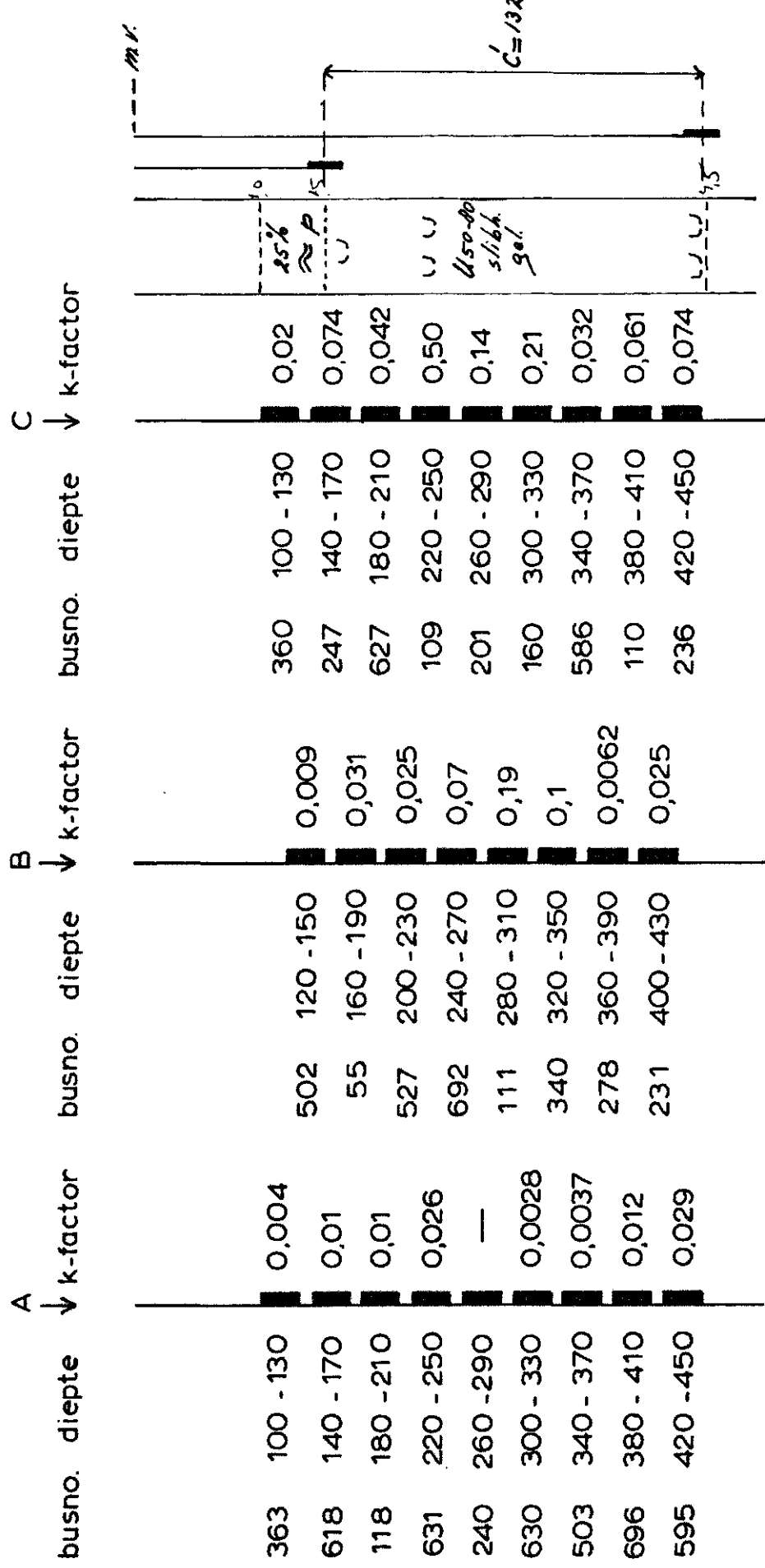
Boring no.9



Boring h.o.10



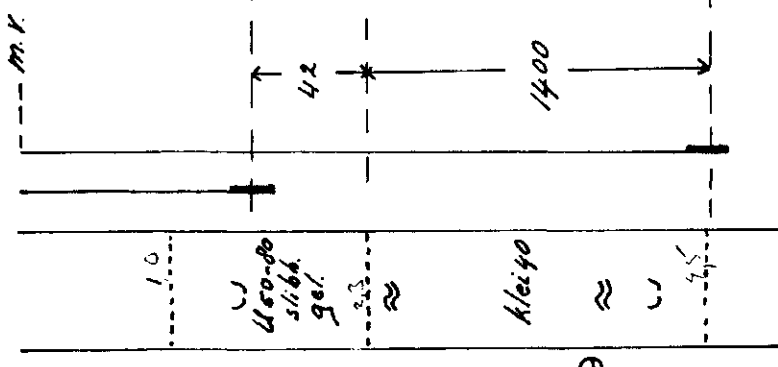
Boring ho.11



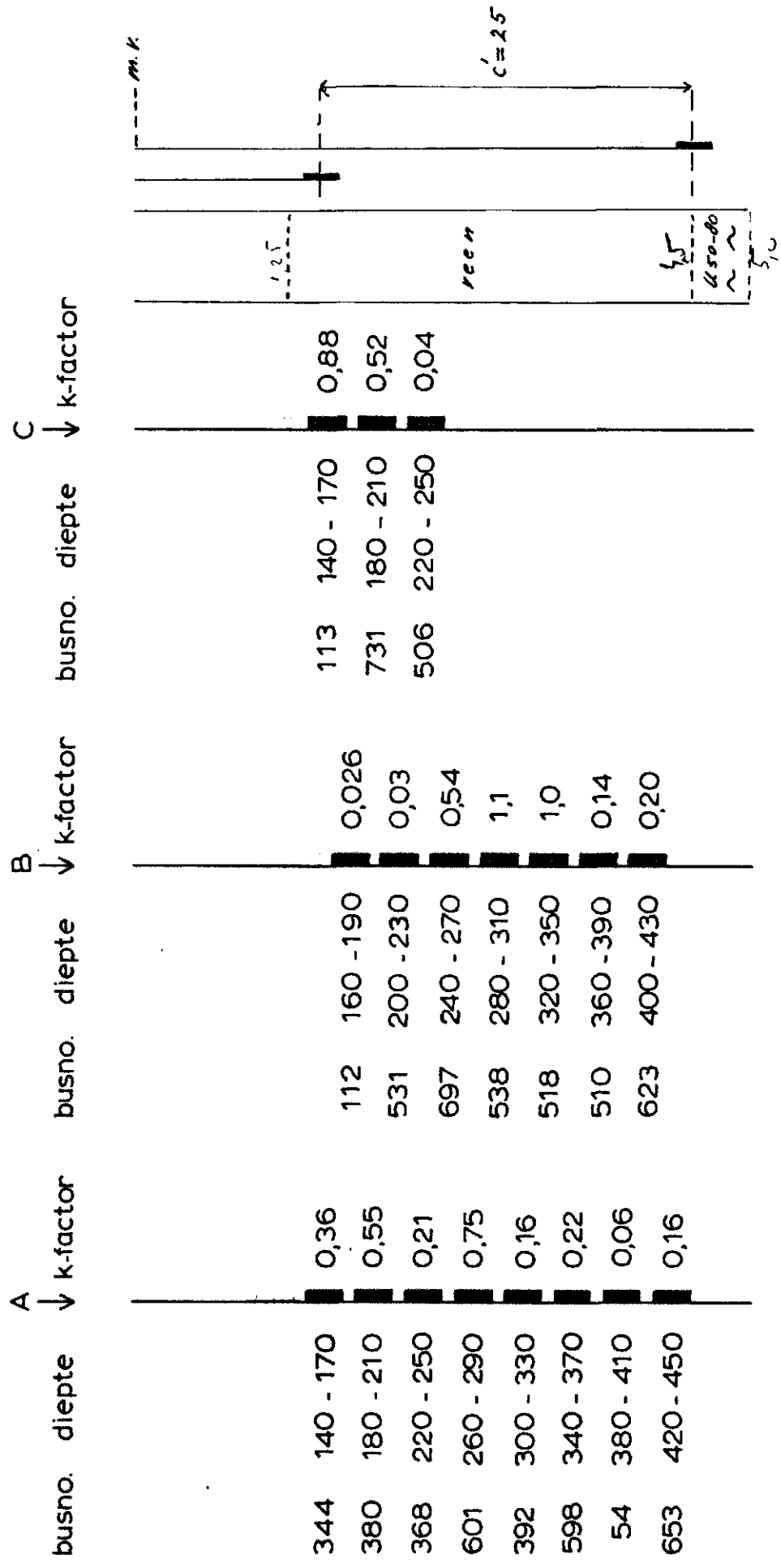
Boring h.o.12

A ↓ k-factor busno. diepte ↓ k-factor

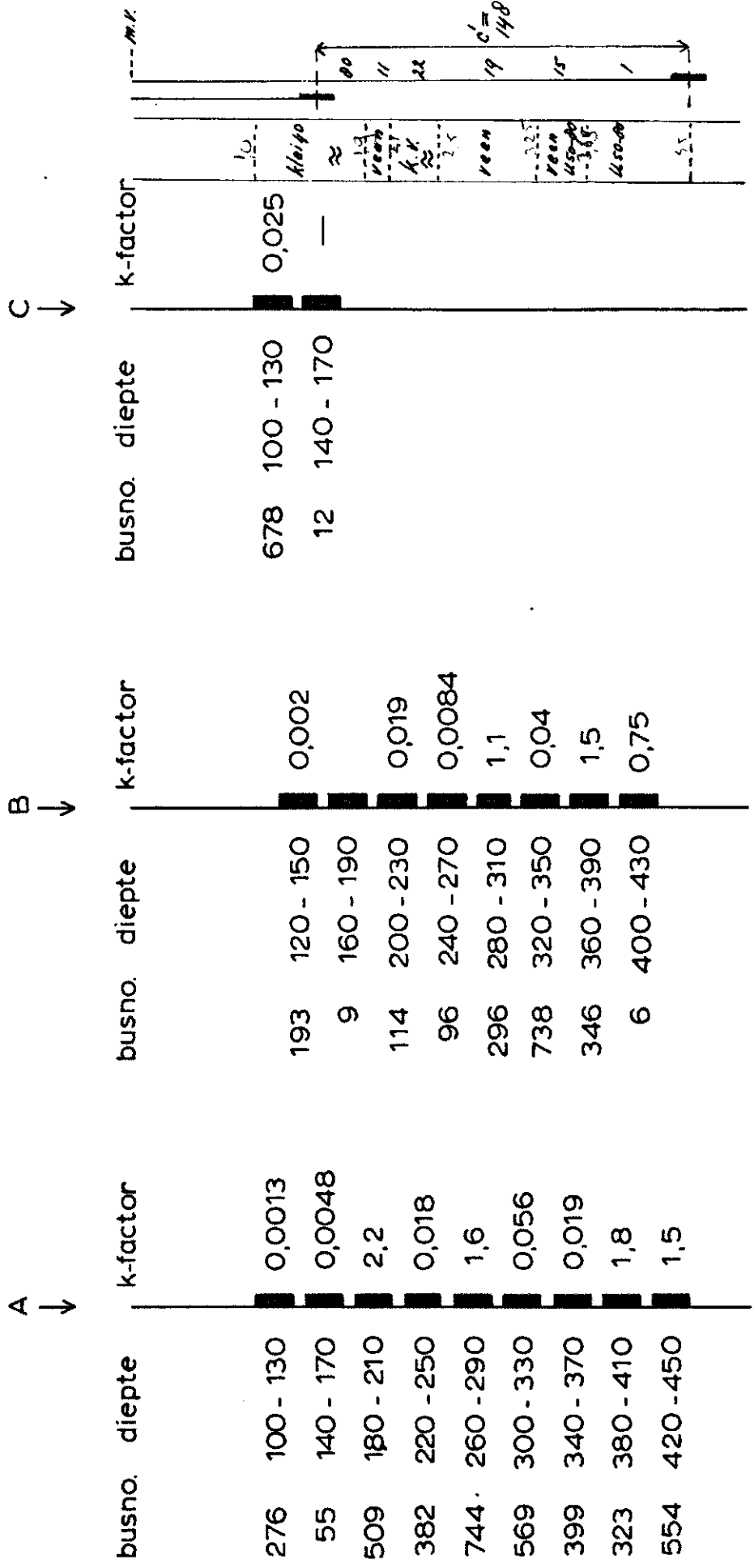
241	100 - 130	0,005	578	100 - 150	0,0029
694	140 - 170	0,0067	239	160 - 190	0,05
684	180 - 210	0,15	659	200 - 230	0,02
67	220 - 250	0,047	92	240 - 270	0,0062
394	260 - 290	0,0012	373	280 - 310	0,0014
376	300 - 330	0,00086	576	320 - 350	0,01
29	340 - 370	0,002	106	360 - 390	0,00039
596	380 - 410	0,0032	2	400 - 430	0,025



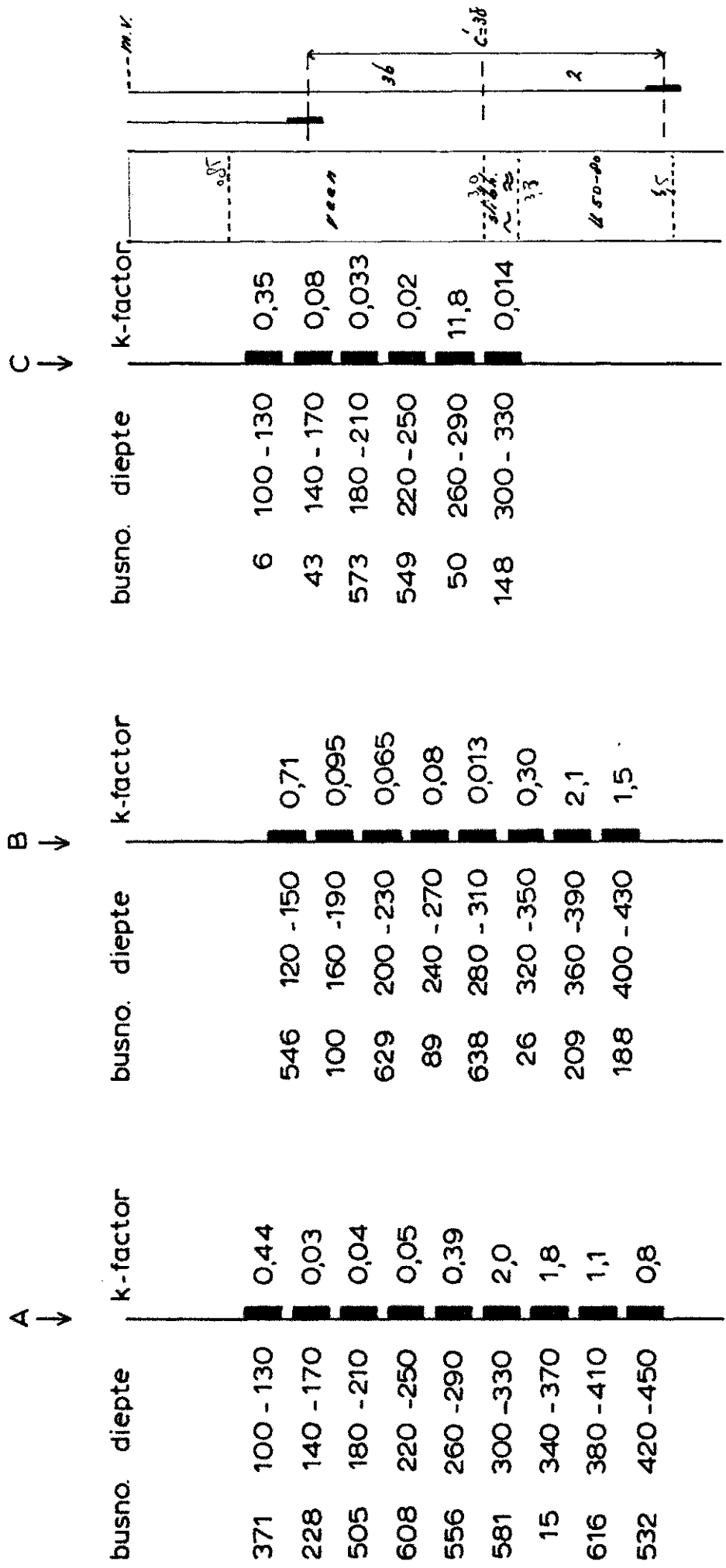
Boring h.o.13



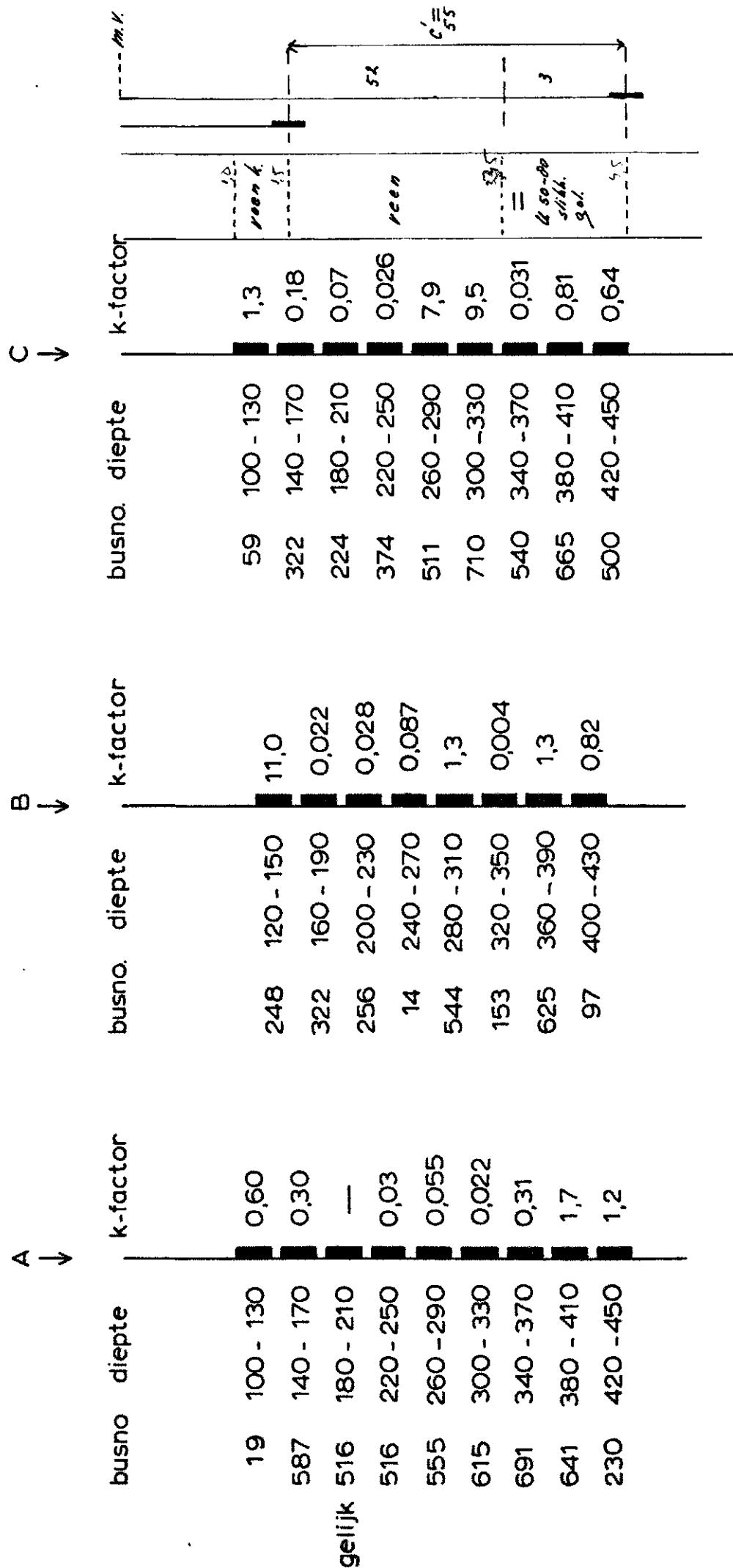
Boring ho.14



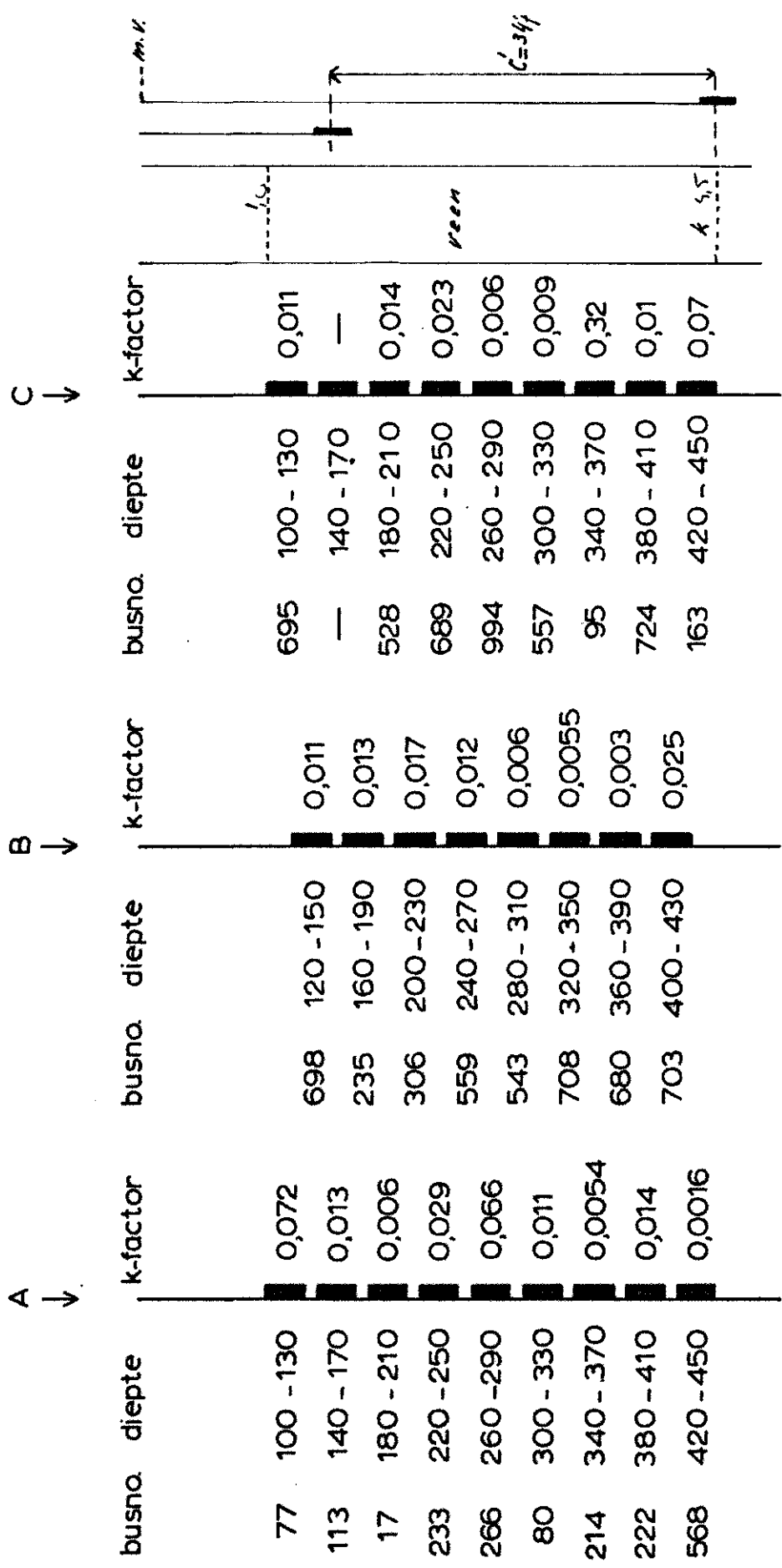
Boring no. 15



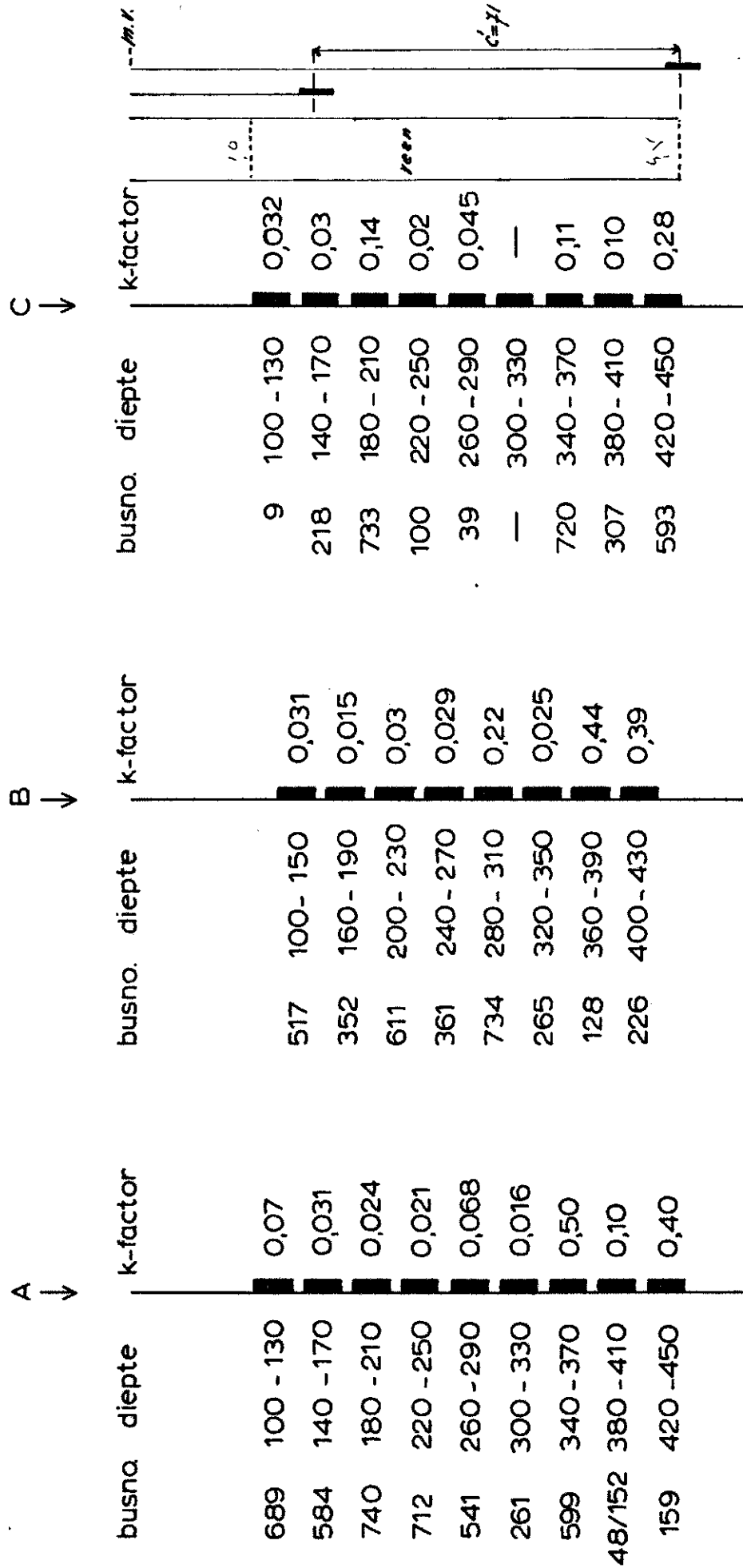
Boring h.o.16



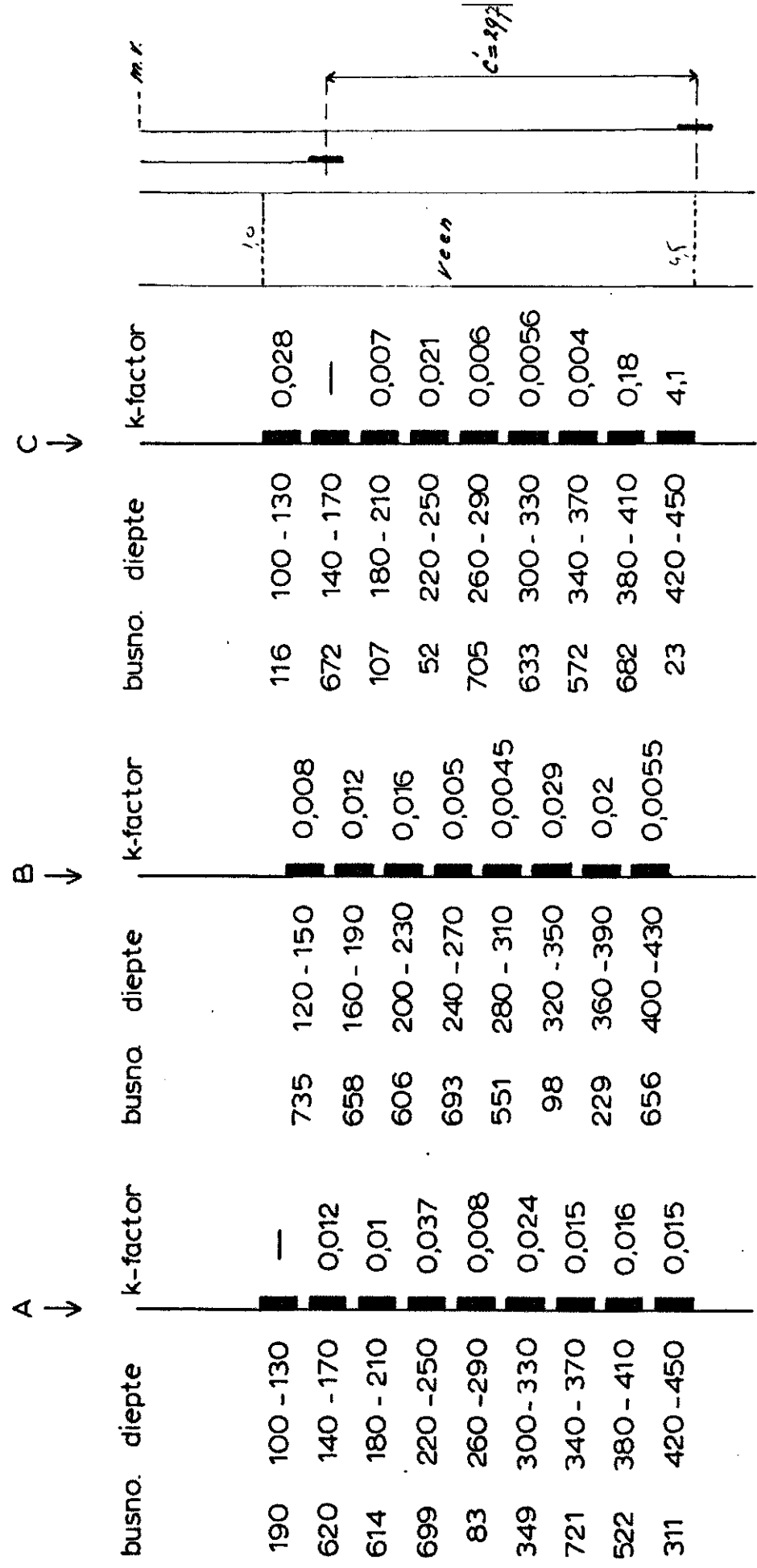
Boring no. 17



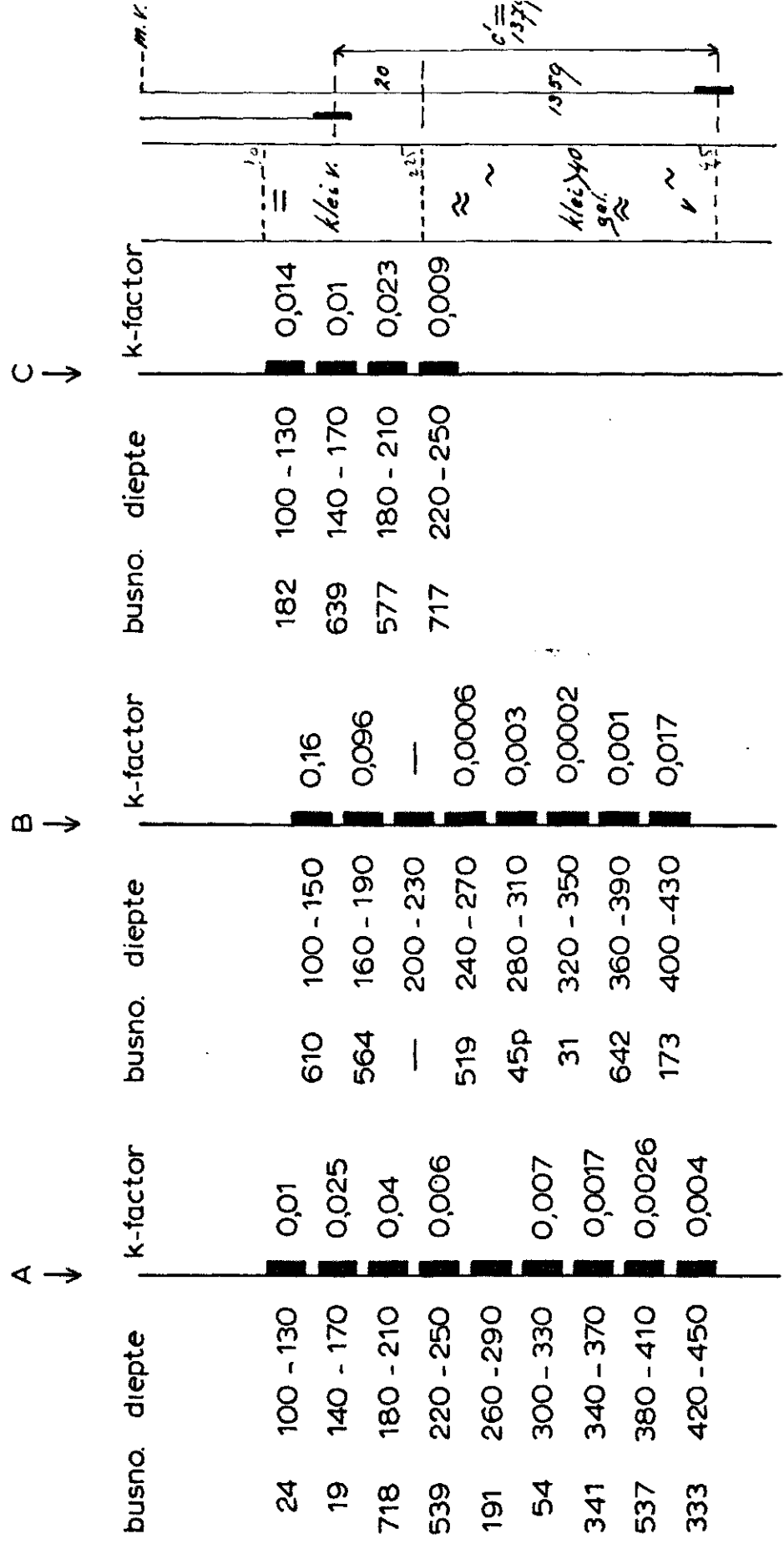
Boring no. 18



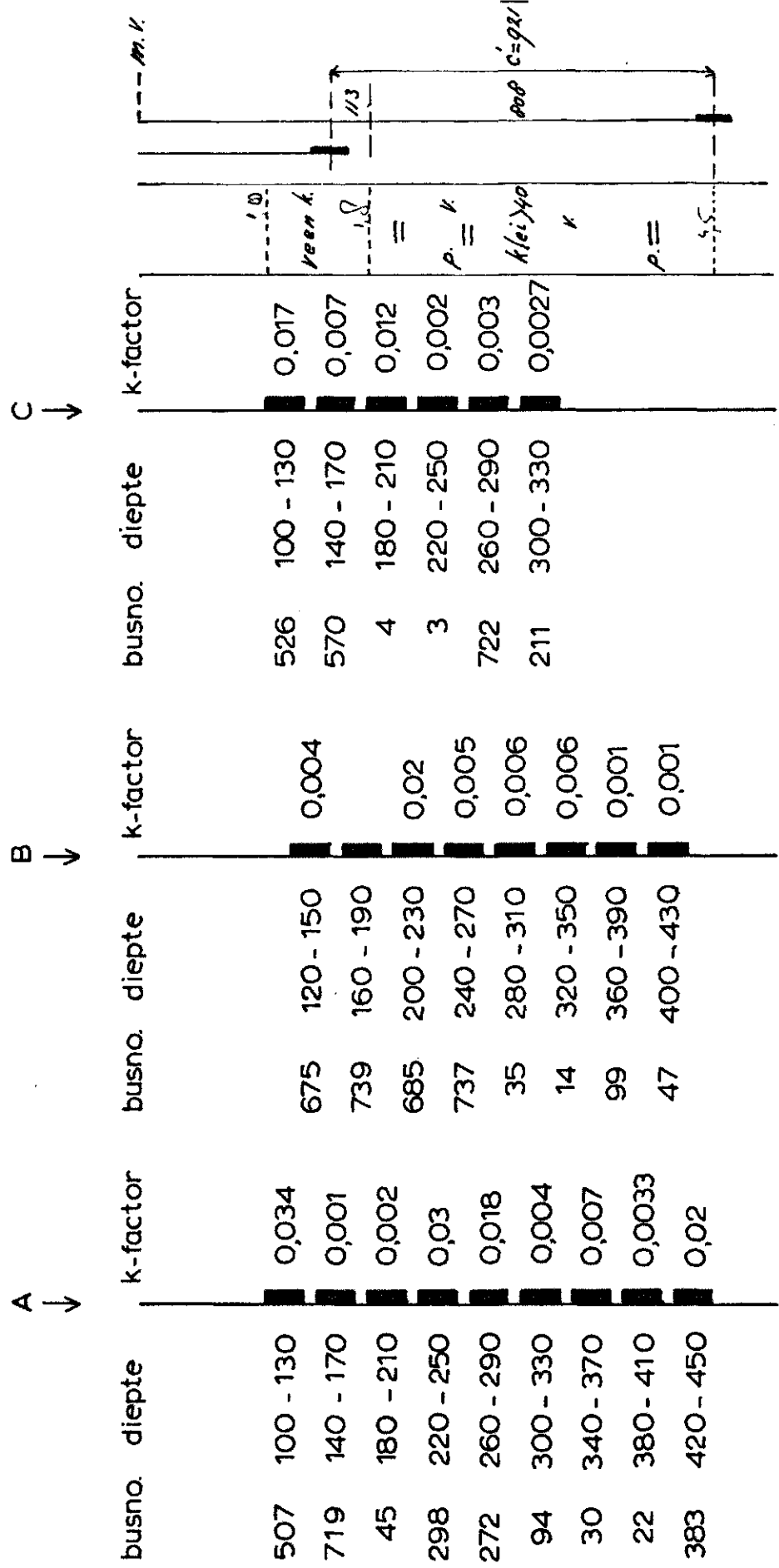
Boring ha19



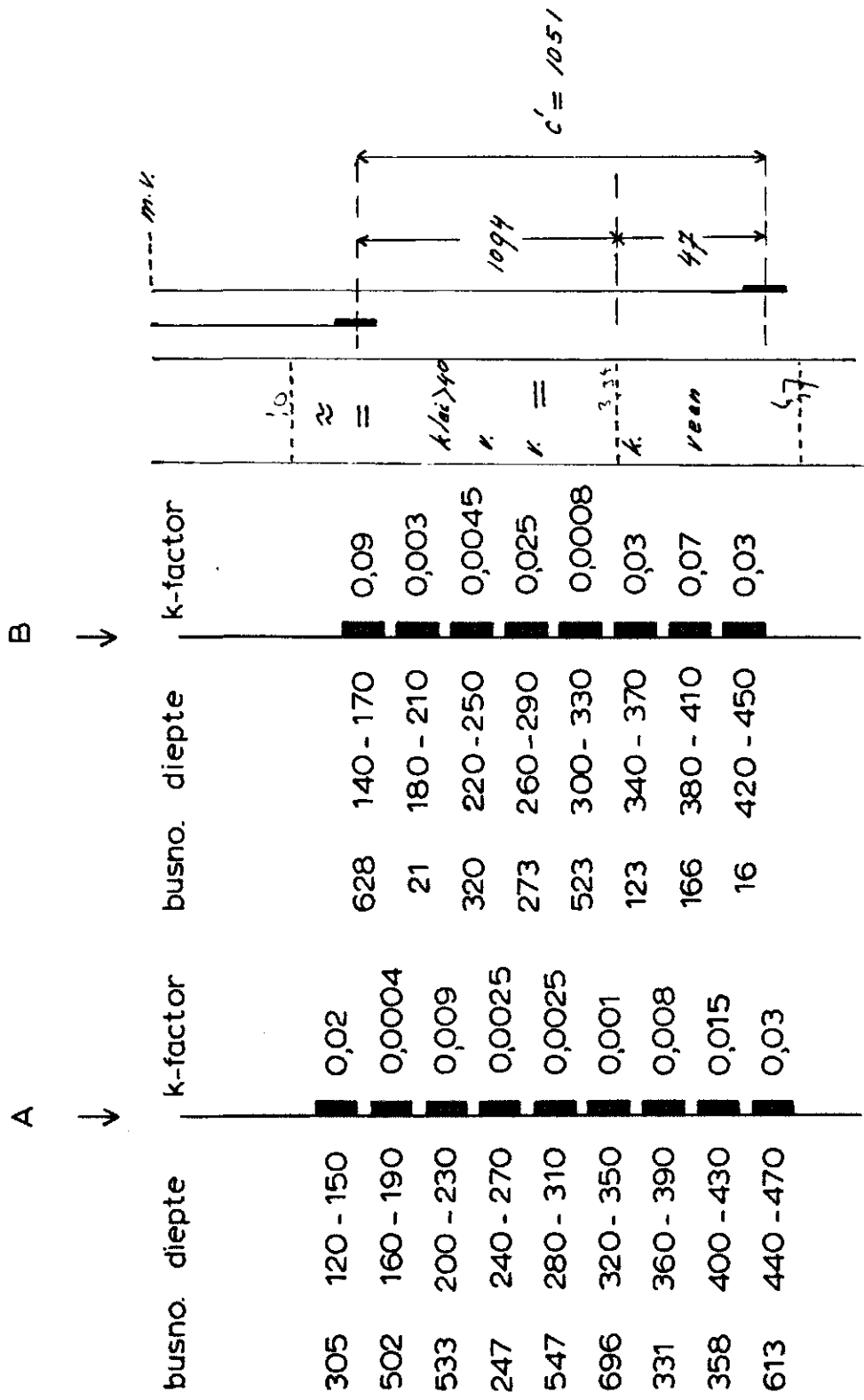
Boring h.o.20



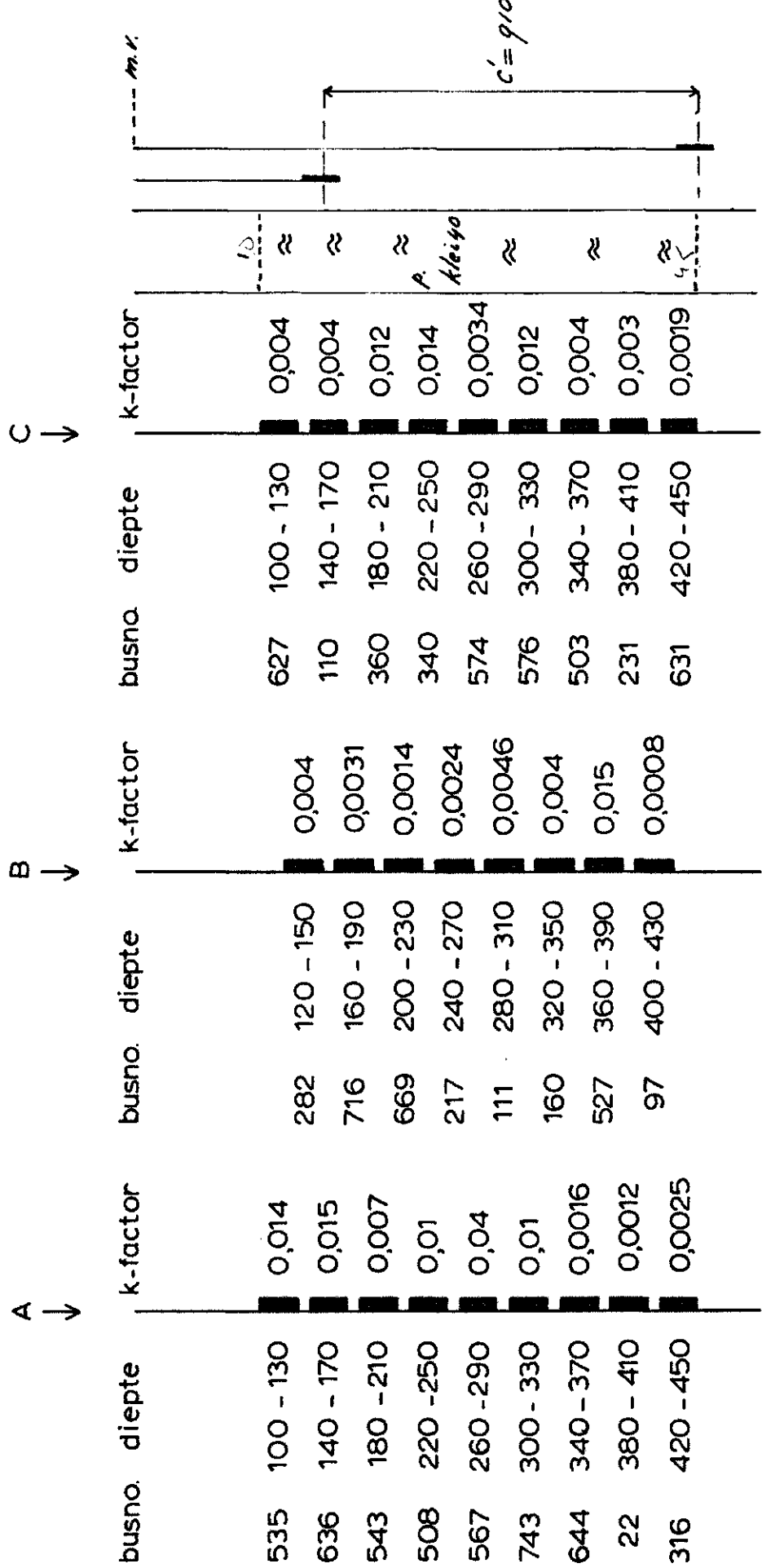
Boring h.o.21



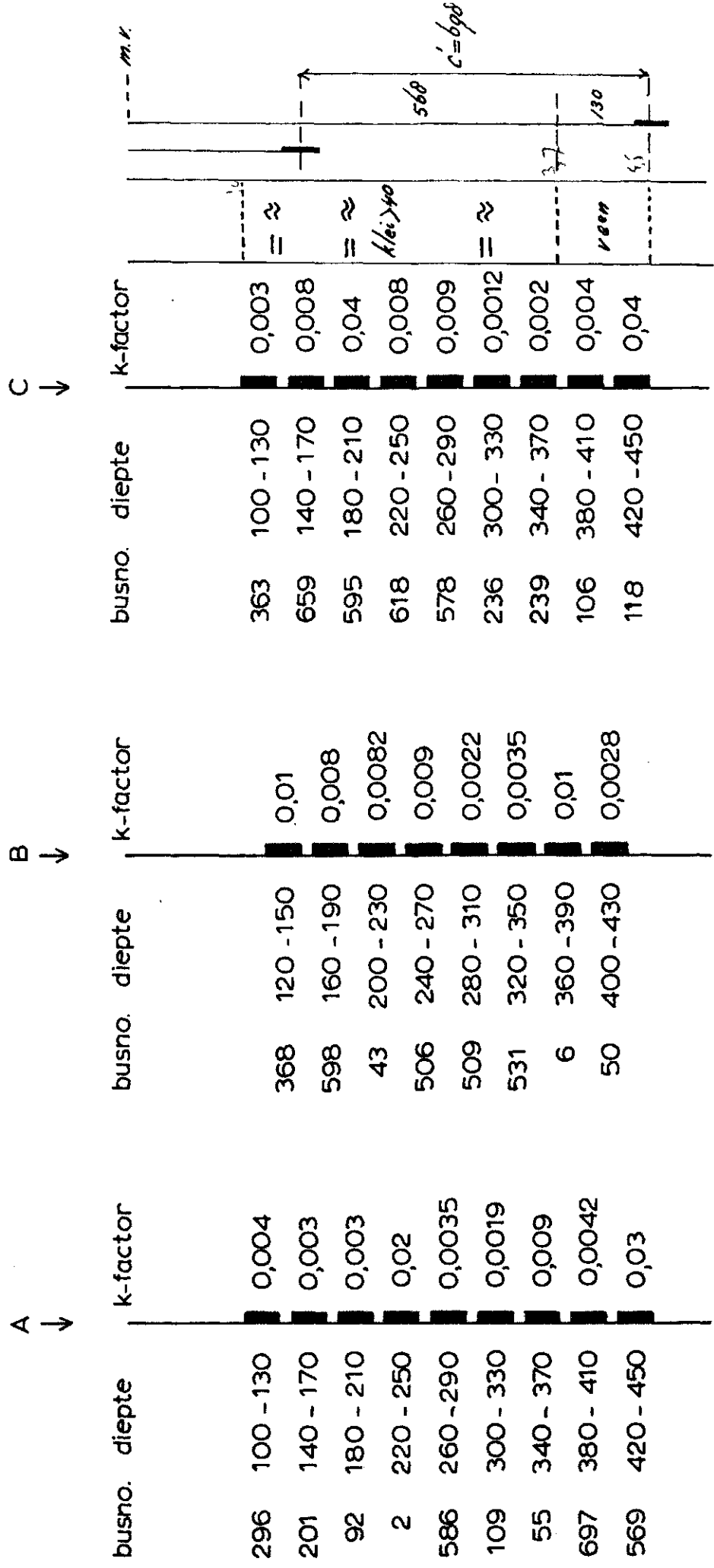
Boring ho.22



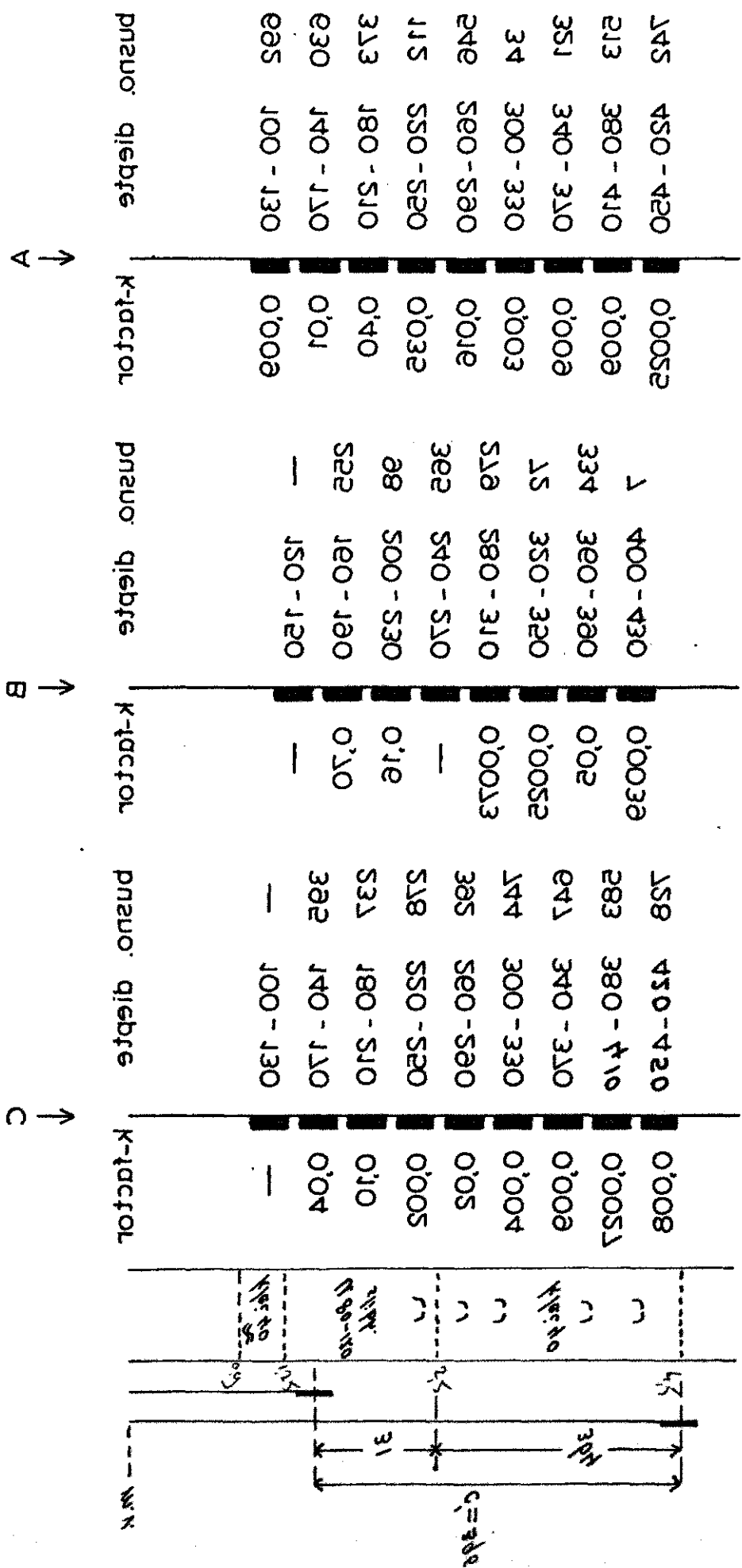
Boring ha.23



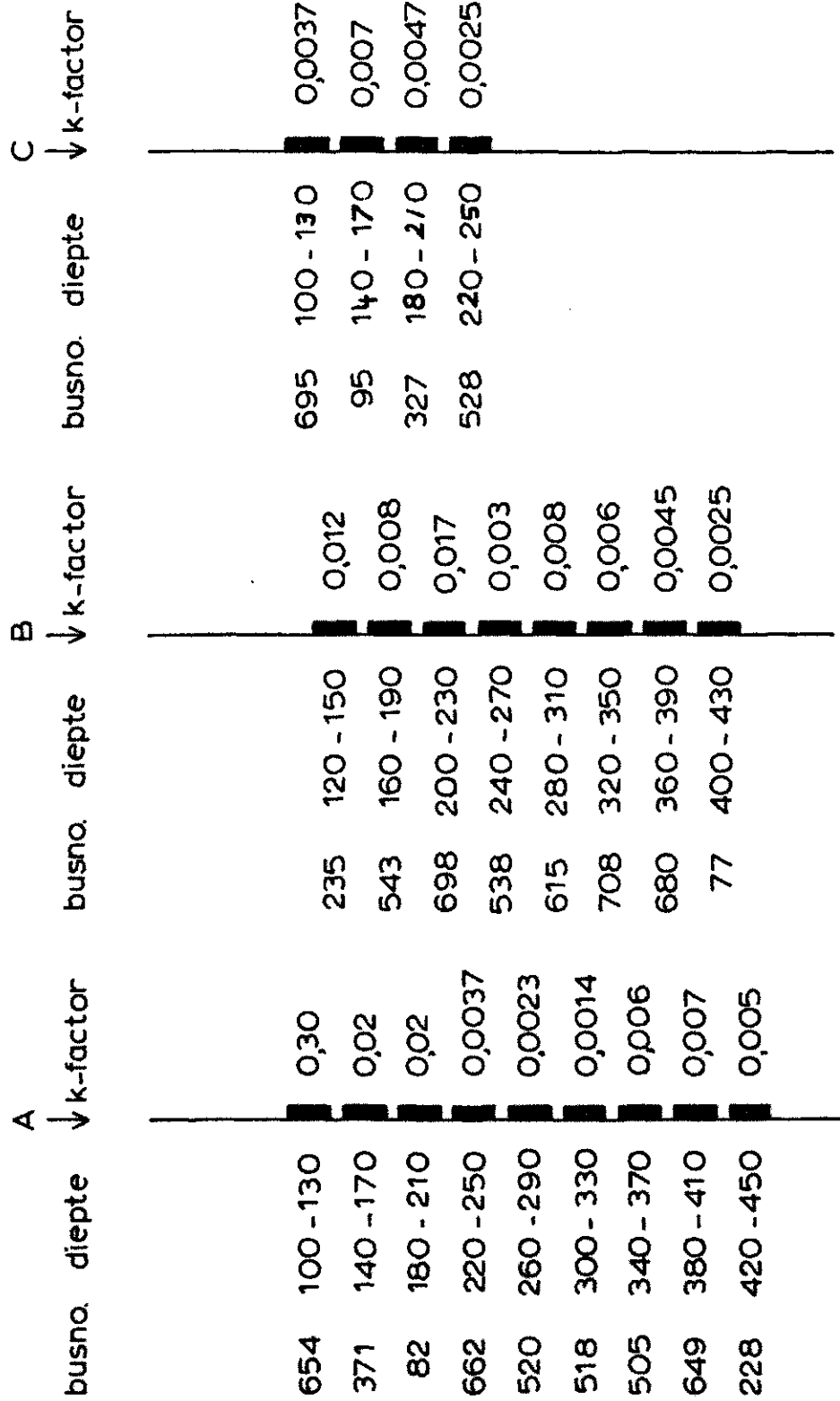
Boring h0.24



Bolina 1952

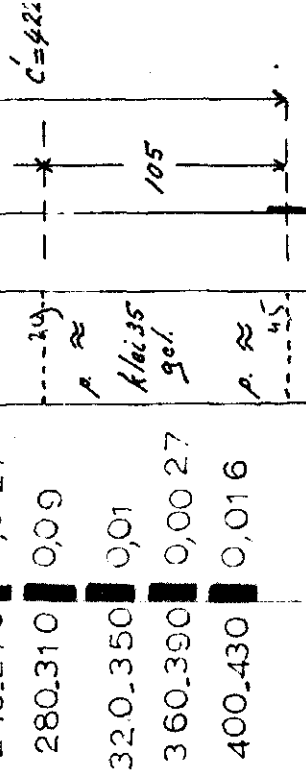


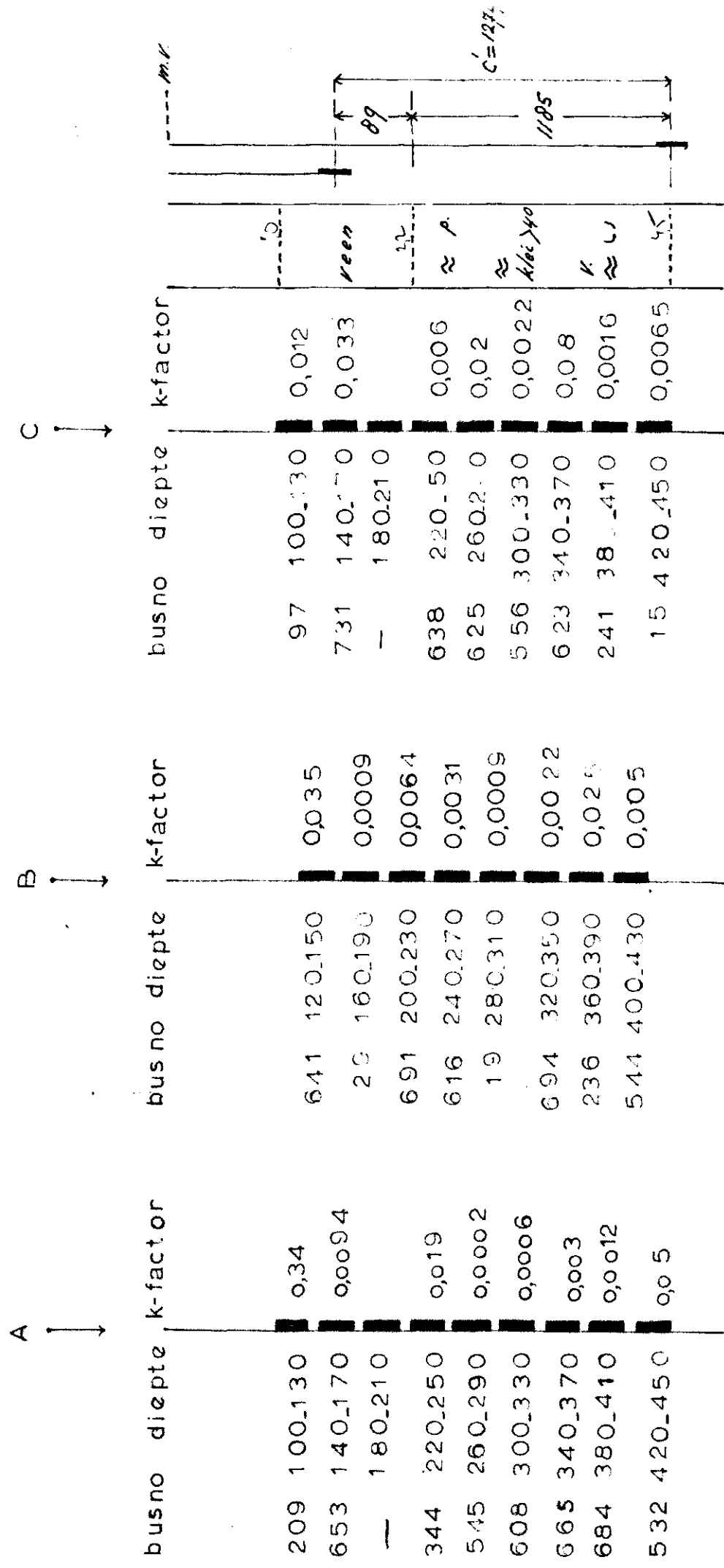
Boring H.O. 26



A ↓ B ↓ C ↓

bus no. di epte	K-factor	bus no. di epte	K-factor	bus no. di epte	K-factor
— 100-130		530 120 150	0,27	230 120 150	0,014
510 140-170	0,013	596 160 190	0,0011	39 160 190	0,0013
629 180-210	0,006	554 200 230	0,033	276 200 230	0,01
710 220-250	0,03	37 240 270	0,011	26 240 270	0,027
188 260-290	0,0094	553 300 330	0,017	54 280 310	0,09
607 300-330	0,05	394 340 370	0,009	75 320 350	0,01
67 340-370	0,012	100 380 410	0,014	399 360 390	0,0027
14 380-410	0,07	59 420 450	0,06	322 400 430	0,016
581 420-450	0,077				$\rho \approx 45$



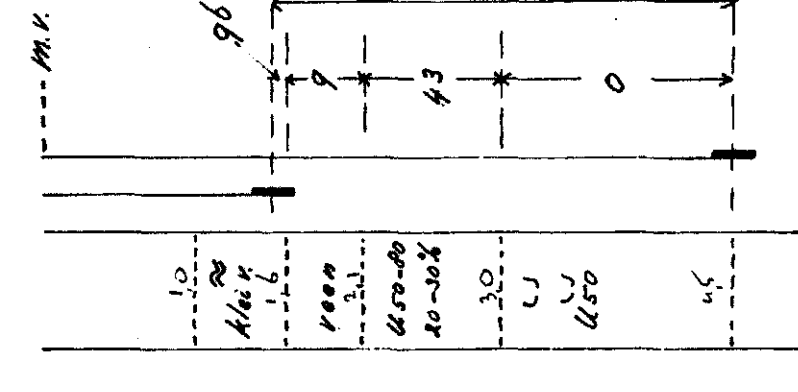


Boring h.o. 29.

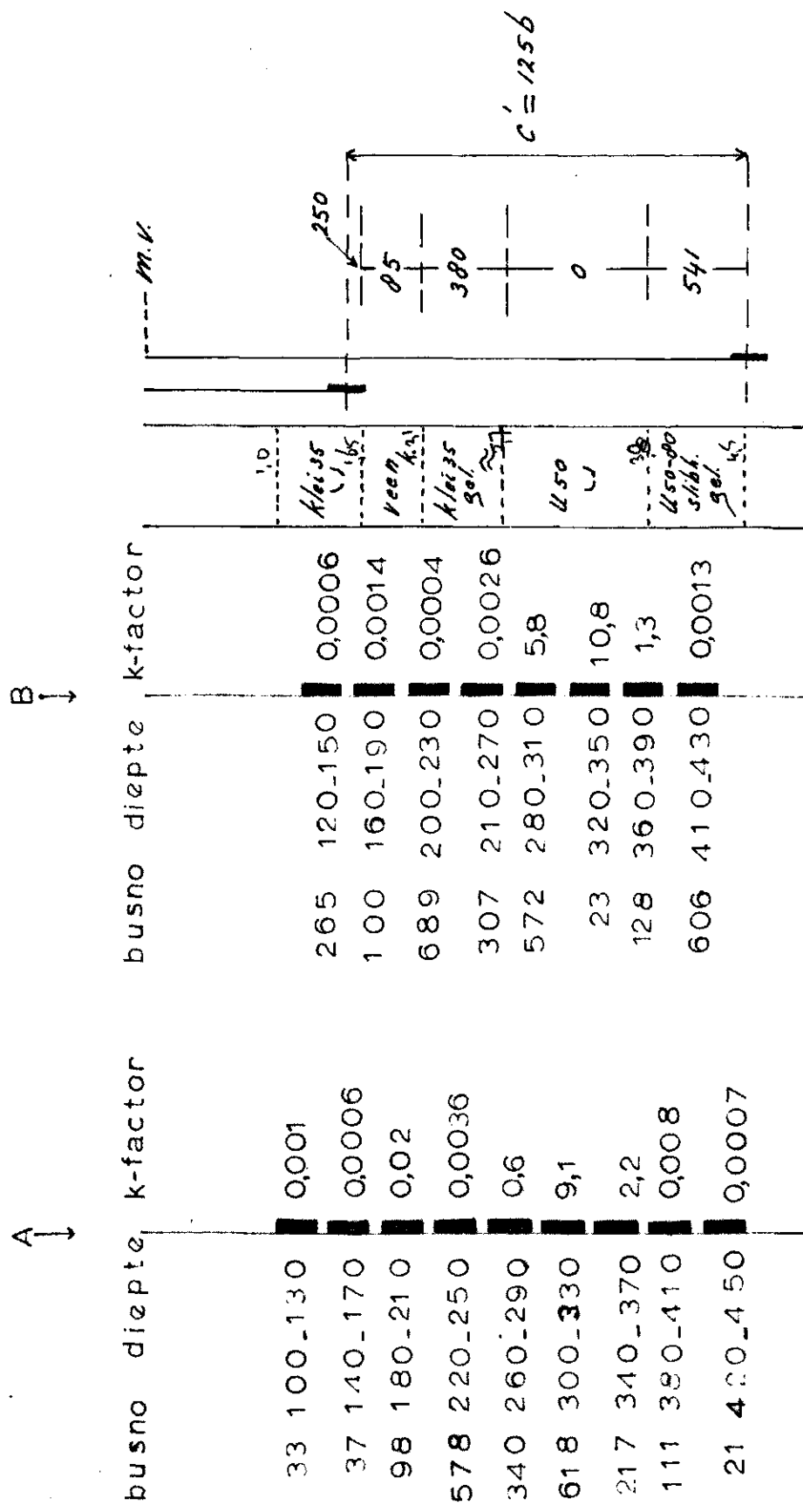
A

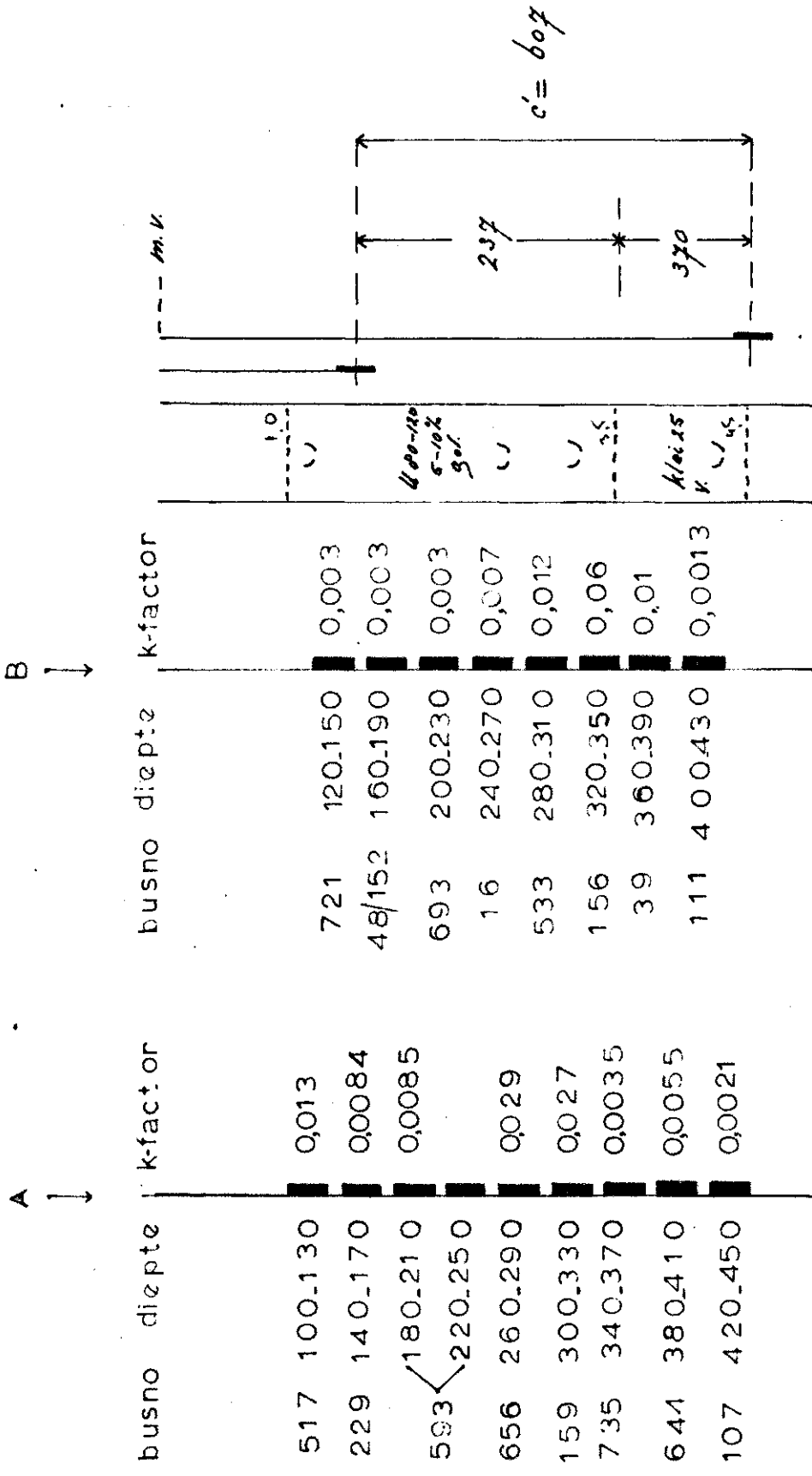
B

busno	diepte	k-factor	busno	diepte	k-factor
30	100 -1 30	0,0023	659	120 -1 50	0,05
502	140 -1 70	0,0006	118	160 -1 90	0,0041
4	180 -21 0	0,0 68	363	180 -2 30	0,02
52	220 -25 0	0,0 8	282	240 -2 70	0,003
320	260 -29 0	0,07	201	280 -21 0	0,48
699	300 -33 0	7,0	110	320 -3 50	5,1
696	340 -37 0	10,0			
685	380 -41 0	1,1			
22	420 -45 0	4,2			

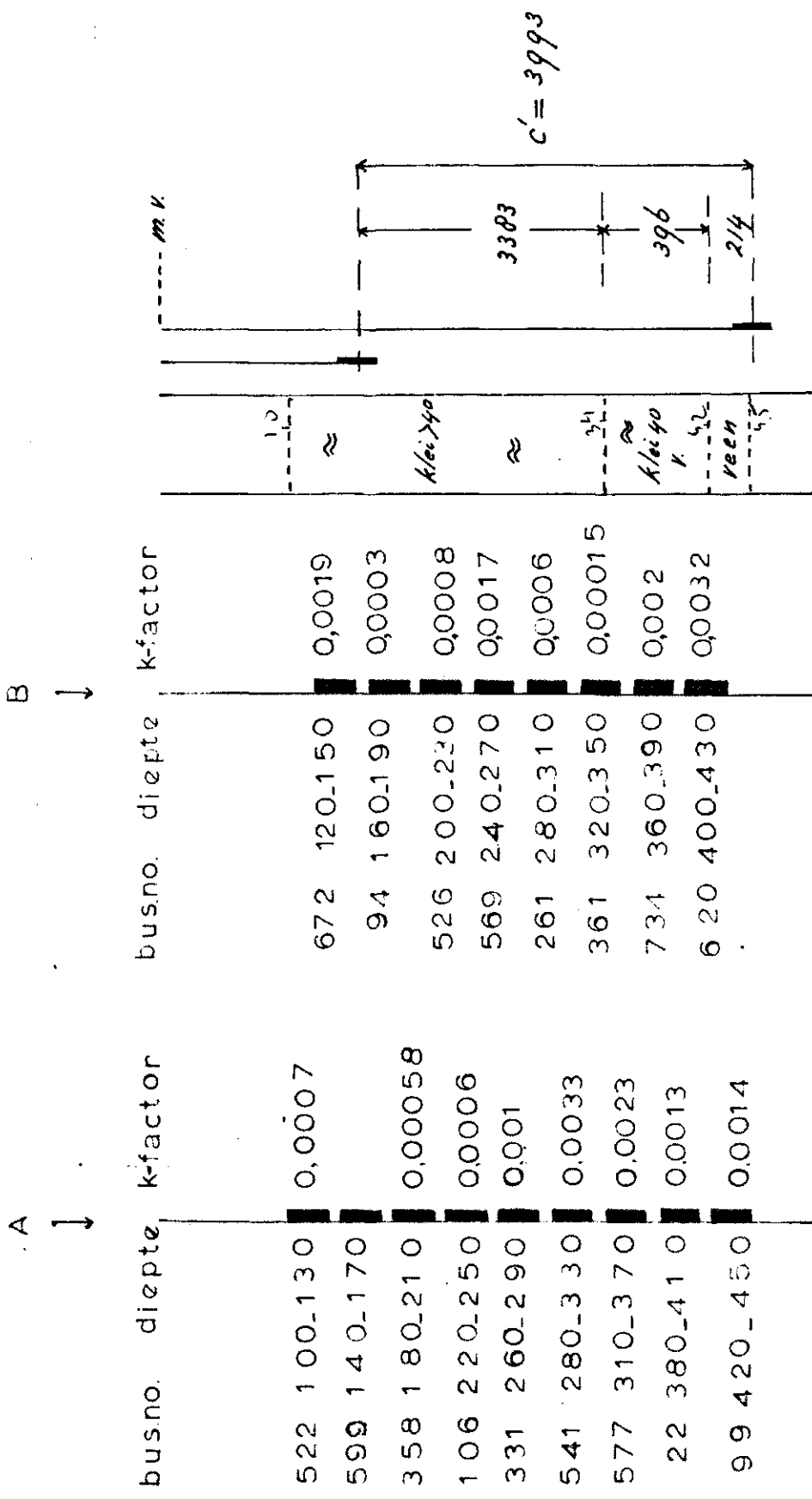


Boring no. 30.





Boring h.o. 32.



A

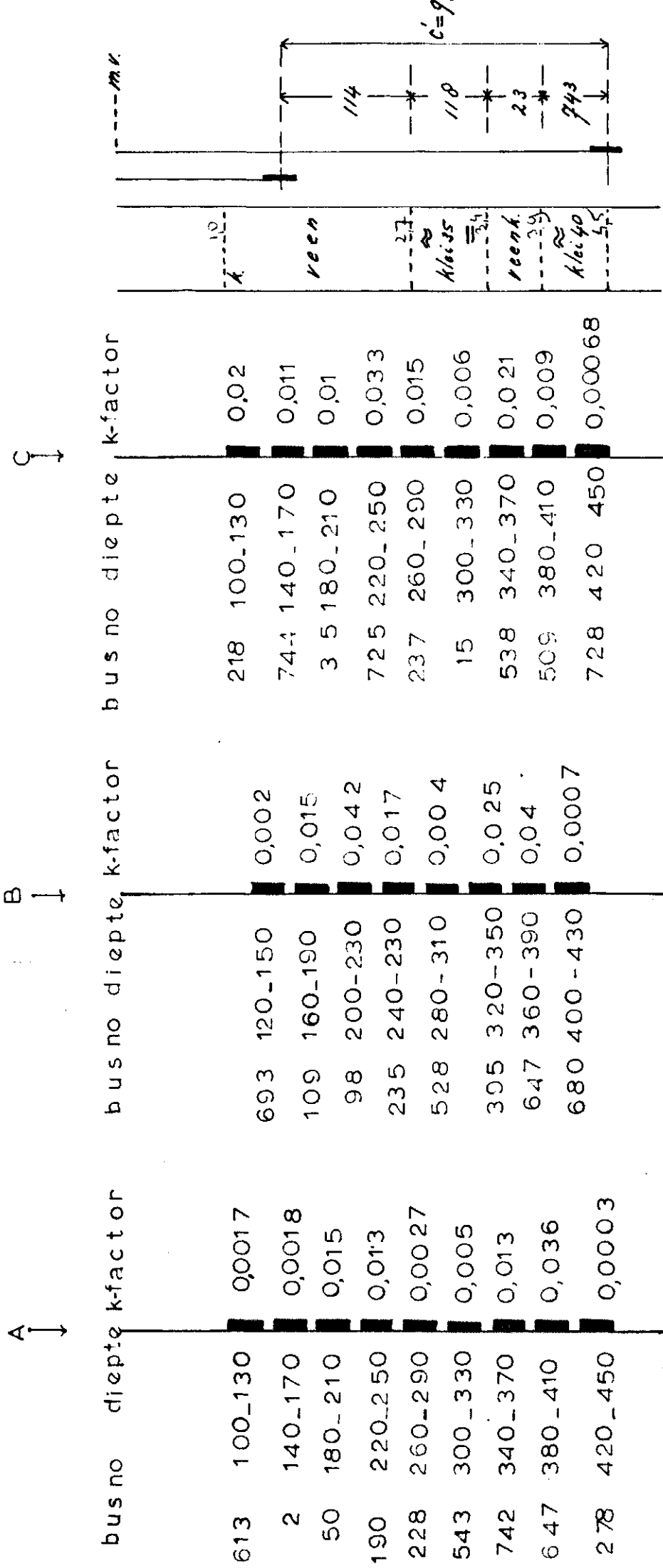
B

C

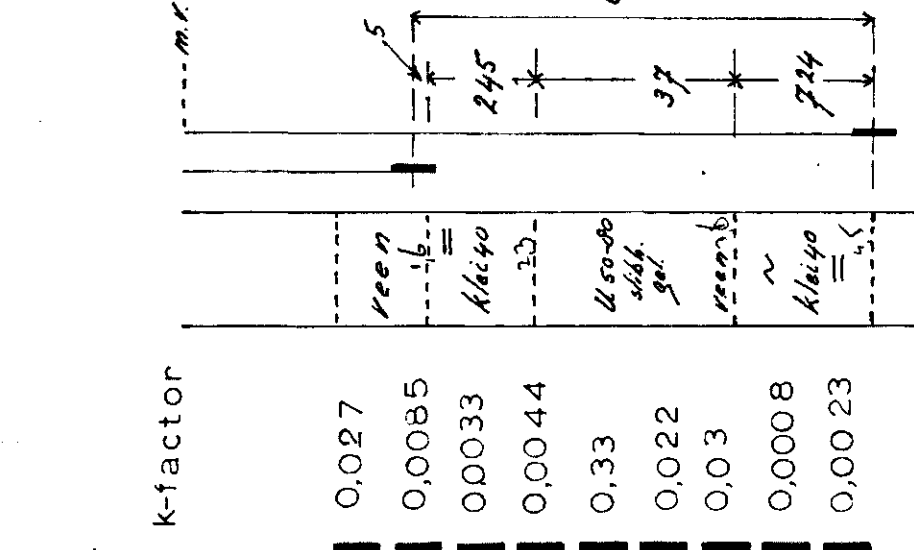
busno	dieptø	k-factor	busno	dieptø	k-factor	busno	dieptø	k-factor
705	100_130	0,032	311	120_150	0,016	31	100_130	0,017
9	140_170	0,022	584	160_190	0,085	508	140_170	0,009
658	180_210	0,014	513	200_230	0,0064	740	180_210	0,067
83	220_250	0,008	772	240_270	0,008	598	220_250	0,011
43	260_290	0,02	551	280_310	0,011	574	260_290	0,011
11300	330	0,051	368	320_350	0,0063			
34340	370	0,0036	321	360_390	0,0012			
614380	410	0,0042	697	400_430	0,02			
610420	450	0,03						

 $c' = 466$ $\frac{34}{3} =$ f_{fac} $\frac{34}{3} =$ f_{fac} $\frac{34}{3} =$

boring h.o. 34



busno	d _{opt}	k-factor	busno	d _{opt}	k-factor	busno	d _{opt}	k-factor
383	100.130	0.037	535	120.150	0.027	9	100.130	0.027
101	140.170	0.016	636	160.150	0.03	160	140.170	0.0085
35	180.210	0.00068	628	200.230	0.0031	95	180.210	0.0033
296	220.250	0.0028	627	240.270	0.044	193	220.250	0.0044
718	260.290	0.038	643	280.310	0.034	681	260.290	0.33
816	300.330	0.061	273	320.350	0.023	239	300.330	0.022
92	340.370	0.028	503	360.390	0.0045	669	340.370	0.03
97	380.410	0.023	527	400.430	0.00044	305	380.410	0.0008
576	420.450	0.0018				547	420.450	0.0023



Boring h.o.36

busno	dipept.e	k-factor	busno	dipept.e	k-factor	busno	dipept.e	k-factor
692	100-130	0,013	568	120-150	0,017	519	100-130	0,011
173	140-170	0,018	338	160-190	0,0093	12	140-170	0,014
14	180-210	0,02	530	200-230	0,0097	678	180-210	0,0068
123	220-250	0,015	68	240-270	0,011	211	220-250	0,0055
346	260-290	0,01	570	280-310	0,063	719	260-290	0,010
96	300-330	0,014	272	320-350	0,0049	545	300-330	0,011
537	340-370	0,0058	54	360-390	0,0082			
45	380-410	0,0073	739	400-430	0,0078			
124	420-450	0,013						

A ↓ B ↓ C ↓

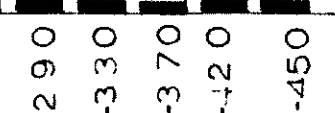
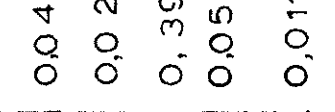
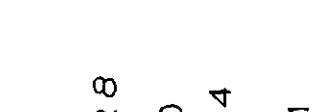
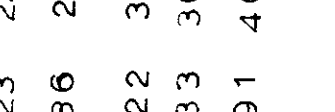
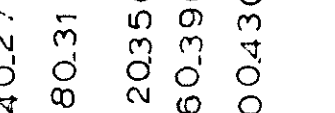
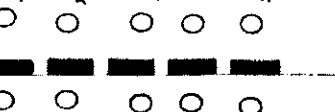
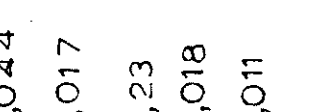
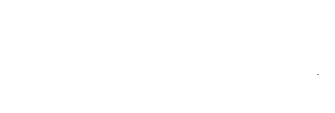
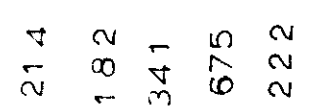
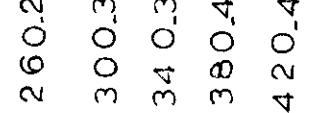
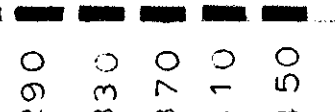
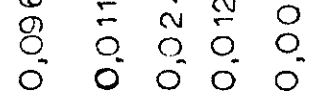
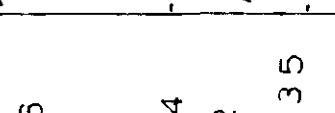
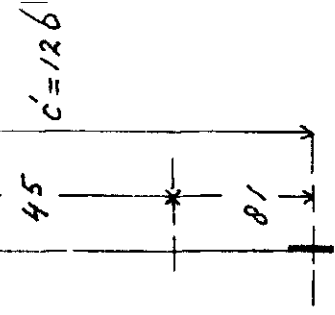
$c' = \beta/\delta$

A ↓

B ↓

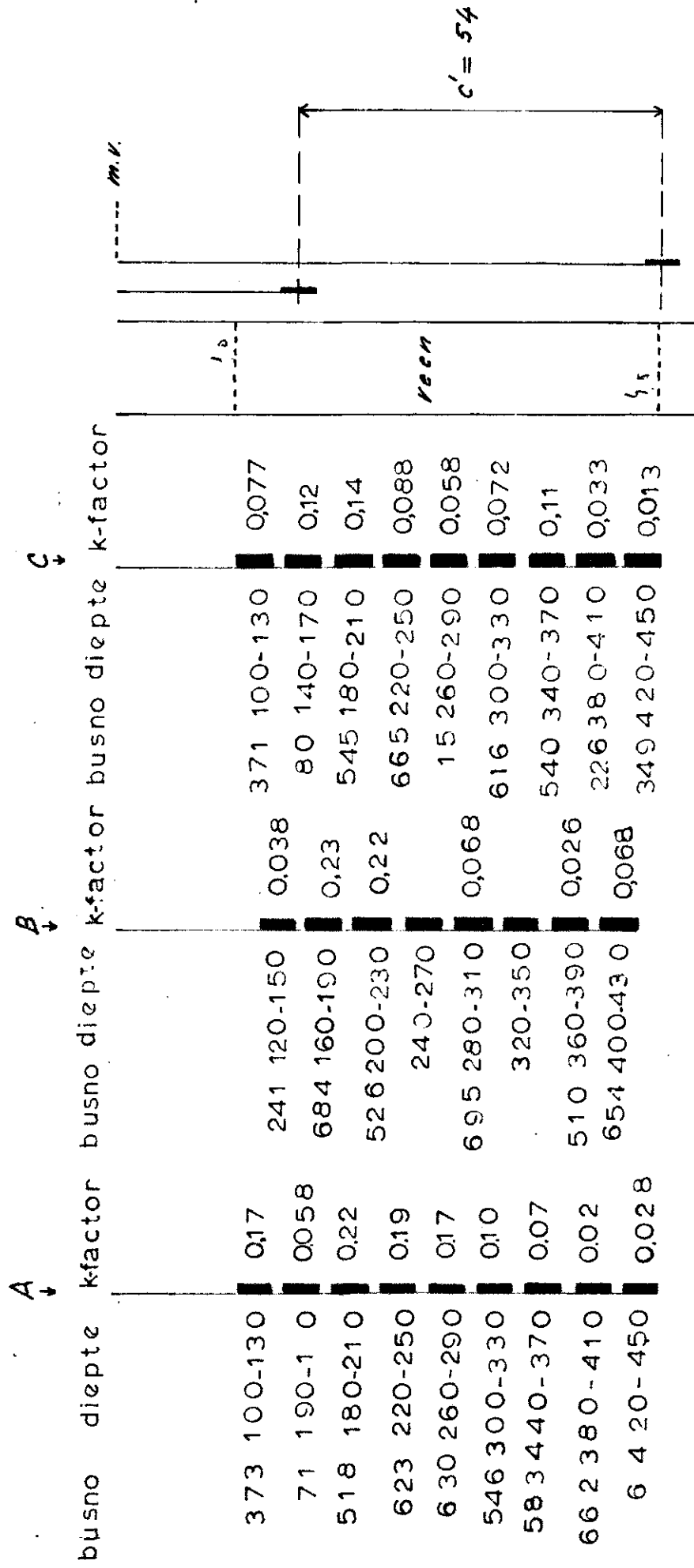
C ↓

busno	diept _e	k-factor									
559	100-130	0,12	94	120-150	0,068	682	100-130	0,13			
200	140-170	0,11	382	160-190	0,088	3	140-170	0,34			
573	180-210	0,061	153	200-230	0,22	17	180-210	0,46			
511	220-250	0,14	323	240-270	0,044	6	220-250	0,026			
374	260-290	0,04	586	280-310	0,017	214	260-290	0,096			
98	300-330	0,028	722	320-350	0,23	182	300-330	0,011			
523	340-370	0,39	733	360-390	0,018	341	340-370	0,024			
113	380-420	0,054	191	400-430	0,011	675	380-410	0,012			
578	420-450	0,011				222	420-450	0,0035			

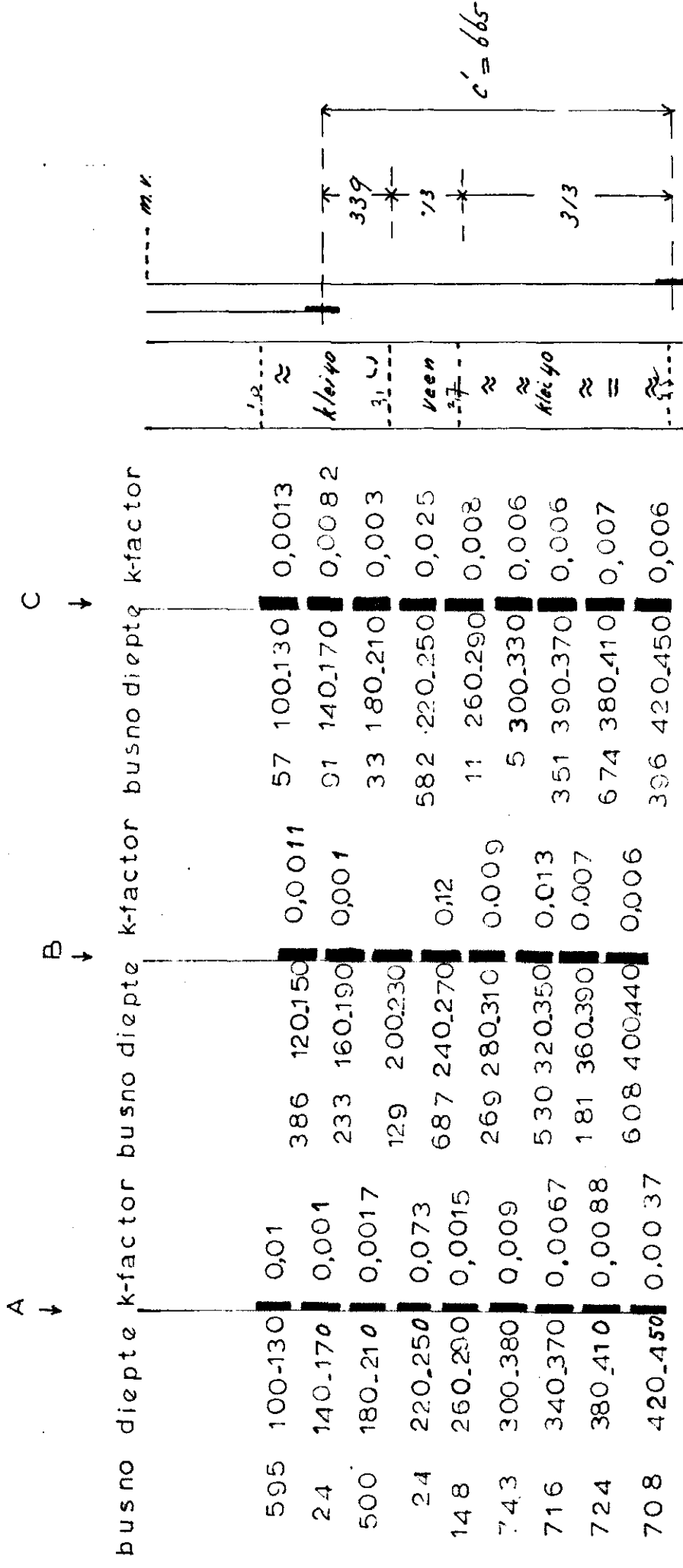


Boring, no. 38.

	bus no	dispt ϵ	k-factor	bus no	dispt ϵ	k-factor	bus no	dispt ϵ	k-factor
A	655	100-130	0,13	100	120-150	0,079	455	100-130	0,099
B	306	140-170	0,24	55	160-190	0,18	380	140-170	0,13
C	564	180-210	0,077	596	200-230	0,037	180	210	0,058
	639	220-250	0,074	394	240-270	0,069	279	220-250	0,039
	344	260-290	0,0091	113.	280-310	0,014	82	260-290	0,021
	694	300-330	0,03	224	320-350	0,019	59	300-330	0,037
	641	340-370	0,19	334	360-390	0,026	7	340-370	0,013
	338	380-410	0,016	327	400-430	0,027	320	380-410	0,013
	19	420-450	0,026	398	420-450	0,027	327	400-430	0,013

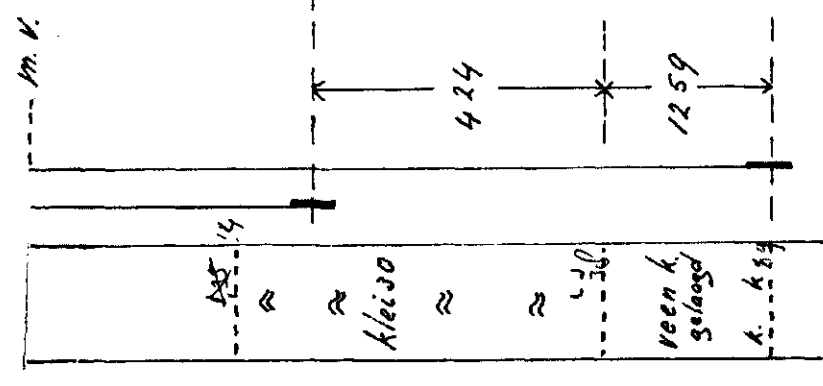


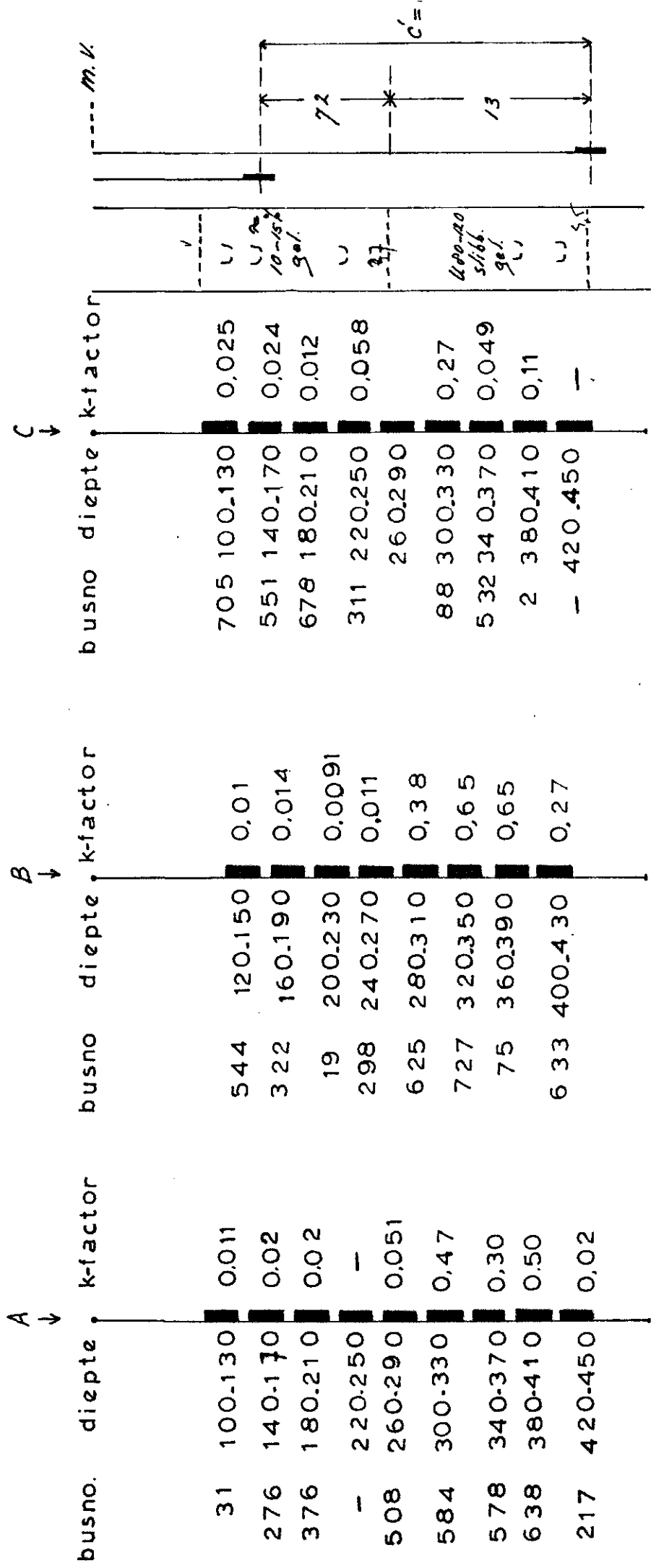
Boring ho 40



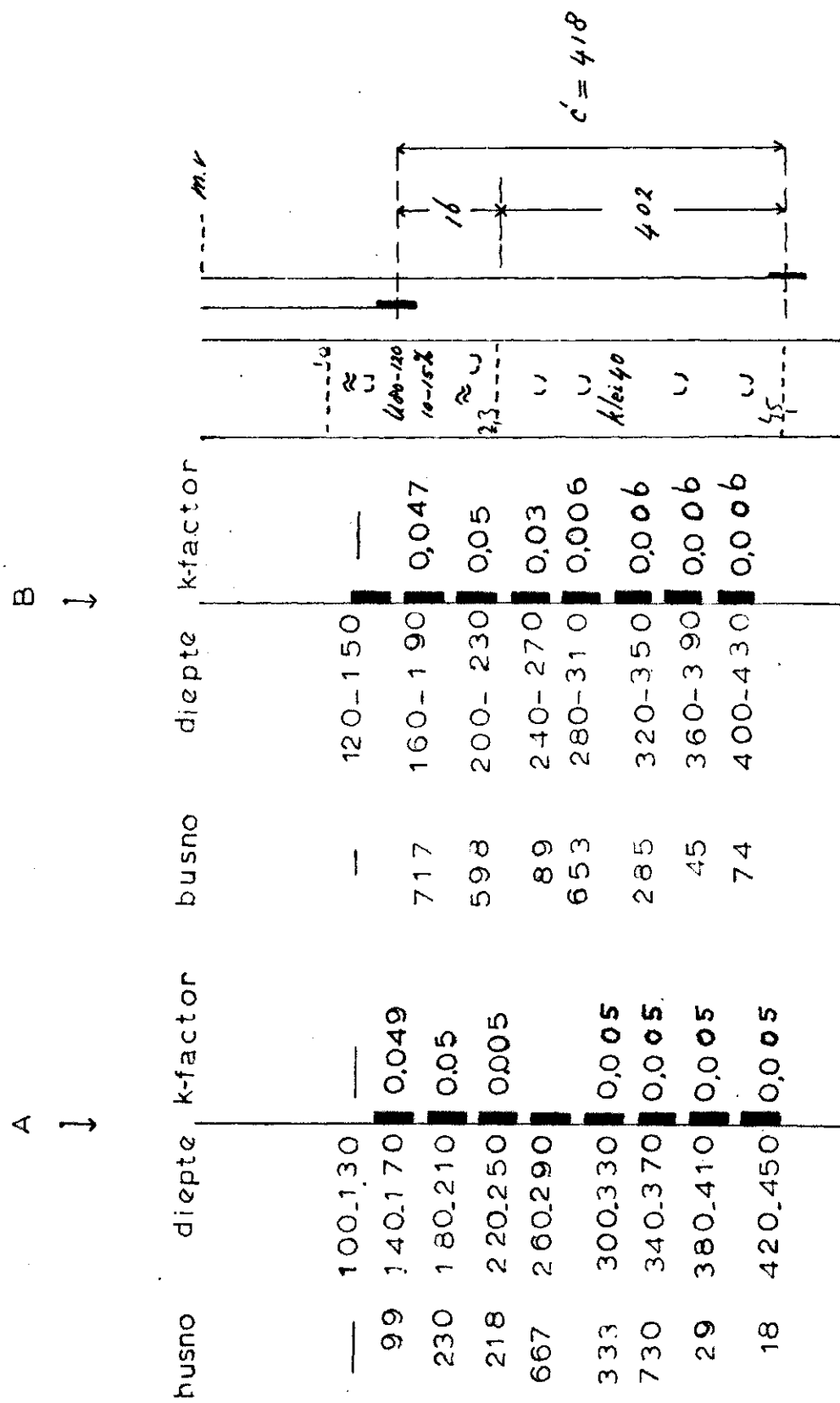
Boring no 41

	<i>A</i>	<i>B</i>	<i>C</i>
bore no.	digite	k-factor	bore no. digite k-factor
1 4	100-130	0,0011	190 100-130 0,008
3 8 3	140-170	0,019	12 140-170 0,0049
9 8	180-210	0,017	566 180-210 <i>k/eis 10</i>
18 8	220-250	0,0057	725 220-250 <i>≈ 424</i>
55 7	260-290	0,03	54 260-290 <i>≈</i>
53 0	300-330	0,0022	173 300-330 <i>≈</i>
71 9	340-370	0,002	27 2 340-370 <i>≈ 146</i>
1 6 3	380-410	0,0004	611 380-410 <i>green k. released</i>
712	420-450	0,0014	211 420-450 0,00025 <i>1. 449</i>





Boring no. 43



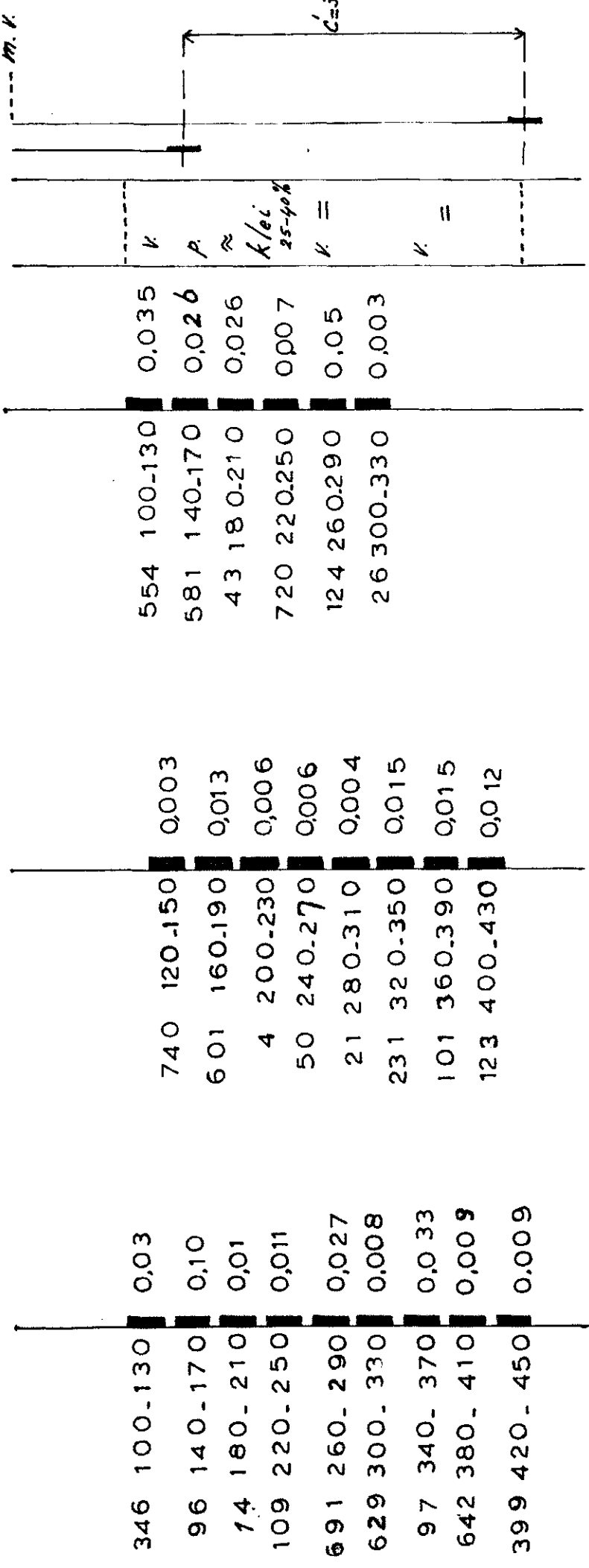
Boring no. 44

A ↓

B ↓

C ↓

busno diepte k-factor busno diepte k-factor busno diepte k-factor

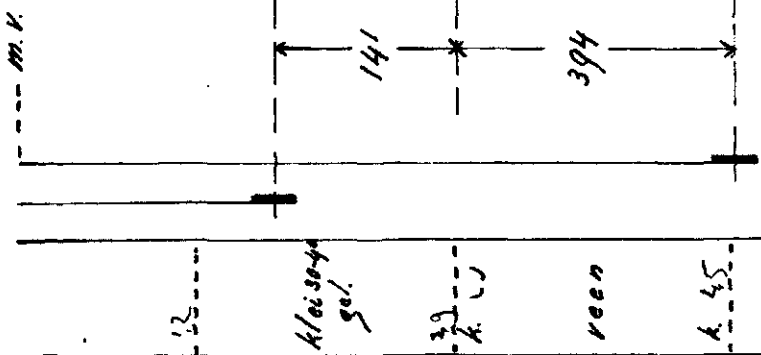


Boring Ho 45

A
↓B
↓

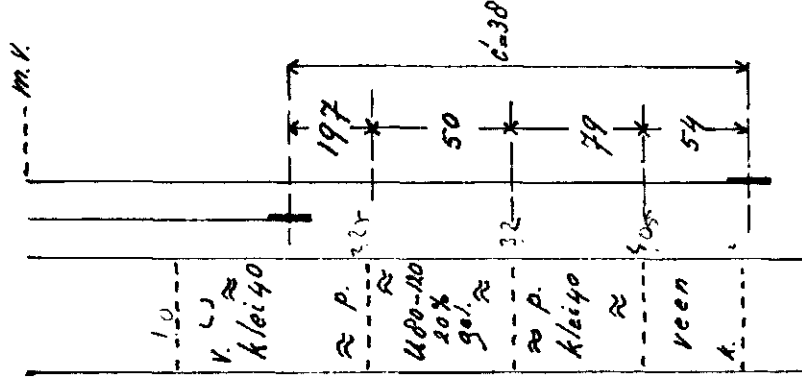
	busno	diepte	k-factor	busno	diepte	k-factor	
	731	100-130	0.0055		110	120-150	
693	140-170	0.0035		107	160-190	0.004	
209	180-210	0.03		659	200-230	0.037	
45P	220-250	0.03		570	240-270	0.011	
111	260-290	0.01		11	280-310	0.004	
38	300-330	0.004		644	320-350	0.004	
340	340-370	0.004		52	360-390	0.004	
166	380-410	0.004		593	400-430	0.008	
229	420-450	0.008				4.45	

K

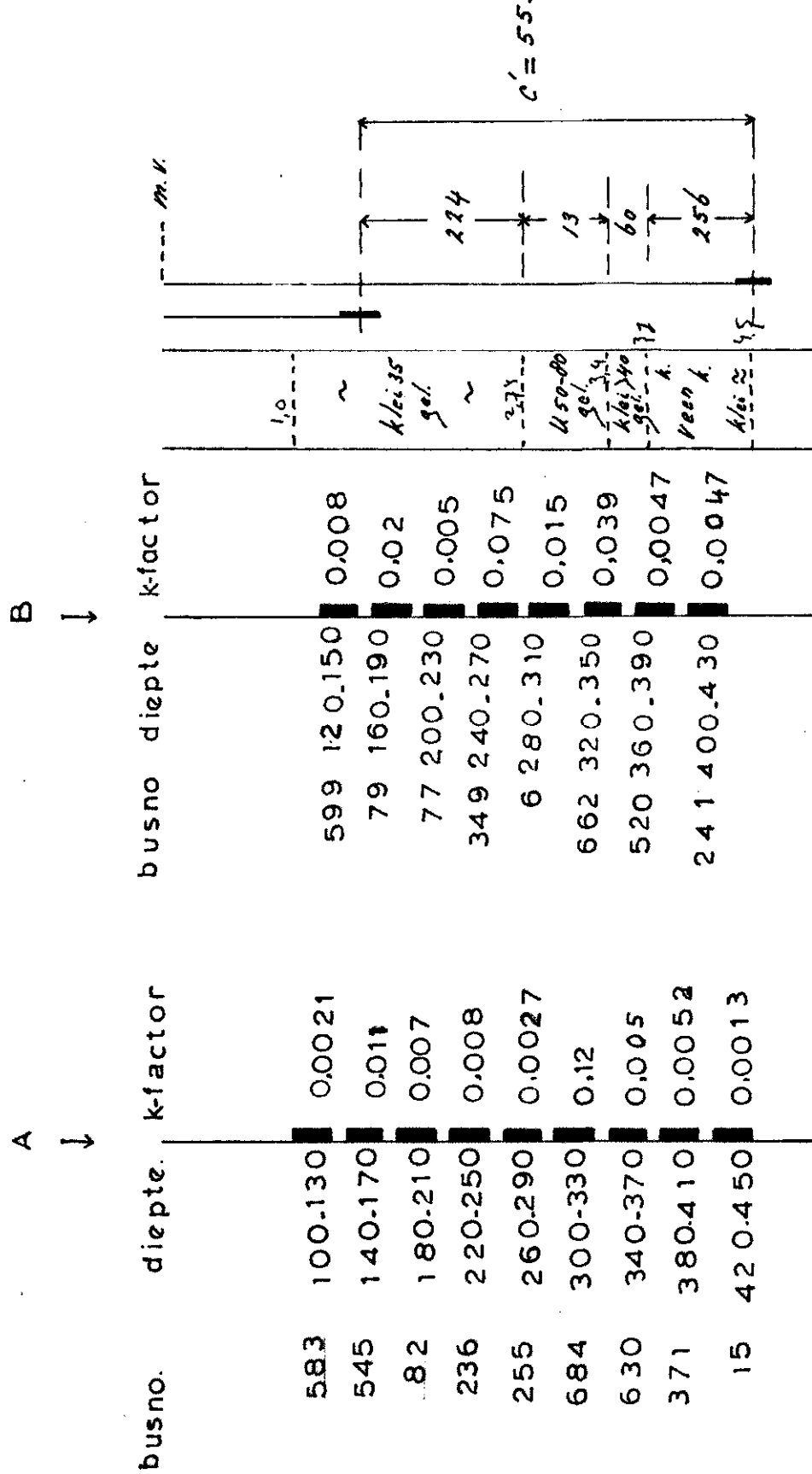


Boring H.O. 46

busno.	di _e p _t e.	k-factor	busno.	di _e p _t e.	k-factor	busno.	di _e p _t e.	k-factor
118	100.130	0,007	566	120.150	0,01	373	100.130	0,027
685	140.170	0,004	673	160.190	0,002	698	140.170	0,0015
572	180.210	0,013	31	200.230	0,015	695	180.210	0,0022
23	200.250	0,08	37	240.270	0,017	518	220.250	0,02
689	260.290	0,024	60	280.310	0,026	80	260.290	0,007
727	300.330	0,008	52	320.350	0,008	546	300.330	0,008
282	340.370	0,011	7	360.390	0,028			
159	380.410	0,01	665	400.430	0,0067			
529	420.450	0,014						



Boring No. 47



Boring h.o. 48.

A.
 busno. dieptel ↓ k-factor.

623	100 . 130	0,80
331	140 . 170	1,5
37	180 . 210	3,2
6 54	220 . 250	4,4
6 9	260 . 290	0,11
510	300 . 330	5,2
540	340 . 370	0,06
616	380 . 410	4,3
50	420 . 450	2,5

B.

busno.

dieptel

k-factor

↓

m. v.

1,0

~

1,0

~

1,0

~

1,0

~

1,0

~

1,0

~

1,0

~

1,0

~

1,0

~

1,0

~

1,0

~

1,0

~

1,0

~

1,0

~

1,0

~

1,0

~

1,0

~

1,0

~

1,0

~

1,0

~

1,0

~

1,0

~

1,0

~

1,0

~

1,0

~

1,0

~

1,0

~

1,0

~

1,0

~

1,0

~

1,0

~

1,0

~

1,0

~

1,0

~

1,0

~

1,0

~

1,0

~

1,0

~

1,0

~

1,0

~

1,0

~

1,0

~

1,0

~

1,0

~

1,0

~

1,0

~

1,0

~

1,0

~

1,0

~

1,0

~

1,0

~

1,0

~

1,0

~

1,0

~

1,0

~

1,0

~

1,0

~

1,0

~

1,0

~

1,0

~

1,0

~

1,0

~

1,0

~

1,0

~

1,0

~

1,0

~

1,0

~

1,0

~

1,0

~

1,0

~

1,0

~

1,0

~

1,0

~

1,0

~

1,0

~

1,0

~

1,0

~

1,0

~

1,0

~

1,0

~

1,0

~

1,0

~

1,0

~

1,0

~

1,0

~

1,0

~

1,0

~

1,0

~

1,0

~

1,0

~

1,0

~

1,0

~

1,0

~

1,0

~

1,0

~

1,0

~

1,0

~

1,0

~

1,0

~

1,0

~

1,0

~

1,0

~

1,0

~

1,0

~

1,0

~

1,0

~

1,0

~

1,0

~

1,0

~

1,0

~

1,0

~

1,0

~

1,0

~

1,0

~

1,0

~

1,0

~

1,0

~

1,0

~

1,0

~

1,0

~

1,0

~

1,0

~

1,0

~

1,0

~

1,0

~

1,0

~

1,0

~

1,0

~

1,0

~

1,0

~

1,0

~

1,0

~

1,0

~

1,0

~

1,0

~

1,0

~

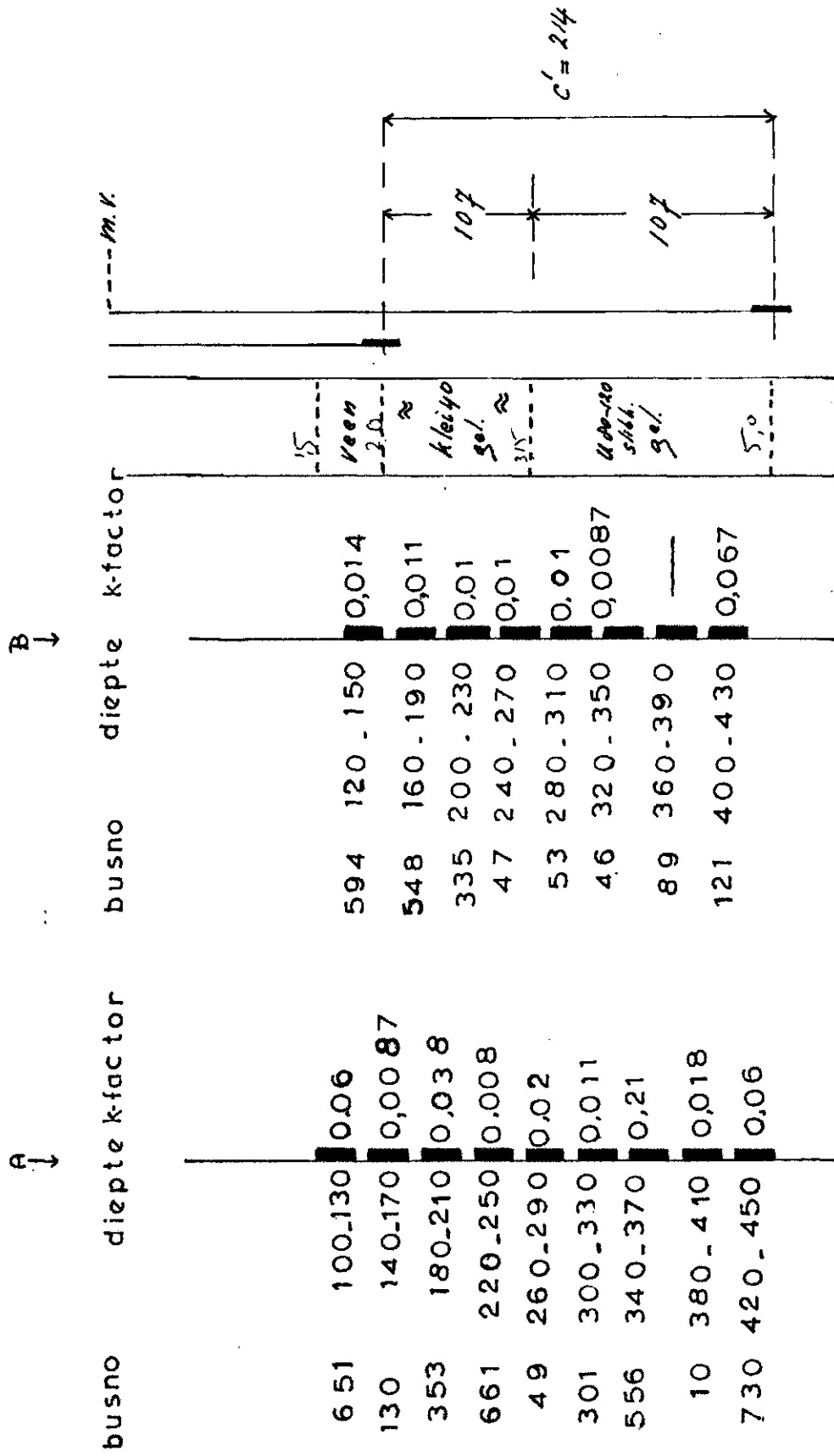
1,0

~

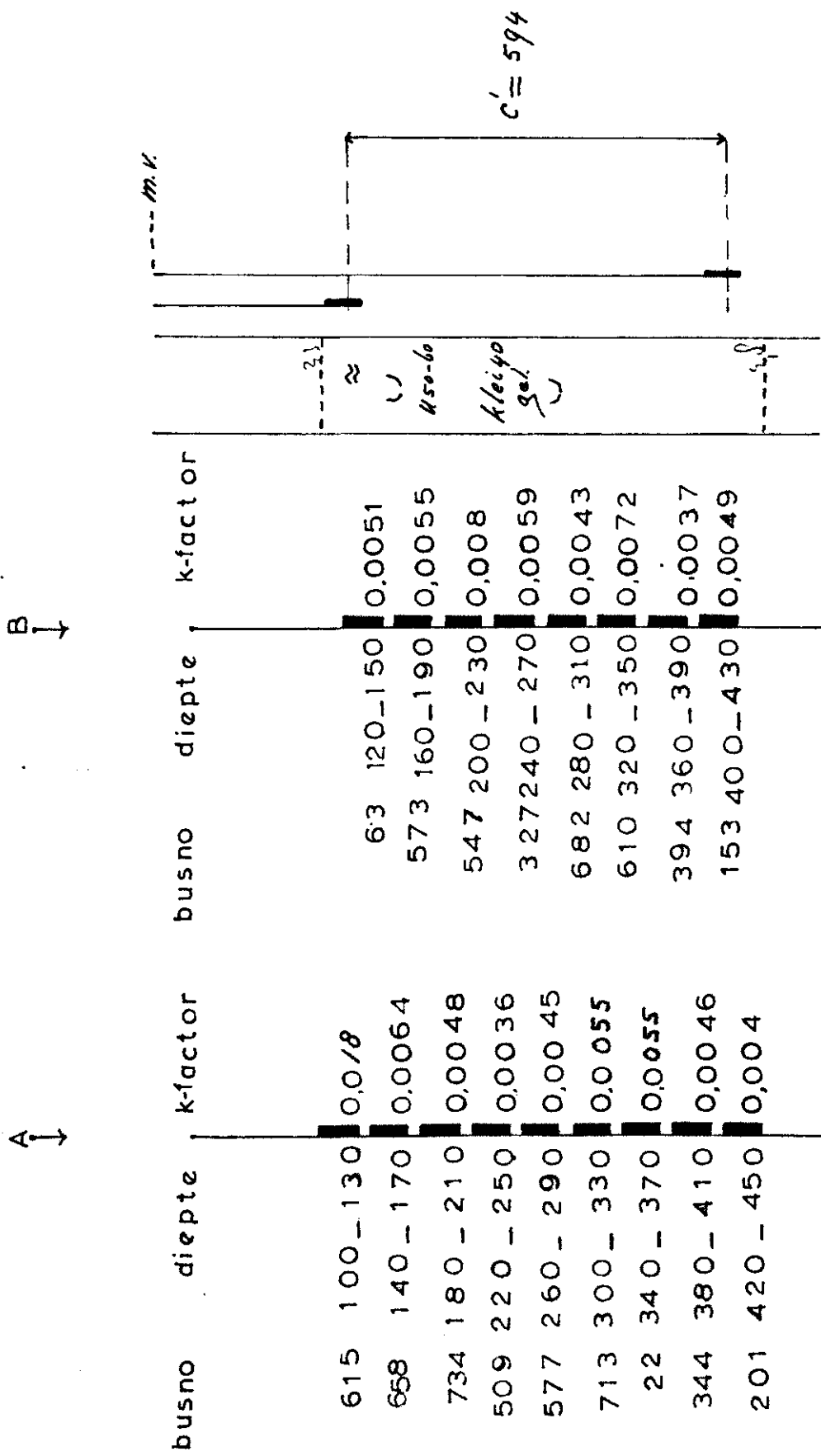
1,0

~

1,0

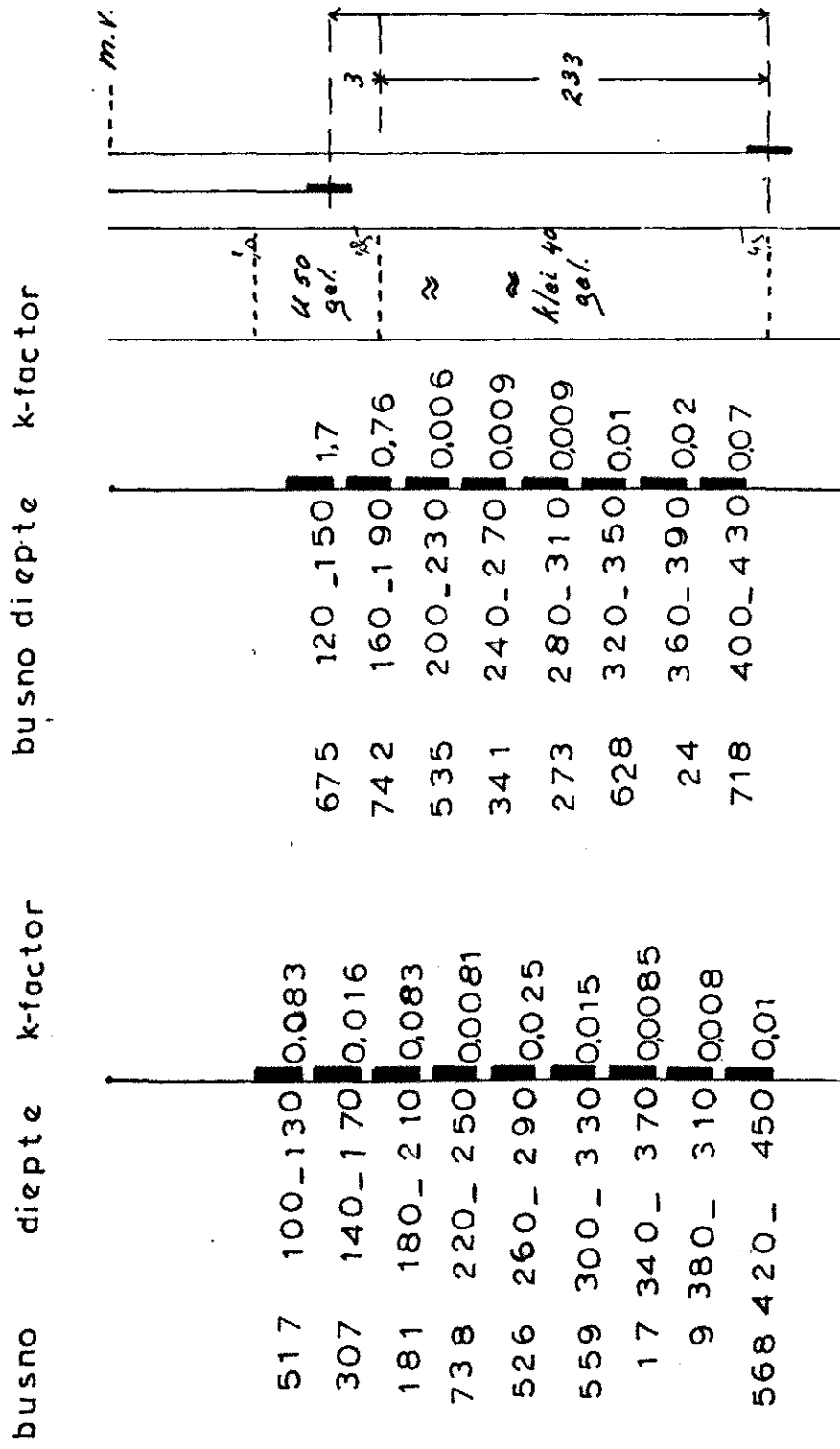


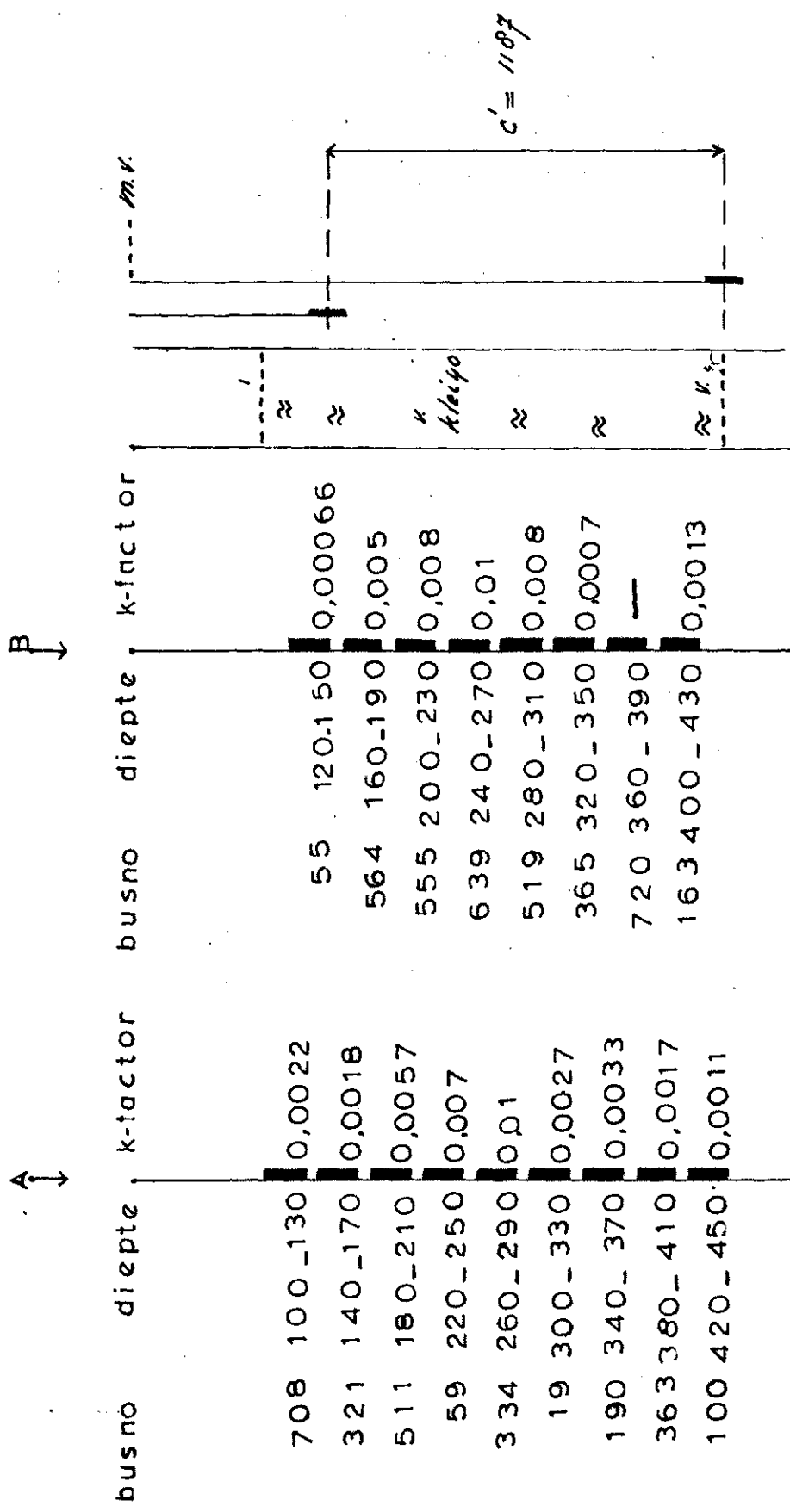
Boring H0.50



\hat{A} \hat{B}

busno	dispt ϵ	k-factor	busno	dispt ϵ	k-factor
517	100 - 130	0,083	675	120 - 150	1,7
307	140 - 170	0,016	742	160 - 190	0,76
181	180 - 210	0,083	535	200 - 230	0,006
738	220 - 250	0,0081	341	240 - 270	0,009
526	260 - 290	0,025	273	280 - 310	0,009
559	300 - 330	0,015	628	320 - 350	0,01
17	340 - 370	0,0085			
9	380 - 310	0,008	24	360 - 390	0,02
568	420 - 450	0,01	718	400 - 430	0,07

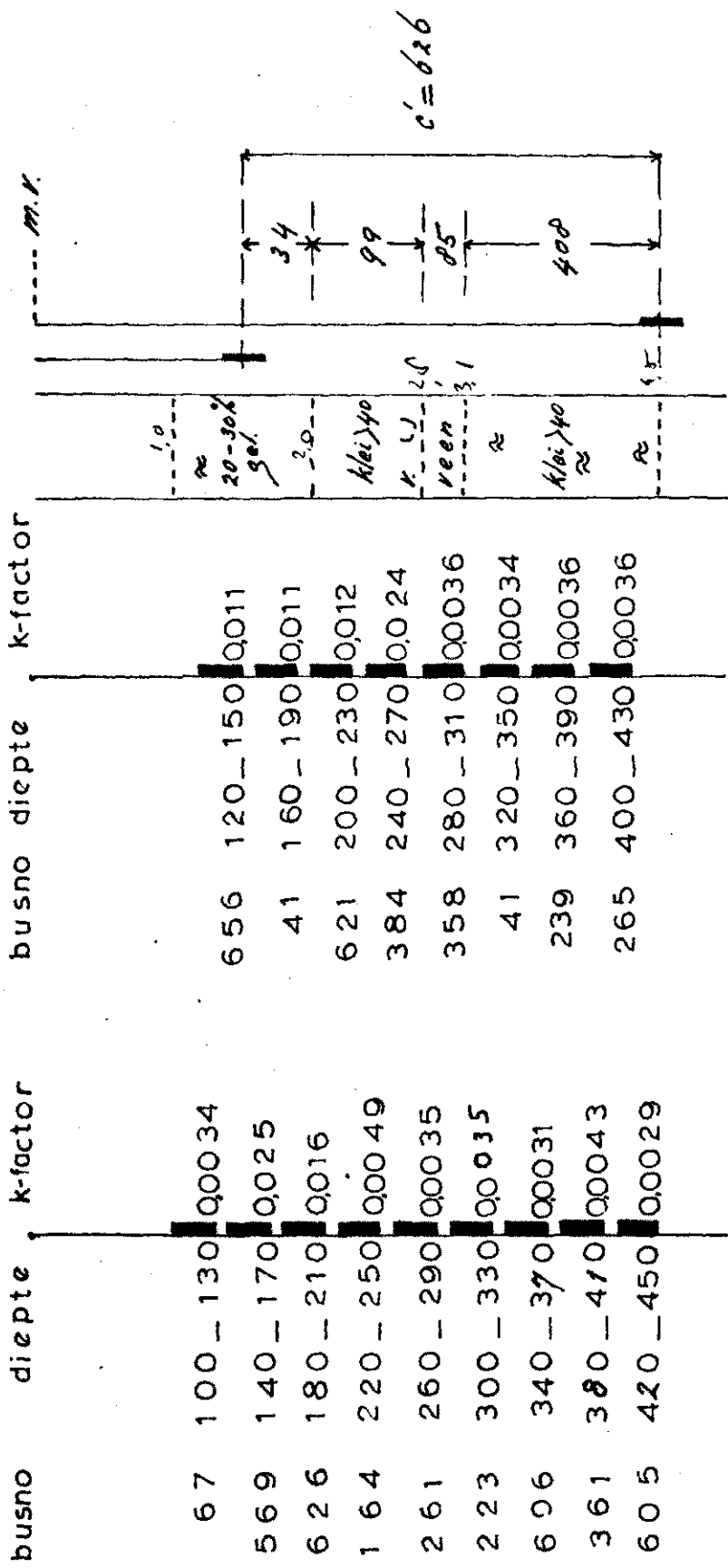




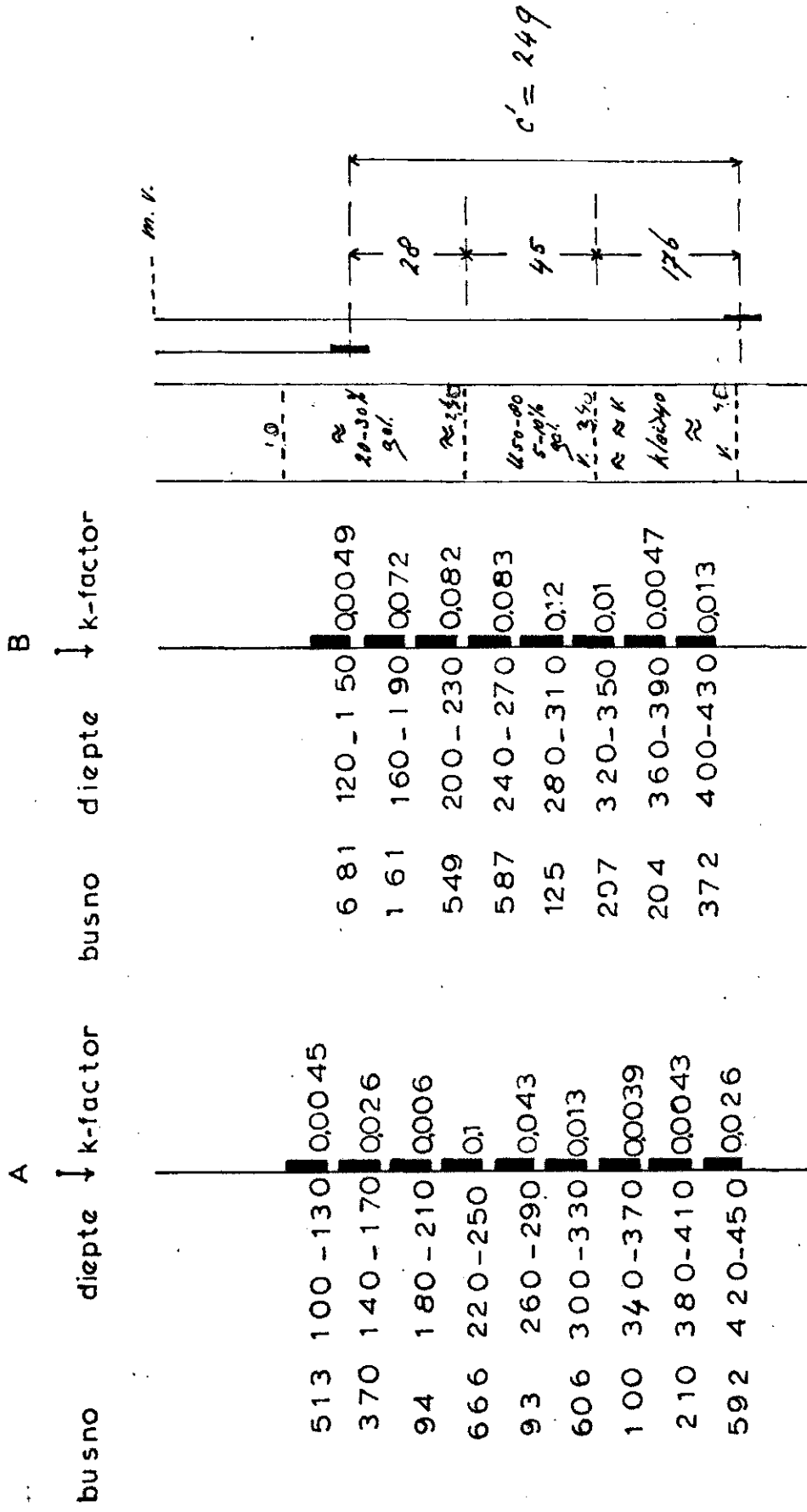
Boring H.O. 53

A ↓

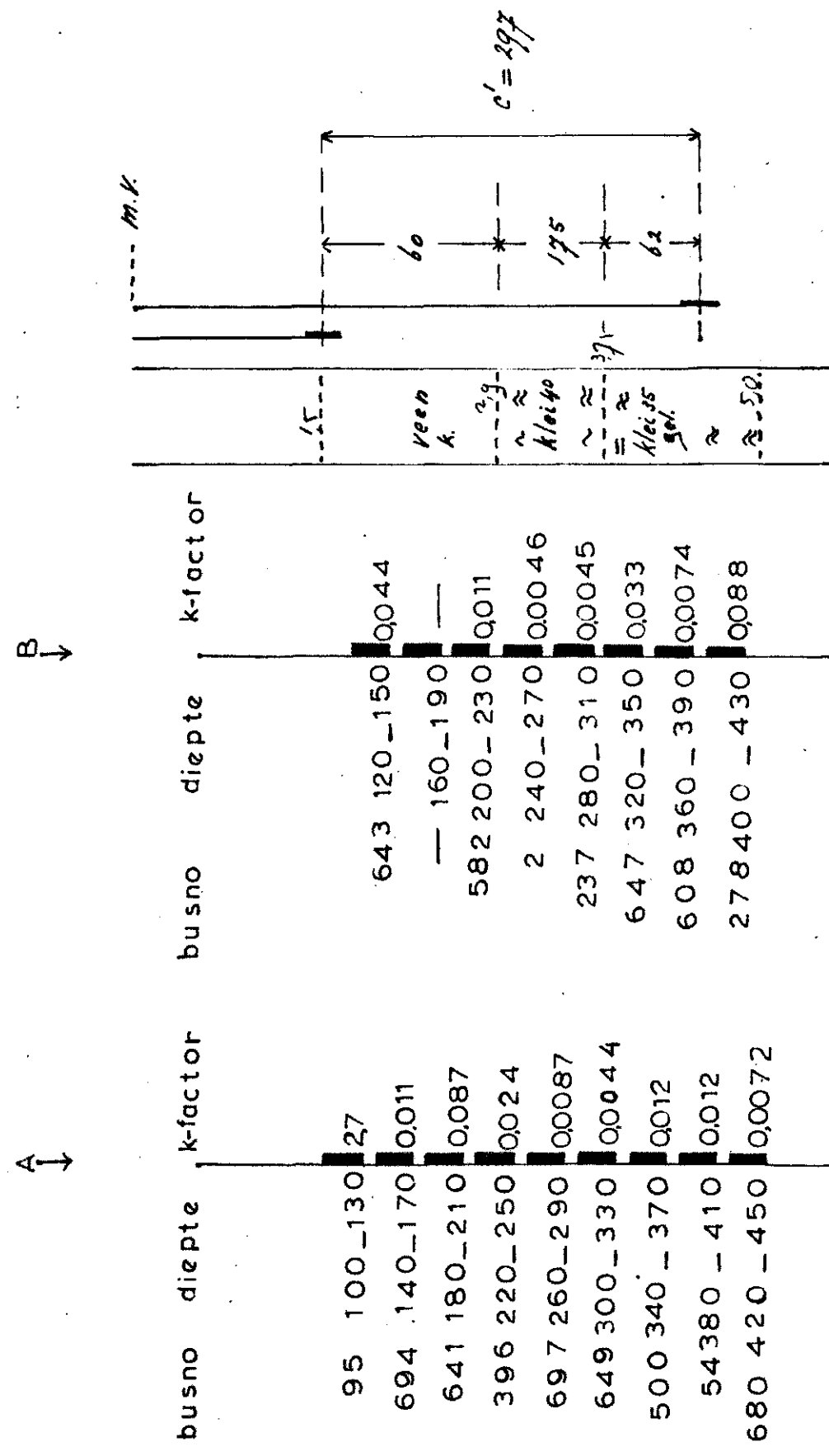
B ↓

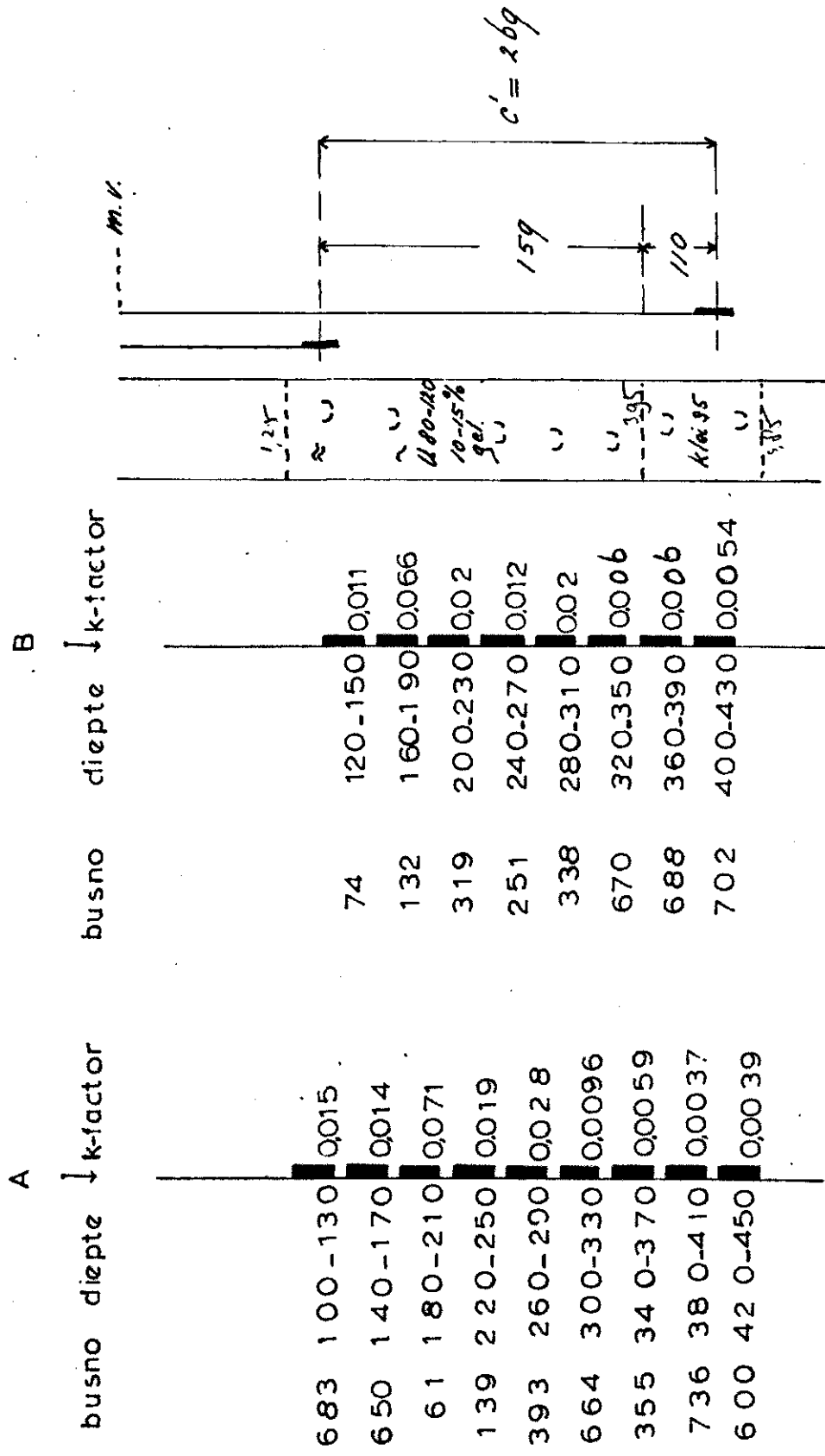


Boring H.Q. 54

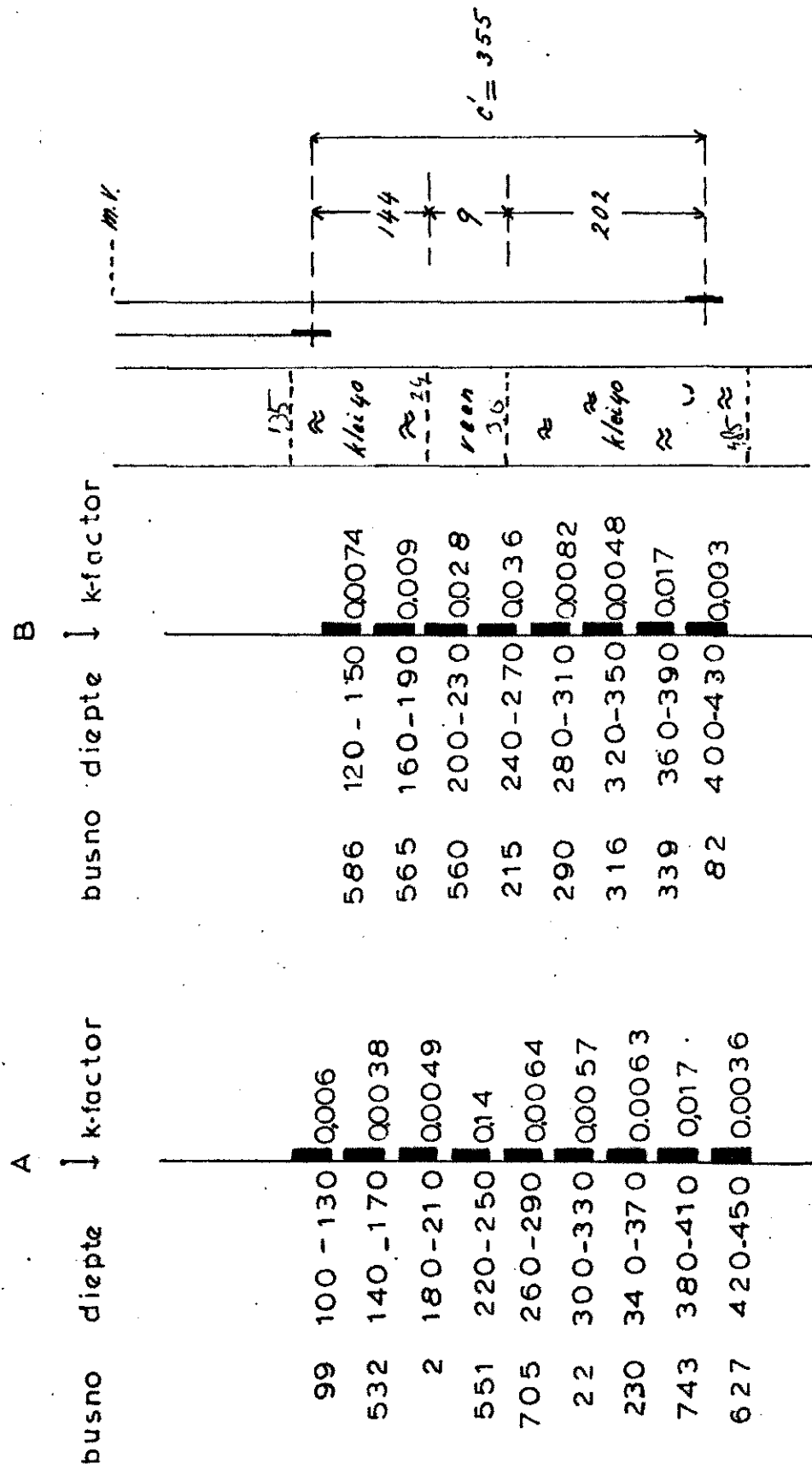


Boring h.o.56

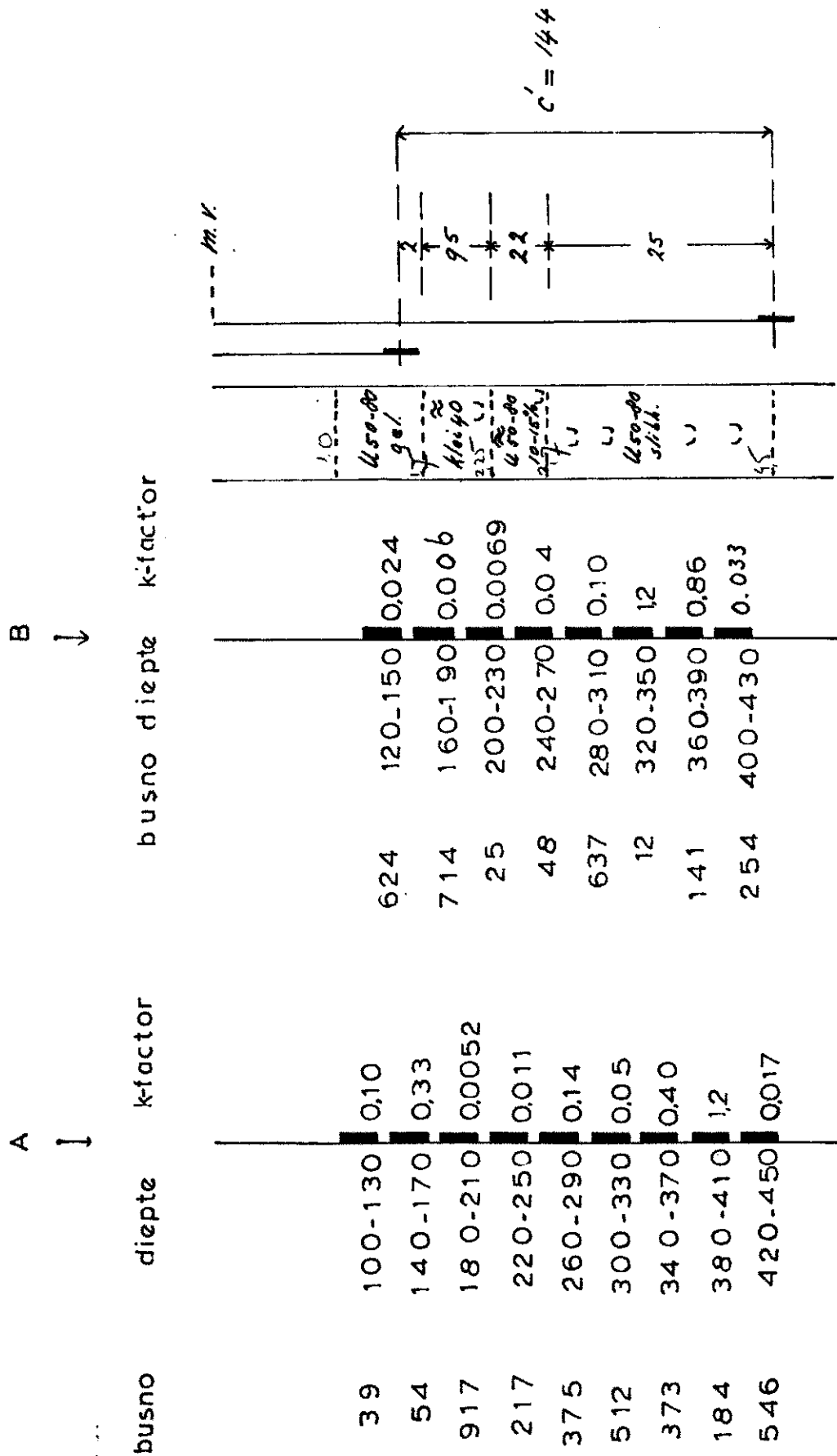




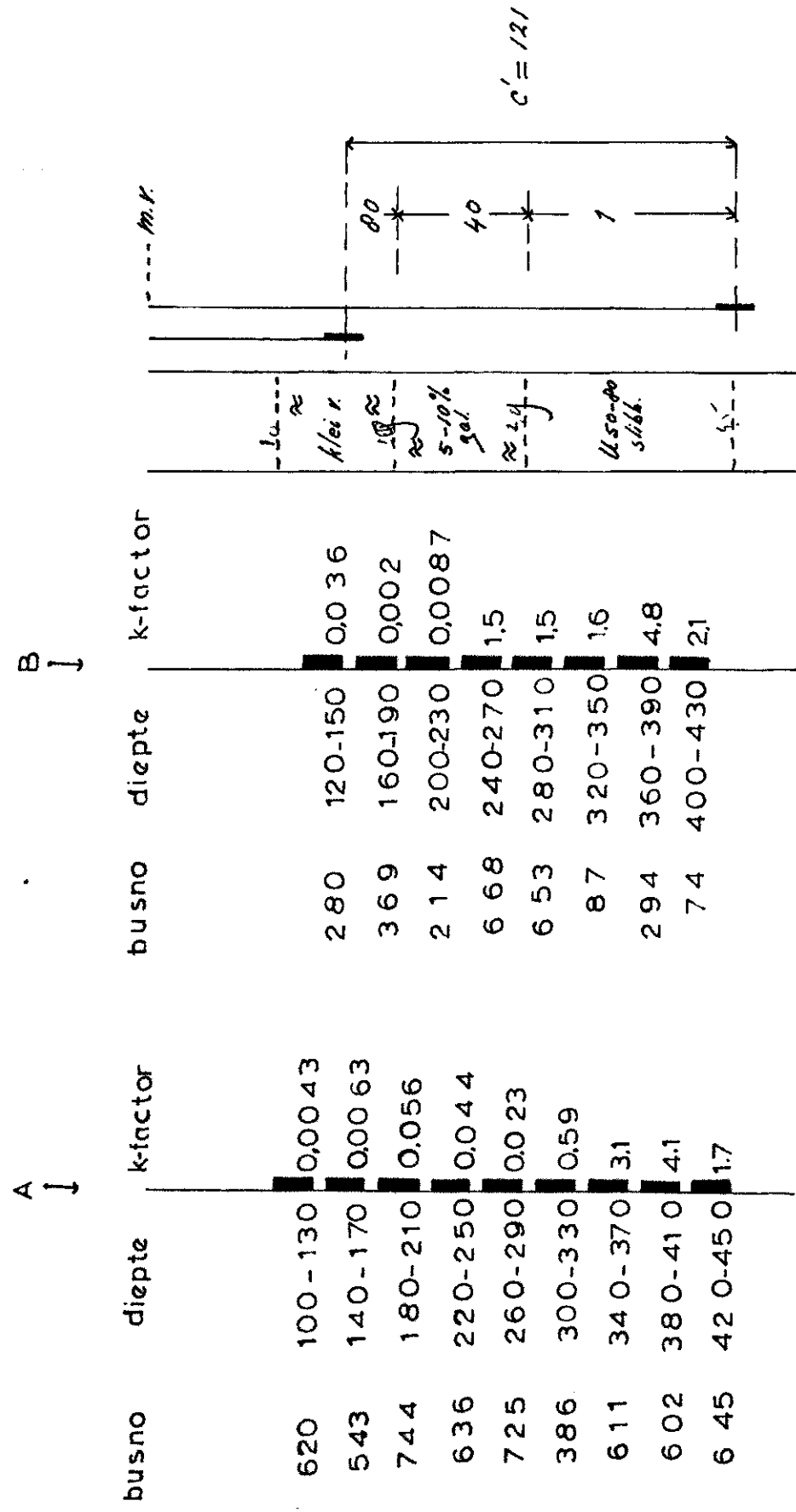
Boring No. 58

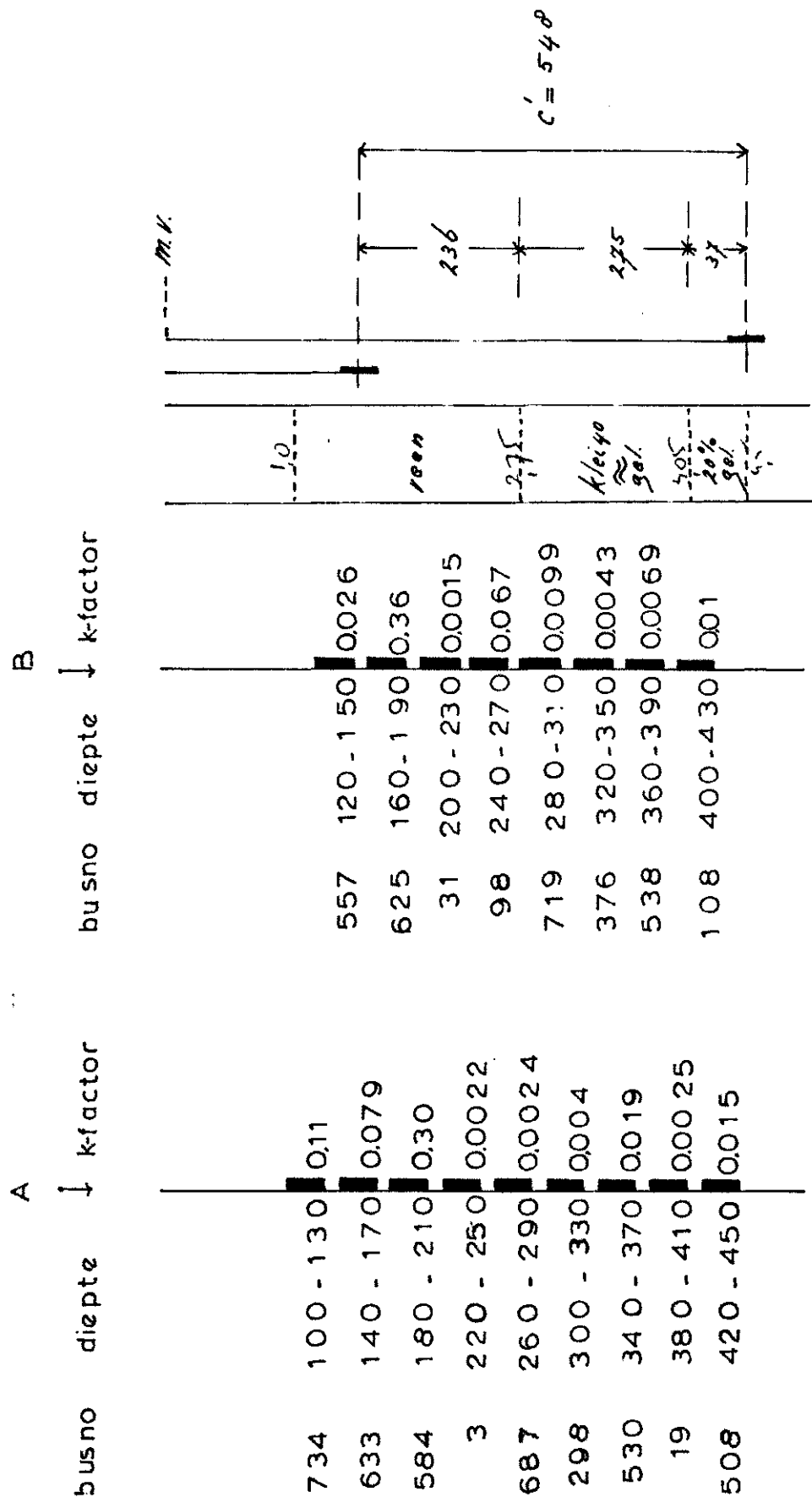


Boring H059

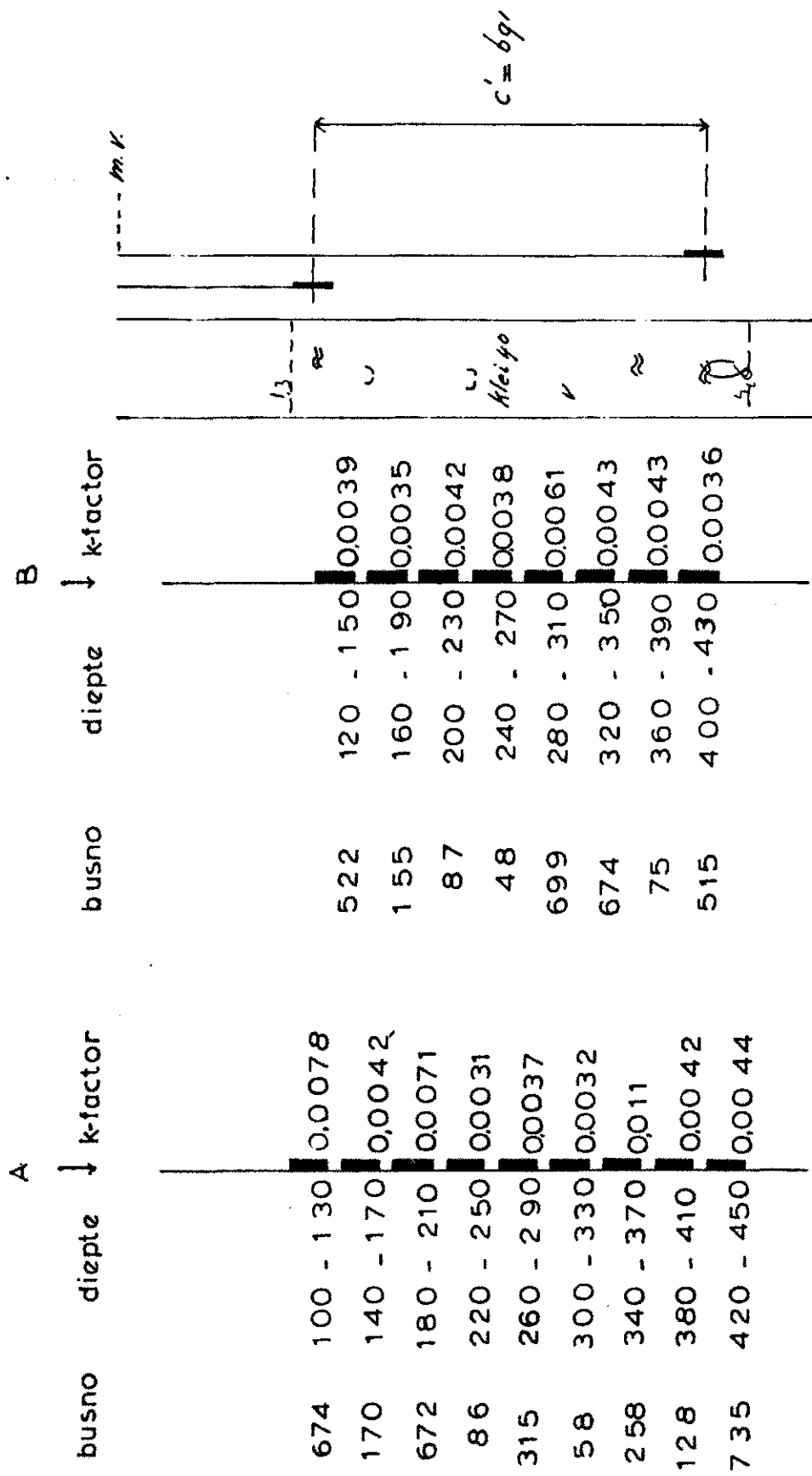


Boring. No 60

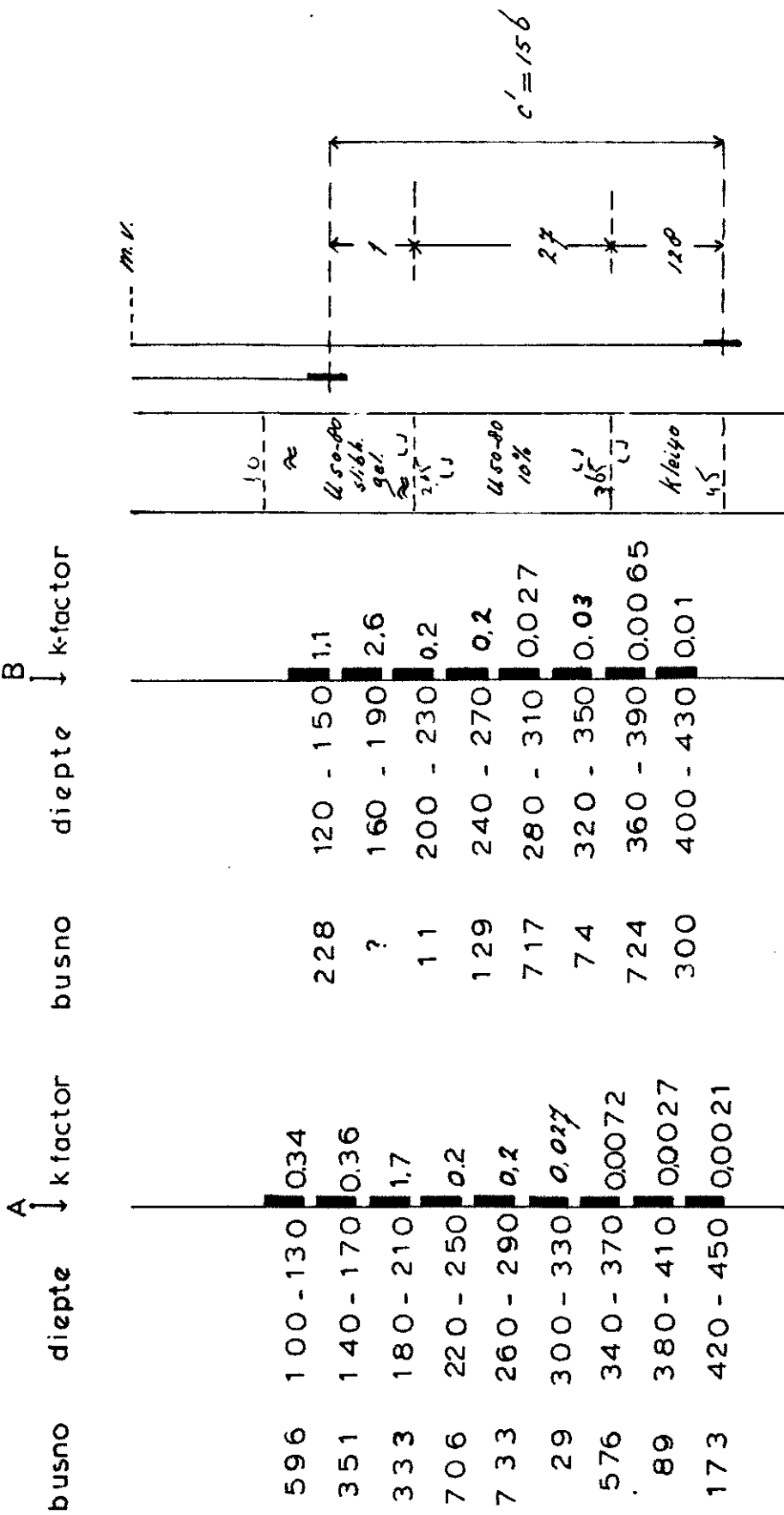




Boring No. 64



Boring No. 65



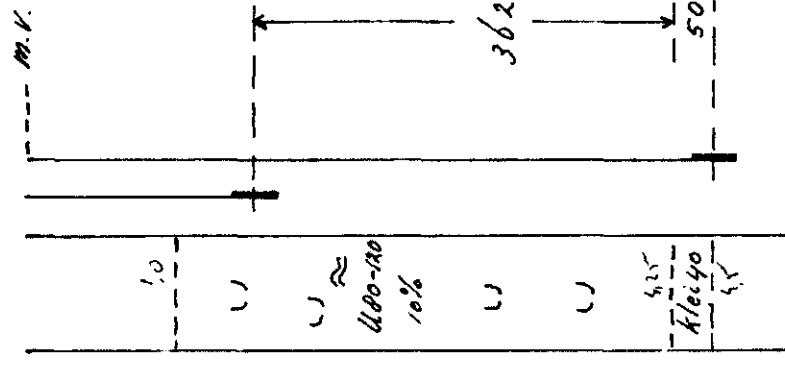
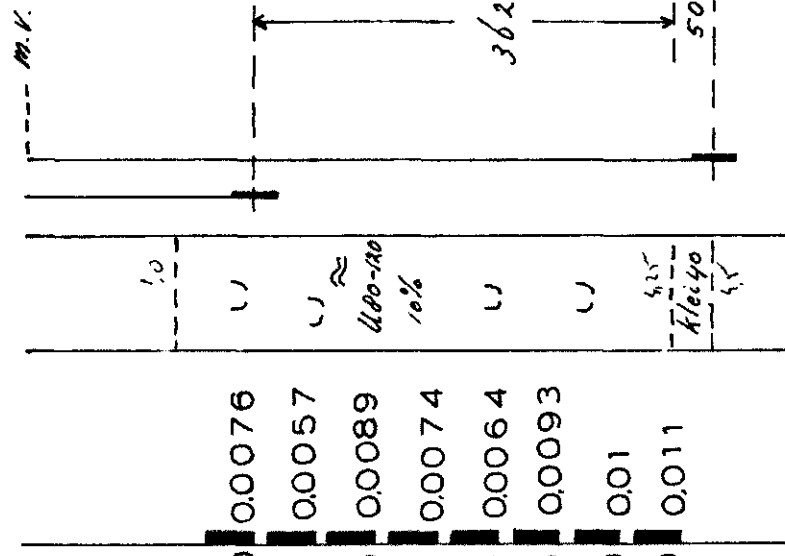
A

busno diepte ↓ kfactor

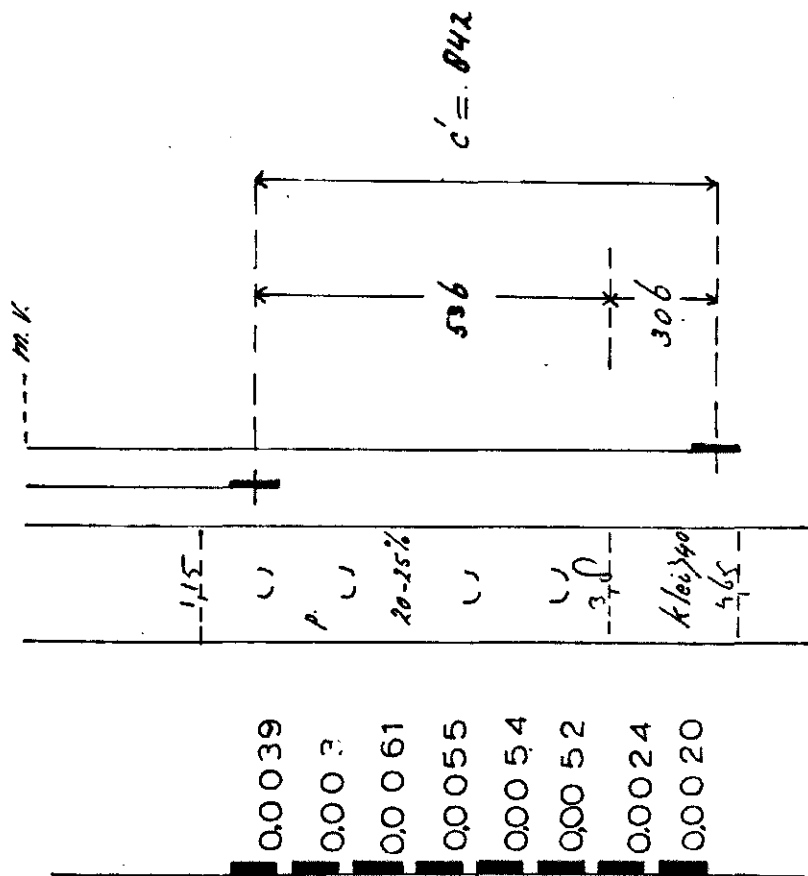
95	100 - 130	0.022	618	120 - 150	0.0076
324	140 - 170	0.0079	528	160 - 190	0.0057
271	180 - 210	0.0062	83	200 - 230	0.0089
90	220 - 250	0.0055	622	240 - 270	0.0074
306	260 - 290	0.012	290	280 - 310	0.0064
51	300 - 330	0.011	83	320 - 350	0.0093
667	340 - 390	0.0067	45	360 - 390	0.01
191	380 - 410	0.0058	533	400 - 430	0.011
30133	420 - 450	0.005			

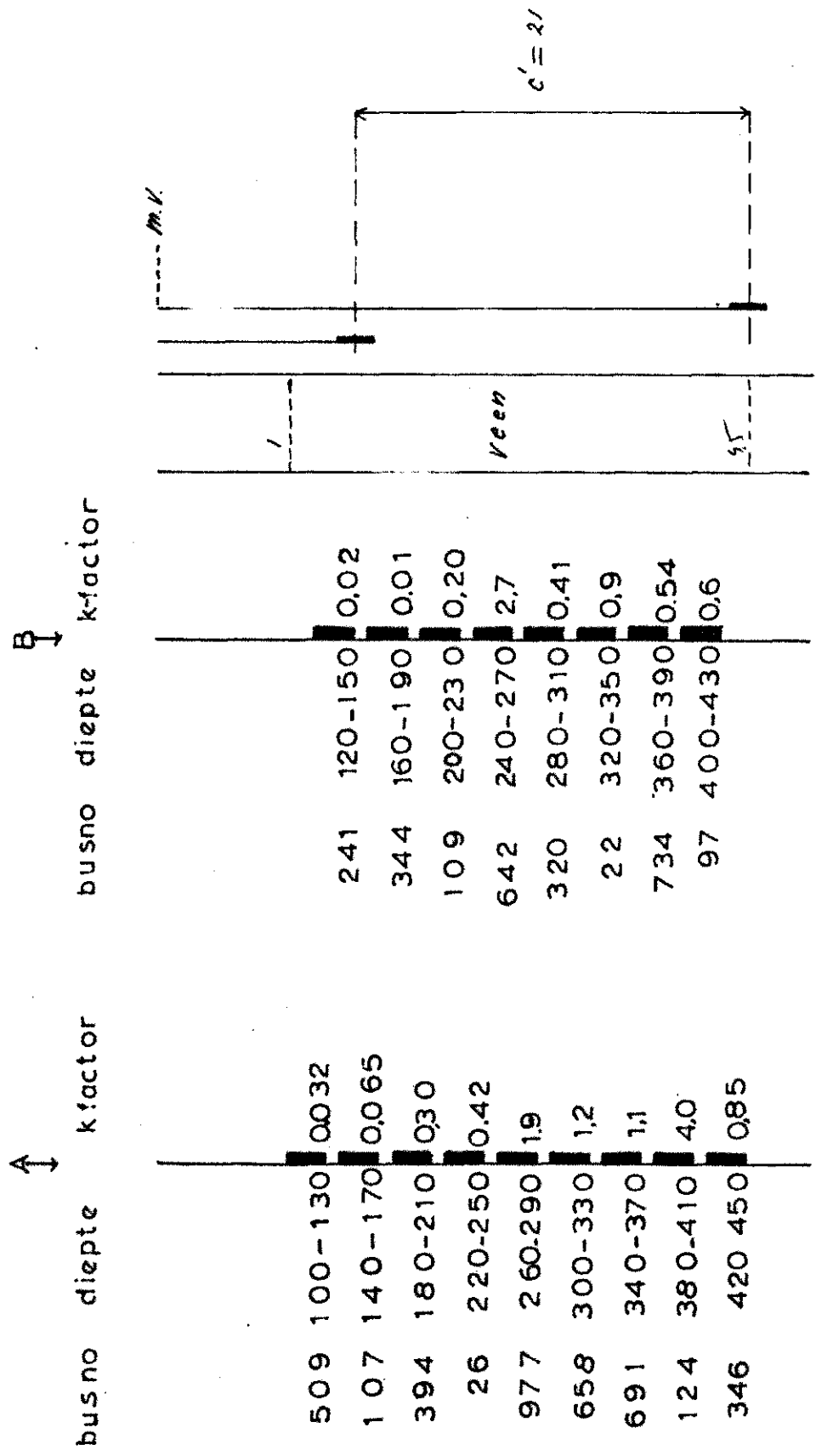
B

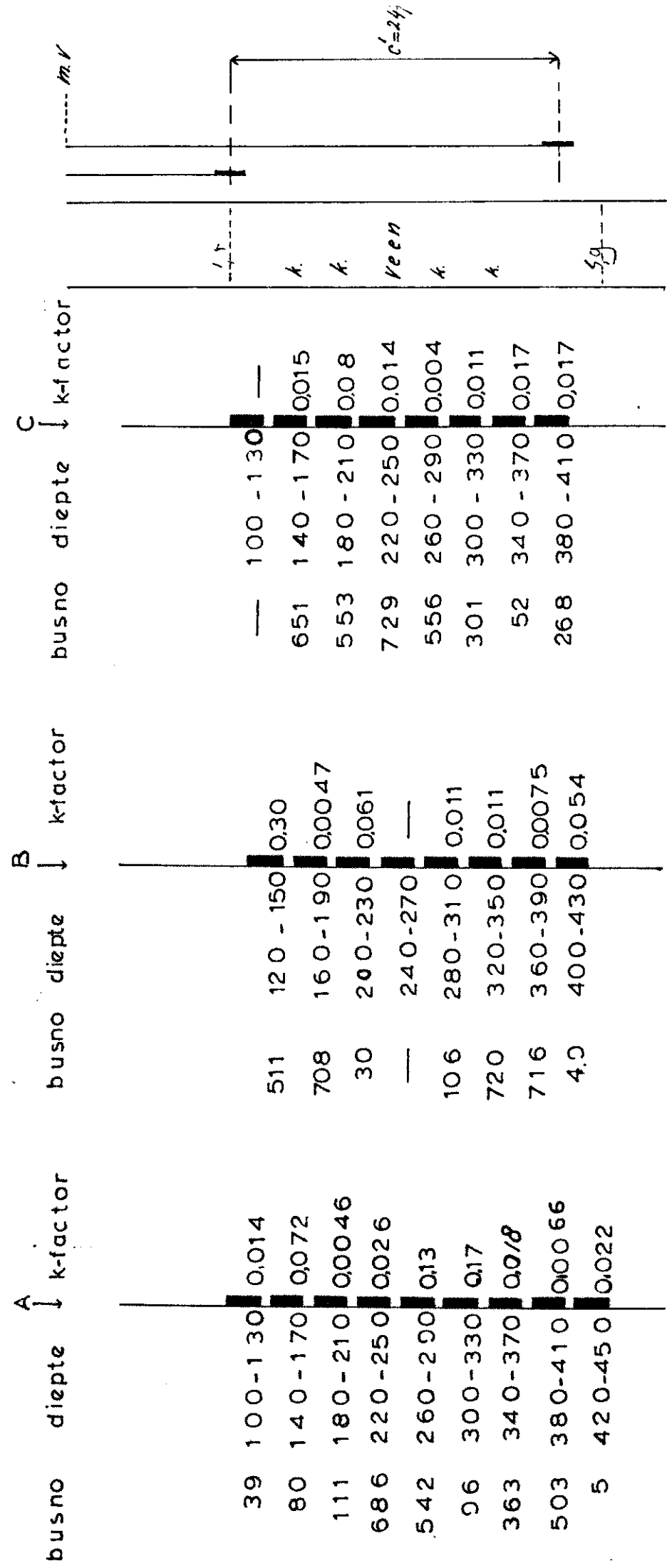
busno diepte ↓ kfactor



busno	diept	k-factor	busno	diept	k-factor
75	100 - 130	000 46	598	120 - 150	0.00 039
222	140 - 170	0.00 31	678	160 - 190	0.00 3
182	180 - 210	000 85	193	200 - 230	0.00 61
88	220 - 250	0.00 61	578	240 - 270	0.00 55
574	260 - 290	0.00 47	217	280 - 310	0.00 54
505	300 - 330	0.00 39	530	320 - 350	0.00 52
544	340 - 370	0.00 24	739	360 - 390	0.00 24
722	380 - 410	0.00 21	113	400 - 430	0.00 20
285	420 - 450	0.00 28			

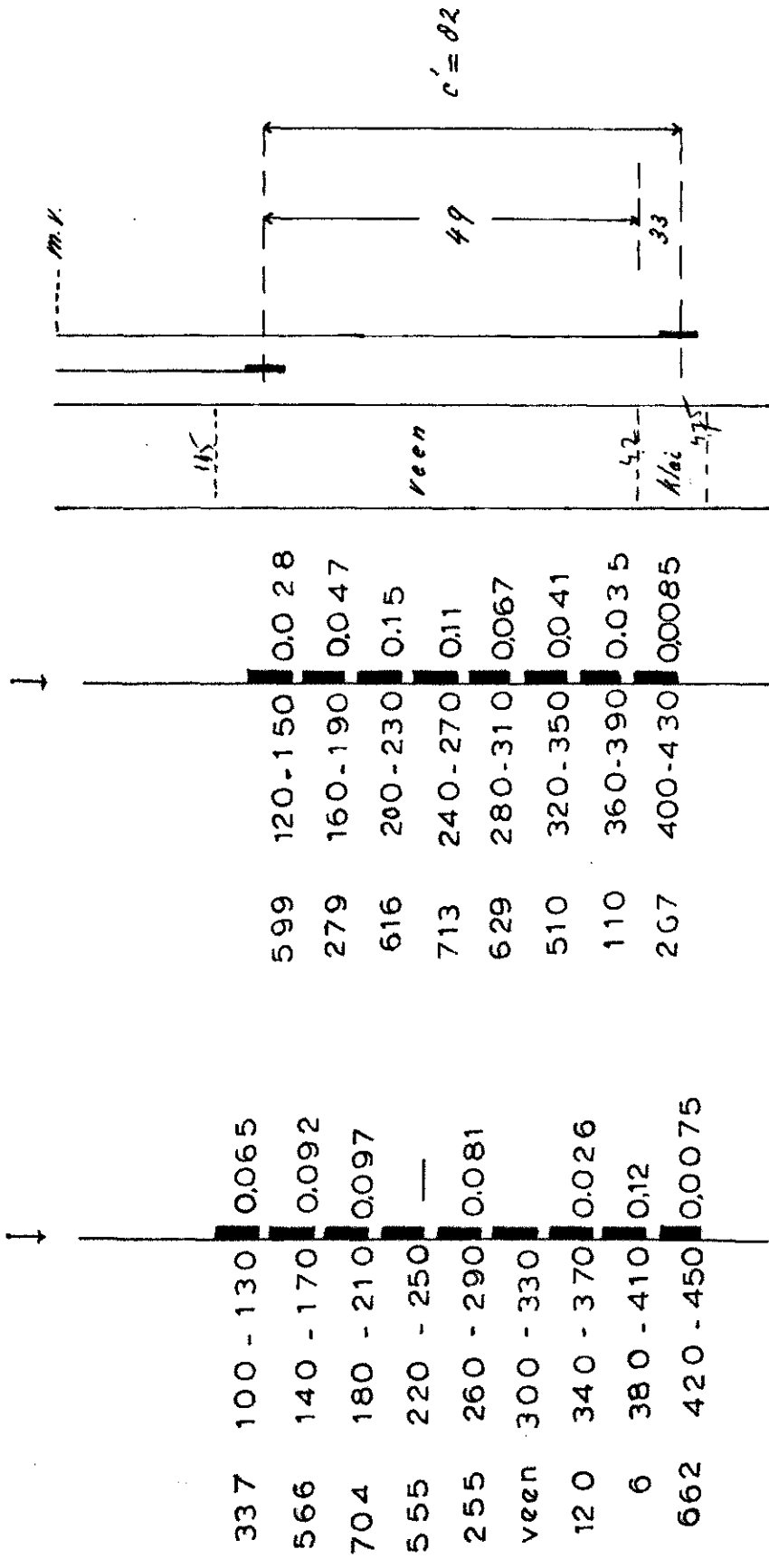




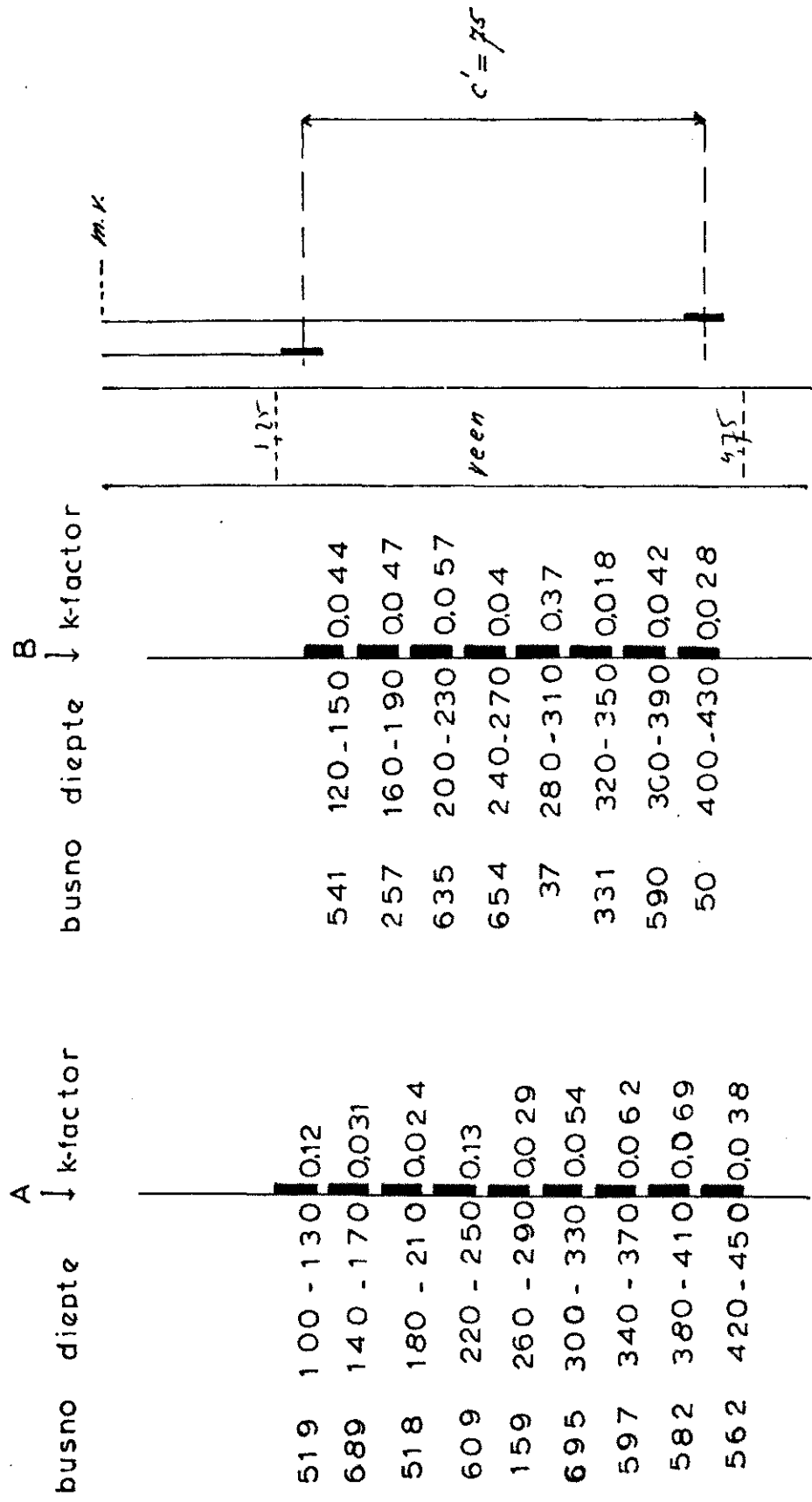


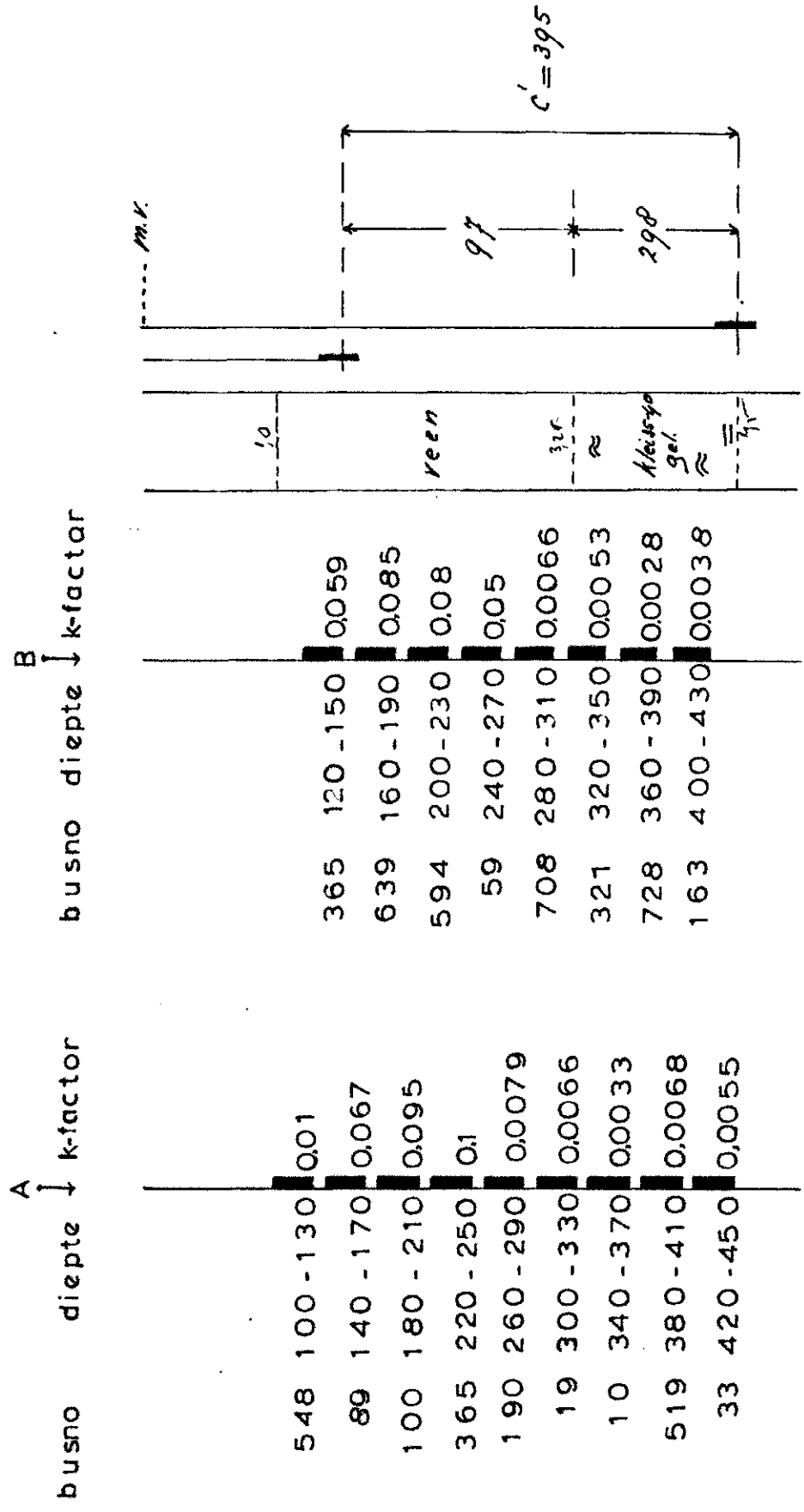
Boring No. 70

busno	diepte	k-factor	busno	diepte	k-factor
337	100 - 130	0,065	599	120 - 150	0,028
566	140 - 170	0,092	279	160 - 190	0,047
704	180 - 210	0,097	616	200 - 230	0,15
555	220 - 250	—	713	240 - 270	0,11
255	260 - 290	0,081	629	280 - 310	0,067
veen	300 - 330	—	510	320 - 350	0,041
120	340 - 370	0,026	110	360 - 390	0,035
6	380 - 410	0,12	267	400 - 430	0,0085
662	420 - 450	0,0075			

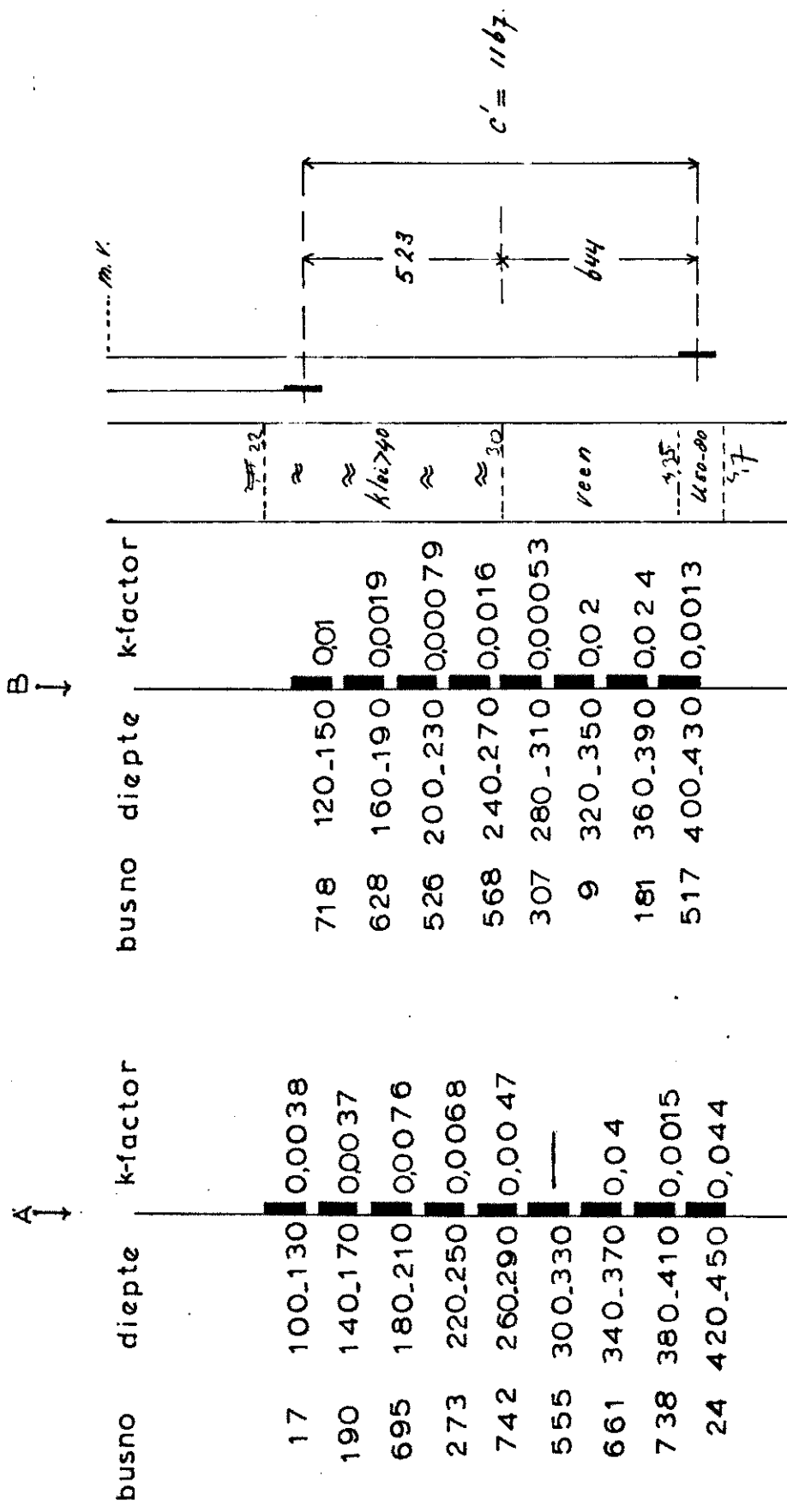


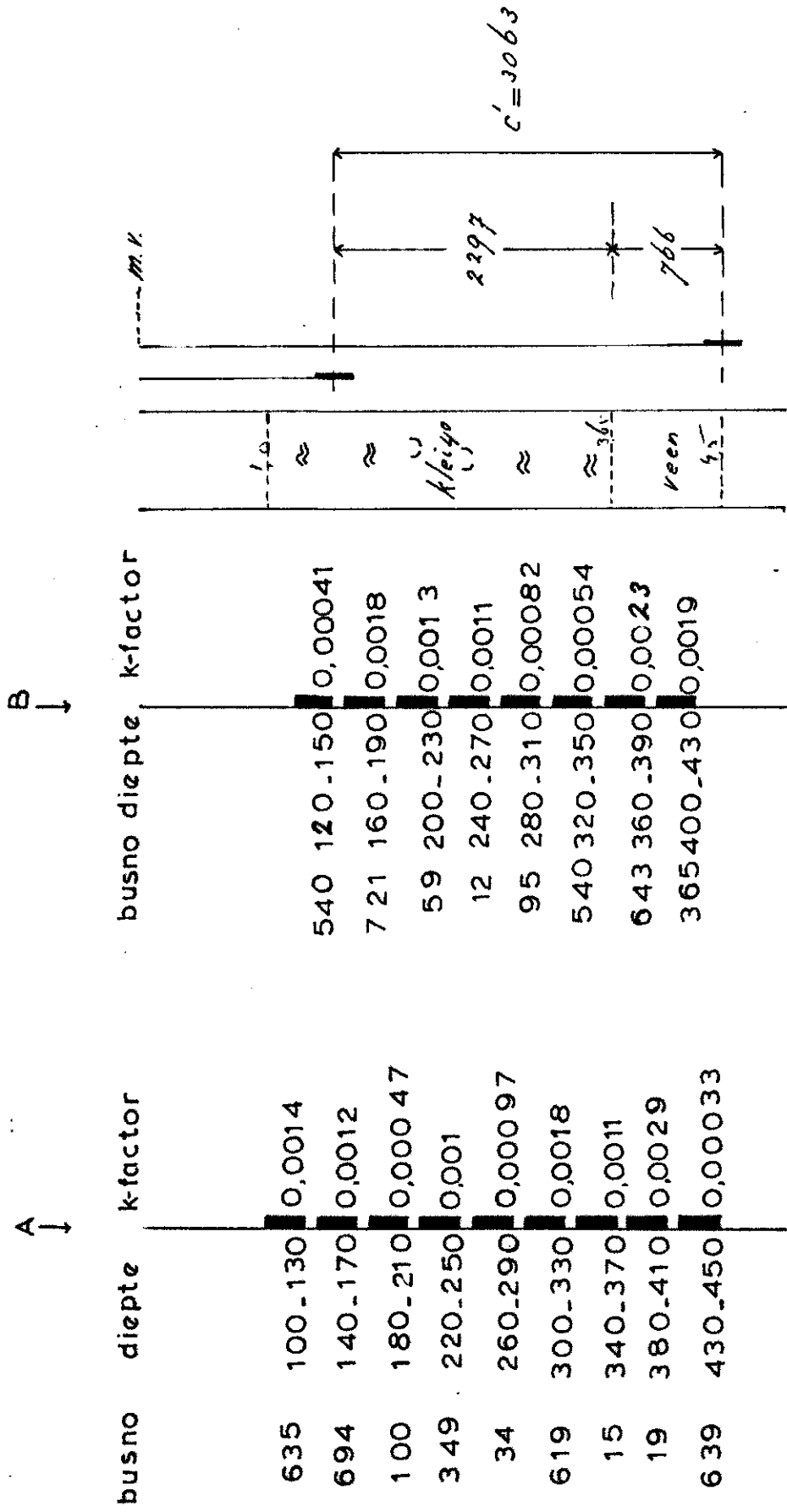
Boring H.O.71

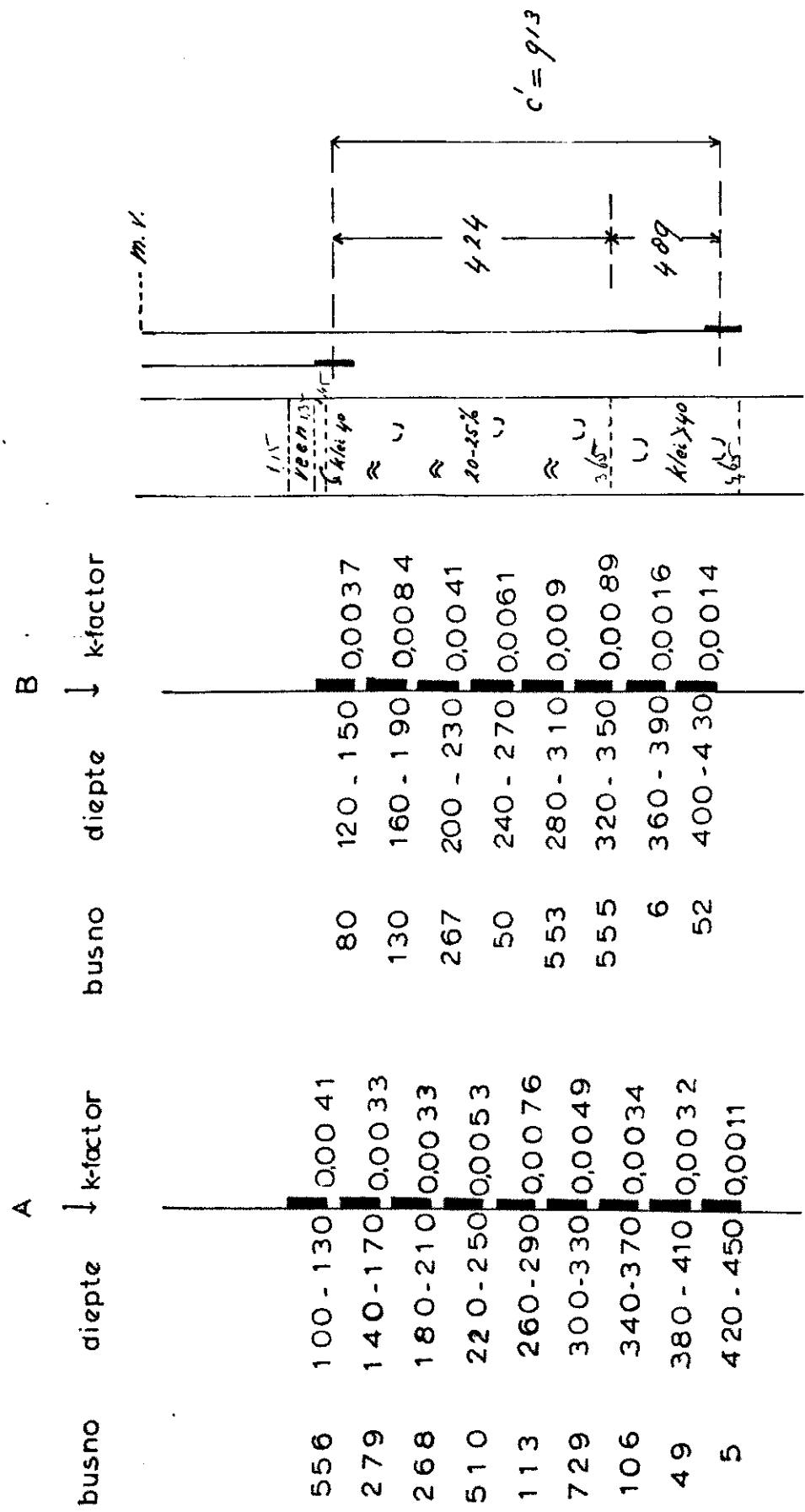




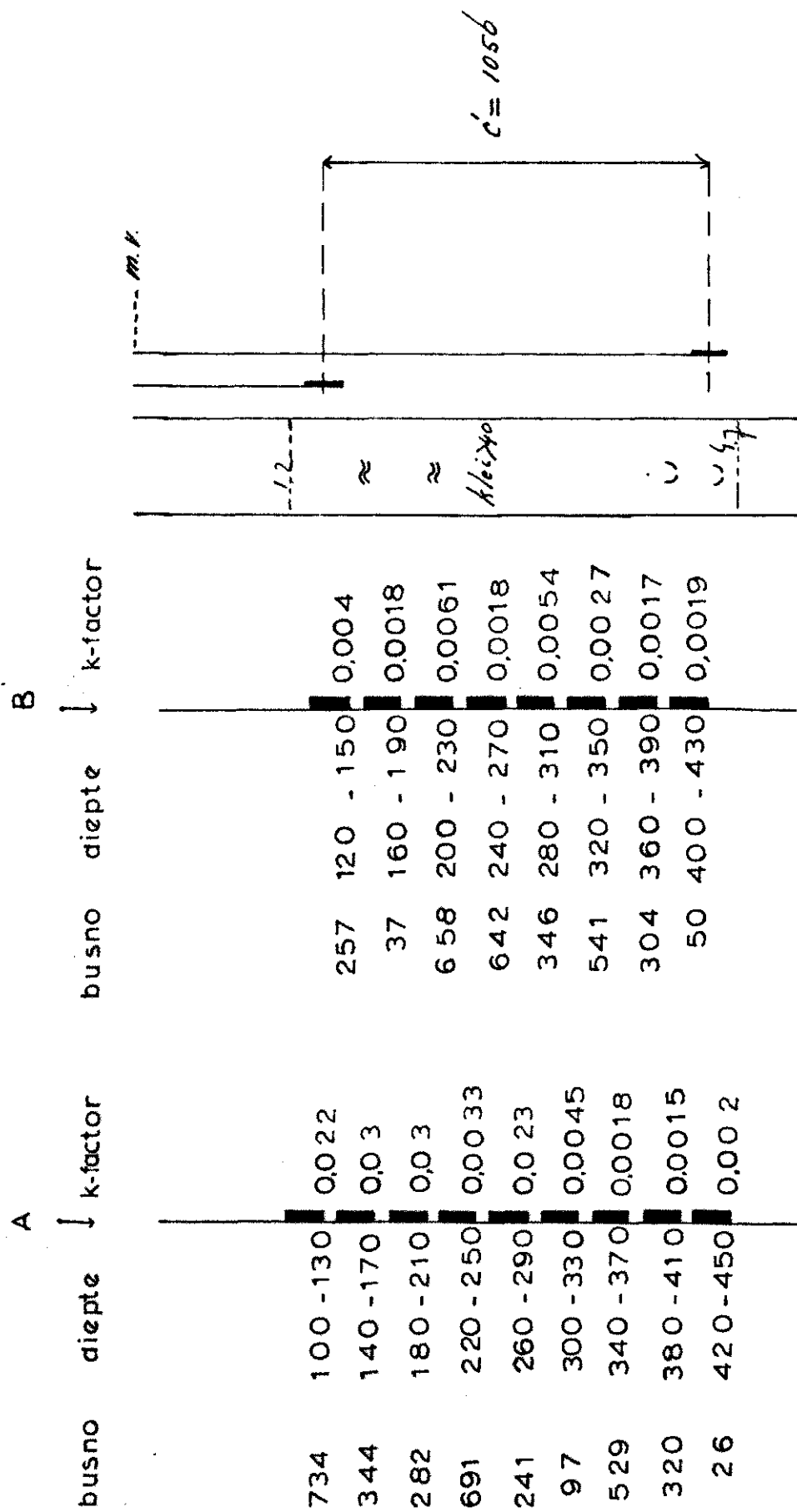
Boring No 73

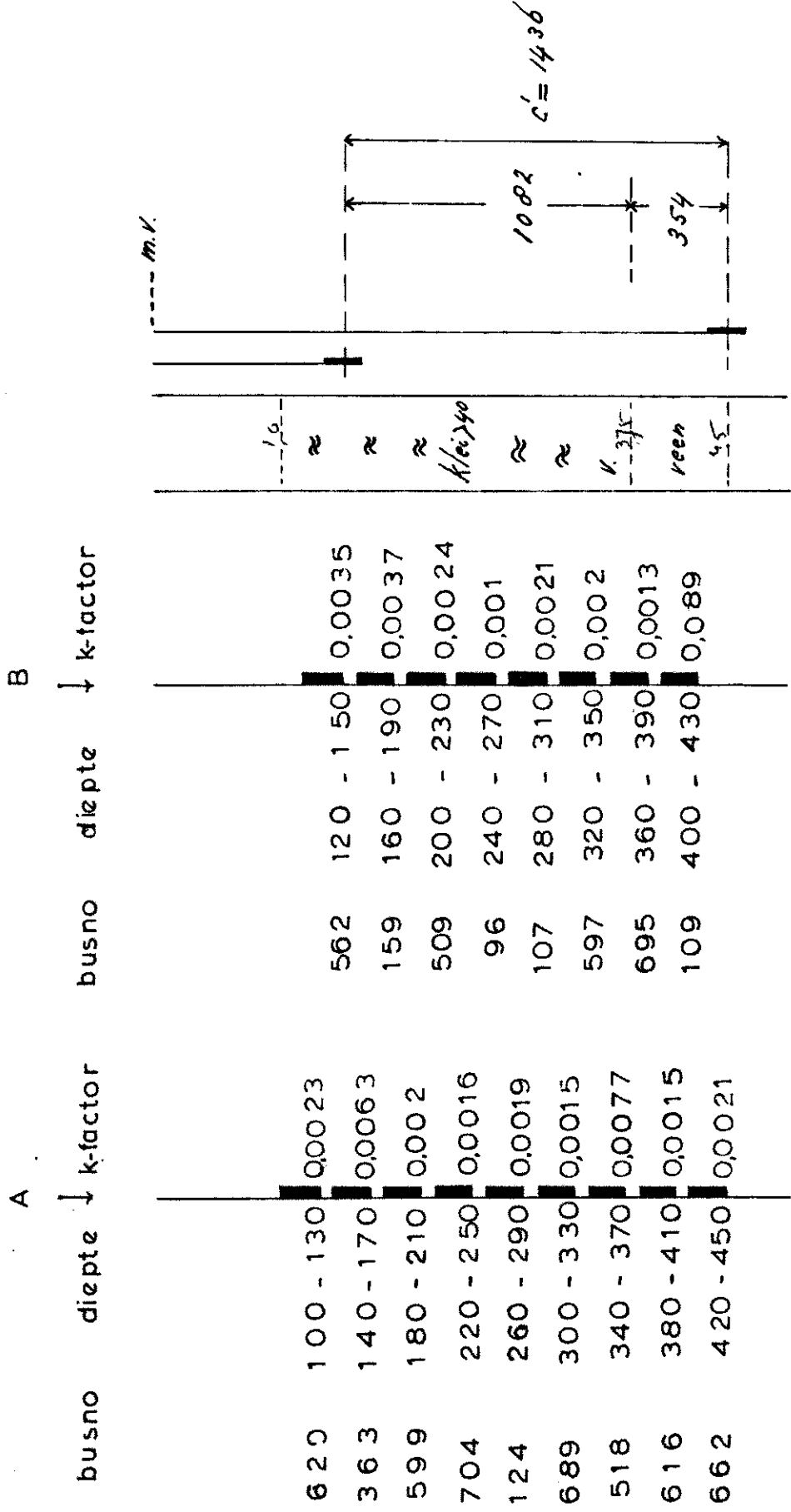




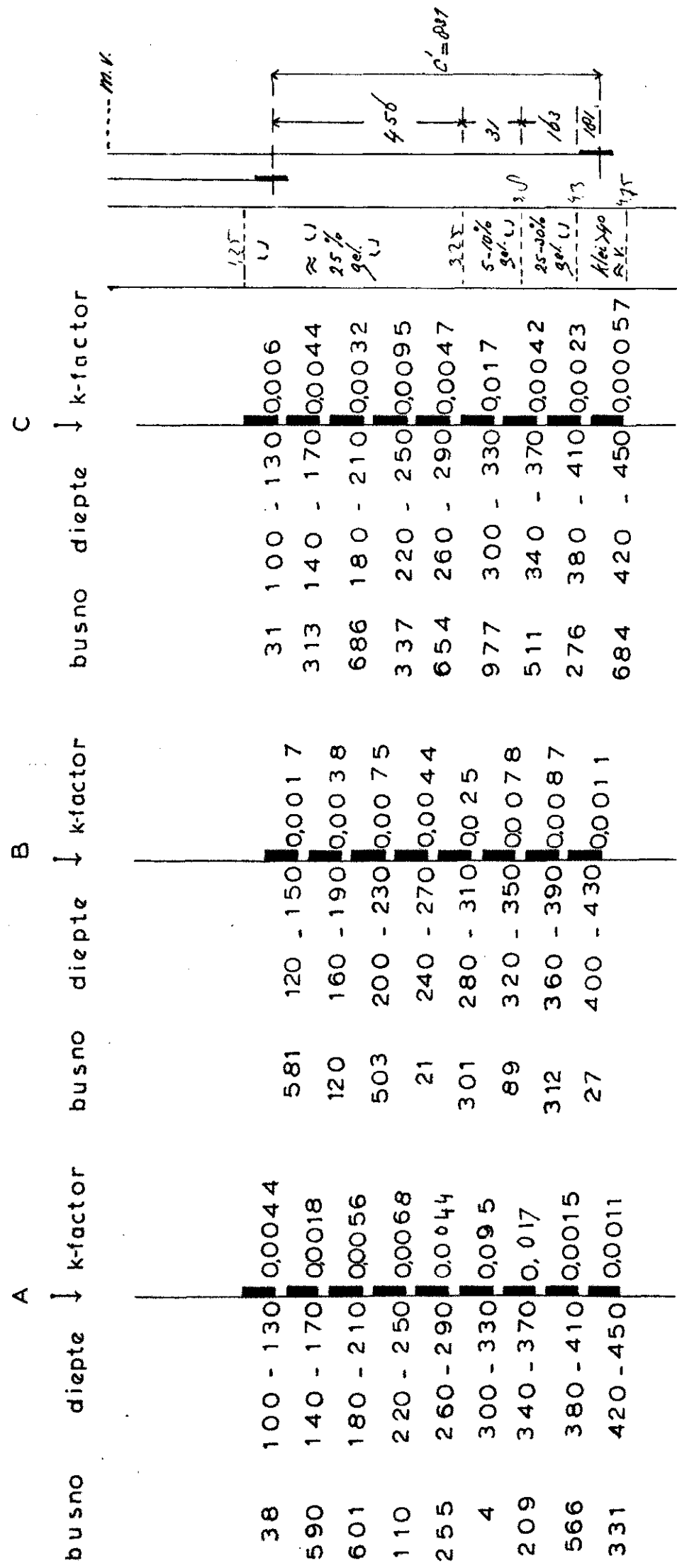


Boring No. 76

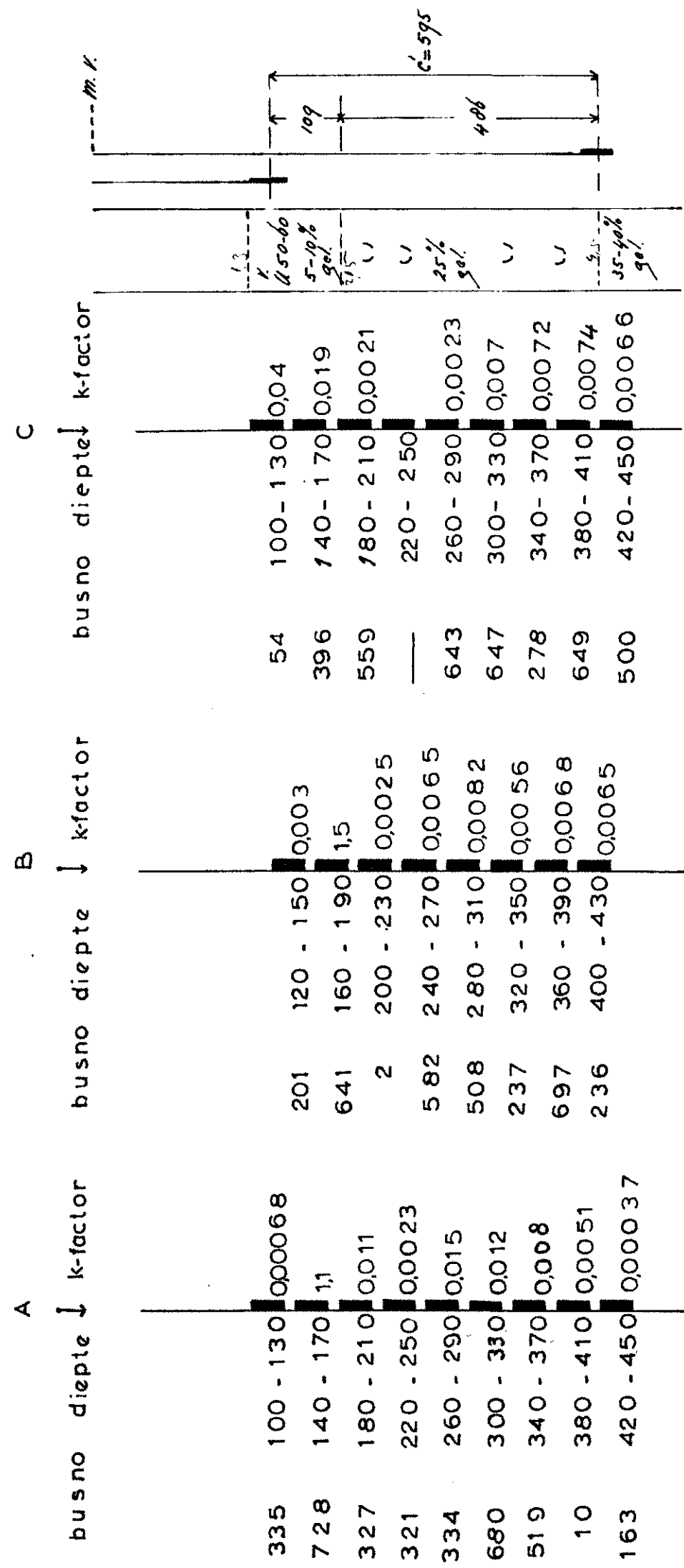




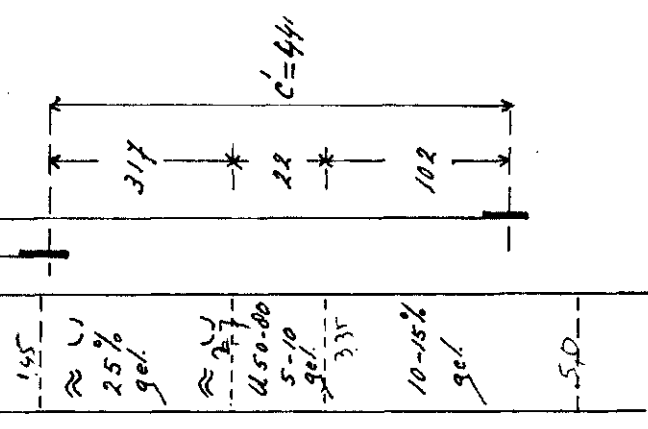
Boring no 78



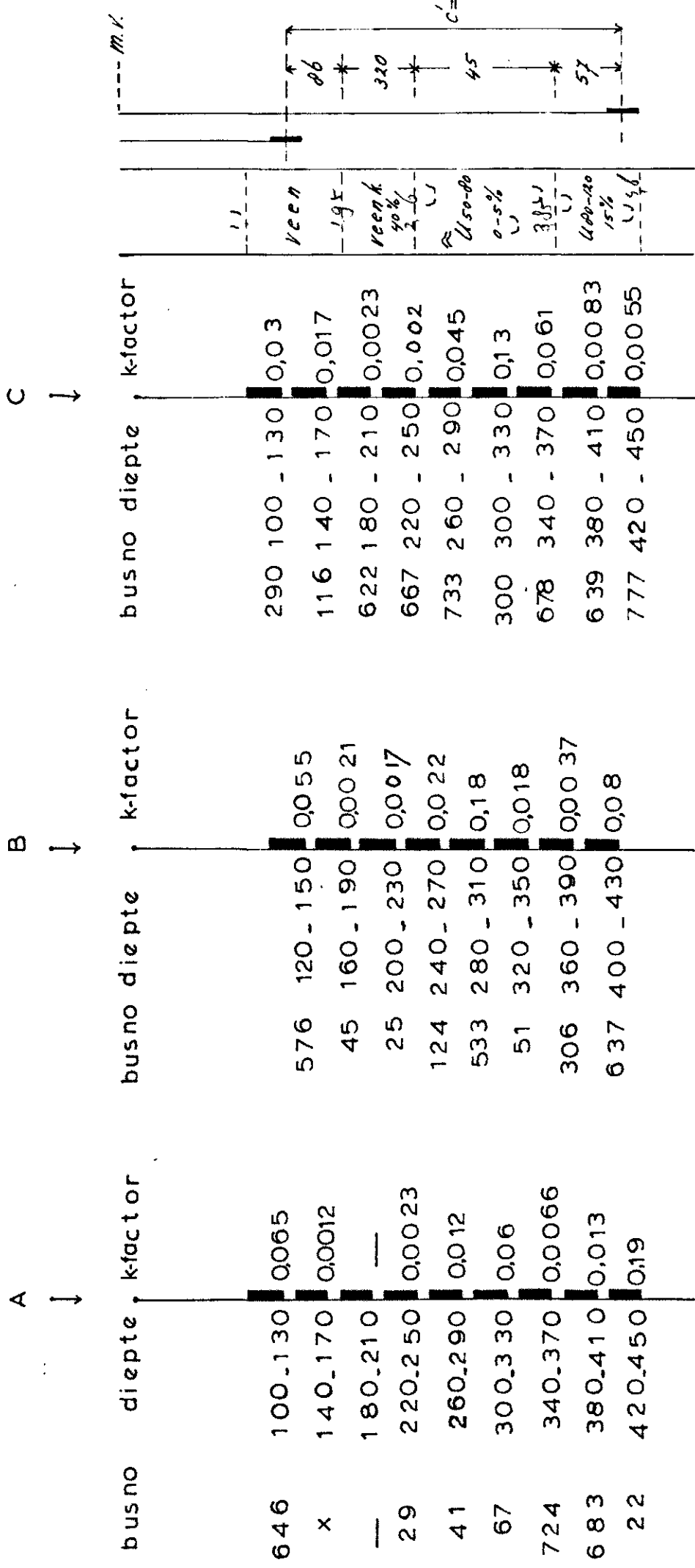
Boring no 79



	busno	diepte	↓ k-factor	busno	diepte	↓ k-factor	busno	diepte	↓ k-factor
A	219	100 - 130	0,00055	698	120 - 150	0,0034	610	100 - 130	0,0072
B	88	140 - 170	0,012	739	160 - 190	0,0027	615	140 - 170	0,0013
C	193	180 - 210	0,0041	178	200 - 230	0,0034	623	180 - 210	0,011
	578	220 - 250	0,00054	372	240 - 270	0,077	730	220 - 250	0,088
	222	260 - 290	0,0059	75	280 - 310	0,0099	573	260 - 290	0,025
	595	300 - 330	0,0096	—	320 - 350	—	682	300 - 330	0,021
	47	340 - 370	0,016	247	360 - 390	0,014	631	340 - 370	0,011
	611	380 - 410	—	153	400 - 430	0,011	80	380 - 410	0,0082
	52	420 - 450	0,0014	—	420 - 450	—	—	—	5,0



No 81

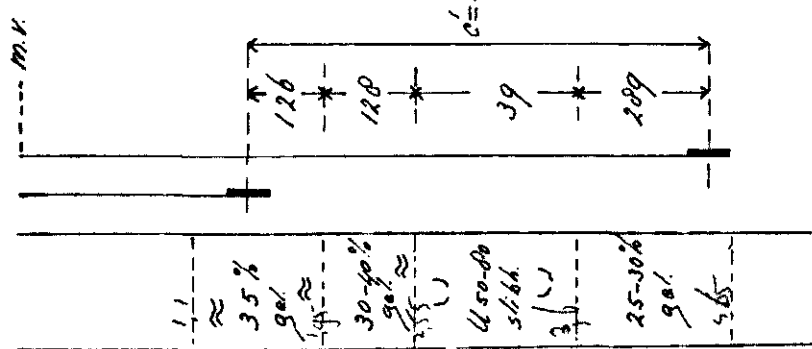


C ↓

B ↓

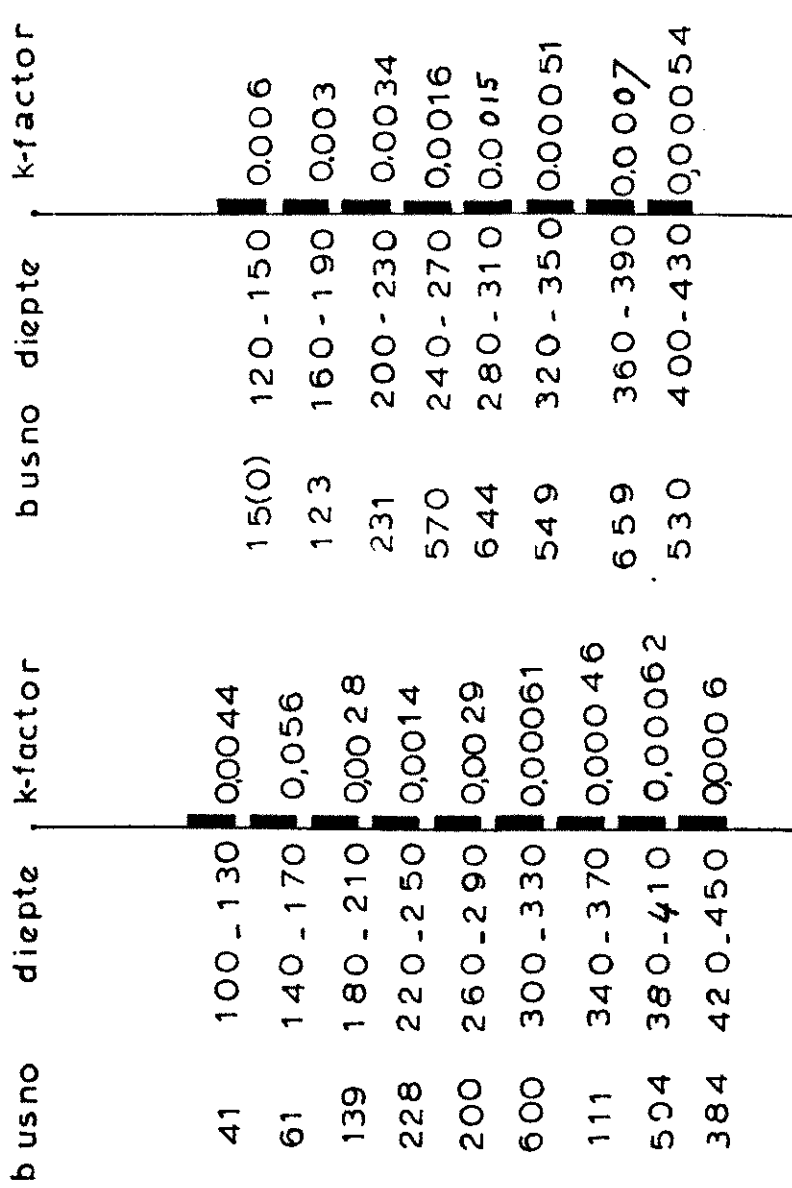
↑ A

busno	diepte	k-factor	busno	diepte	k-factor	busno	diepte	k-factor
75	100 - 130	0,0055	370	120 - 150	0,0026	164	100 - 130	0,0031
672	140 - 170	0,0014	3	160 - 190	0,0038	93	140 - 170	0,012
515	180 - 210	0,0025	279	200 - 230	0,0054	74	180 - 210	0,0078
366	220 - 250	0,0083	58	240 - 270	0,005	239	220 - 250	0,0036
170	260 - 290	0,13	666	280 - 310	0,0065	94	260 - 290	0,25
735	300 - 330	0,028	14	320 - 350	0,017	100	300 - 330	0,033
528	340 - 370	0,0026	688	360 - 390	0,0028	674	340 - 370	0,0018
—	380 - 410	0,00087	711	400 - 430	0,007	606	380 - 410	0,0055
18	420 - 450	0,0087	—	—	—	287	420 - 450	0,0013

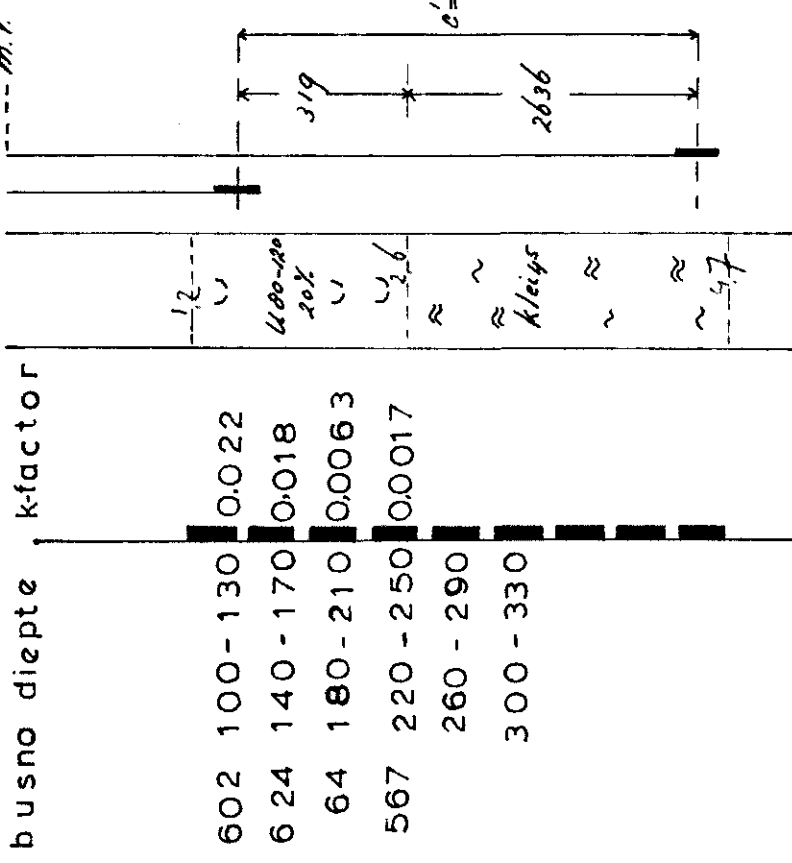


Boring H.O.83

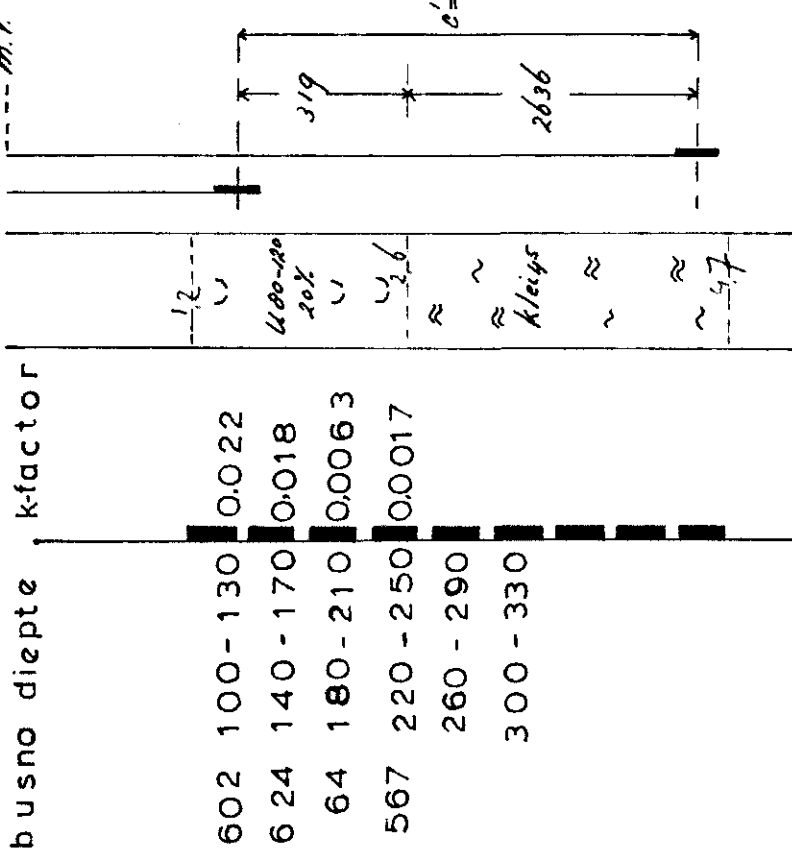
A
↓



B
↓



C
↓



Boring No.84

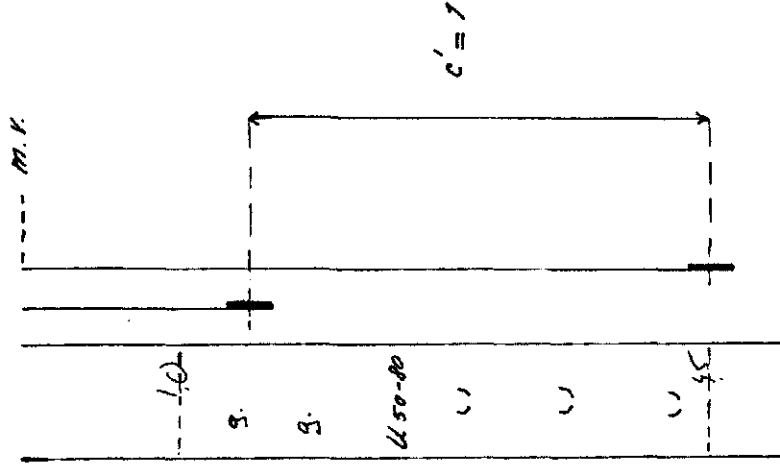
A



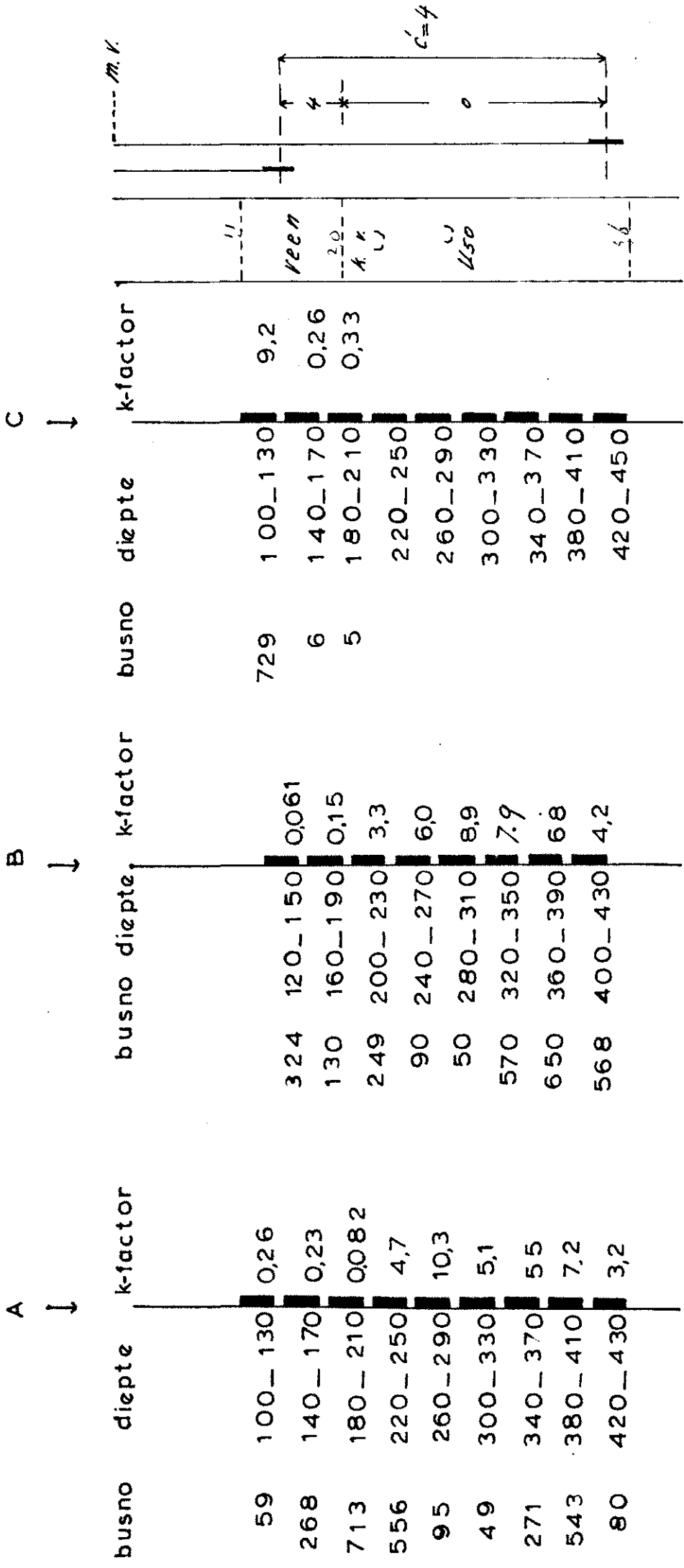
B



busno	diepte	k-factor	busno	diepte	k-factor
533	100 - 130	0,07	106	120 - 150	0,02
174	140 - 170	2,4	89	160 - 190	3,2
83	180 - 210	4,9	129	200 - 230	6,8
87	220 - 250	0,42	152	240 - 270	4,9
674	260 - 290	4,7	555	280 - 310	4,8
186	300 - 330	5,5	596	320 - 350	7,3
128	340 - 370	3,5	155	360 - 390	5,0
258	380 - 410	9,6	52	400 - 450	4,4
315	420 - 450	2,7			



Boring H.0.85

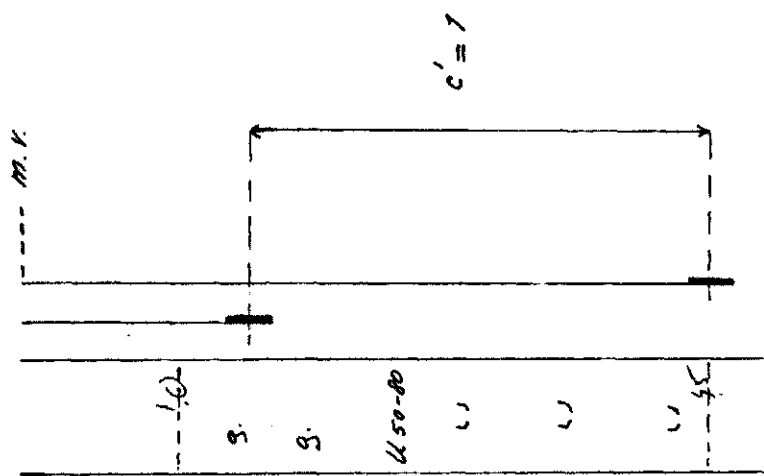


Boring No.84

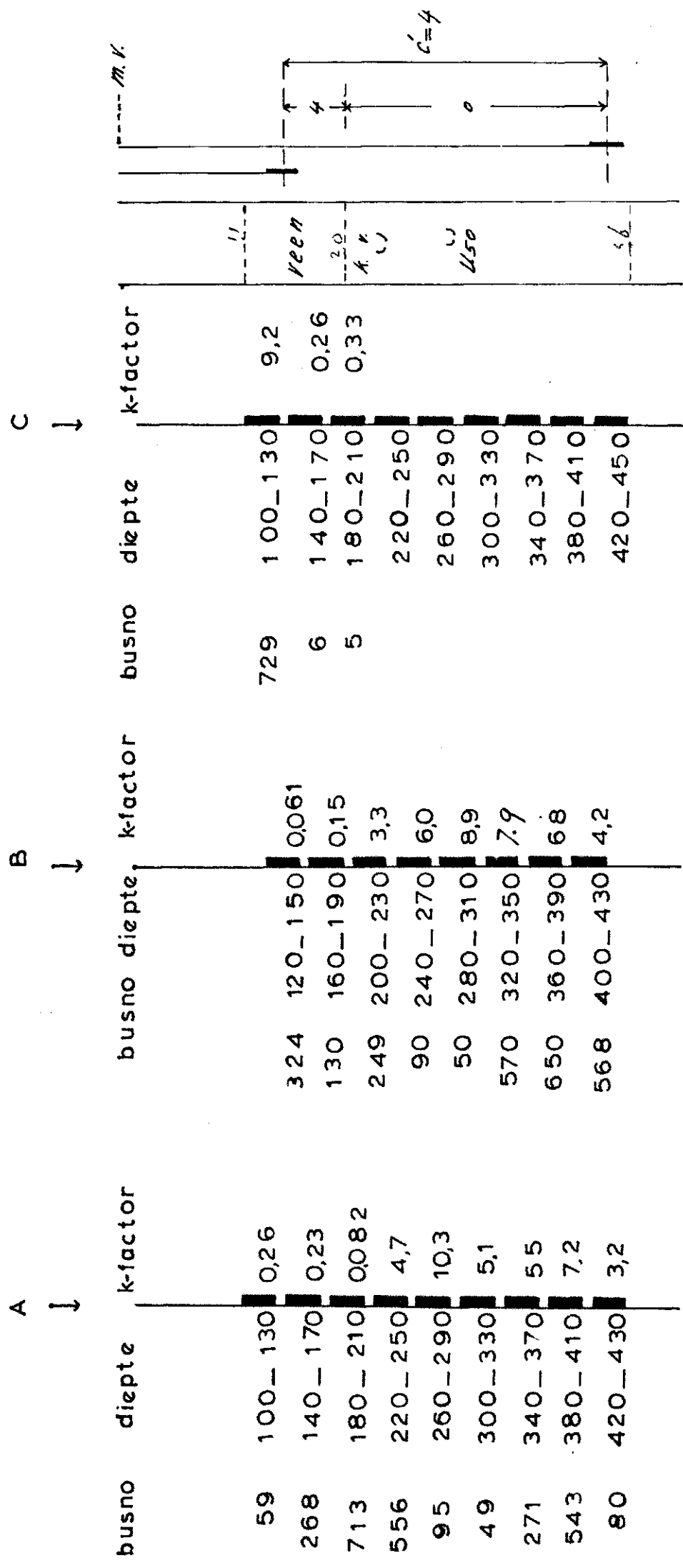
A ↓

B ↓

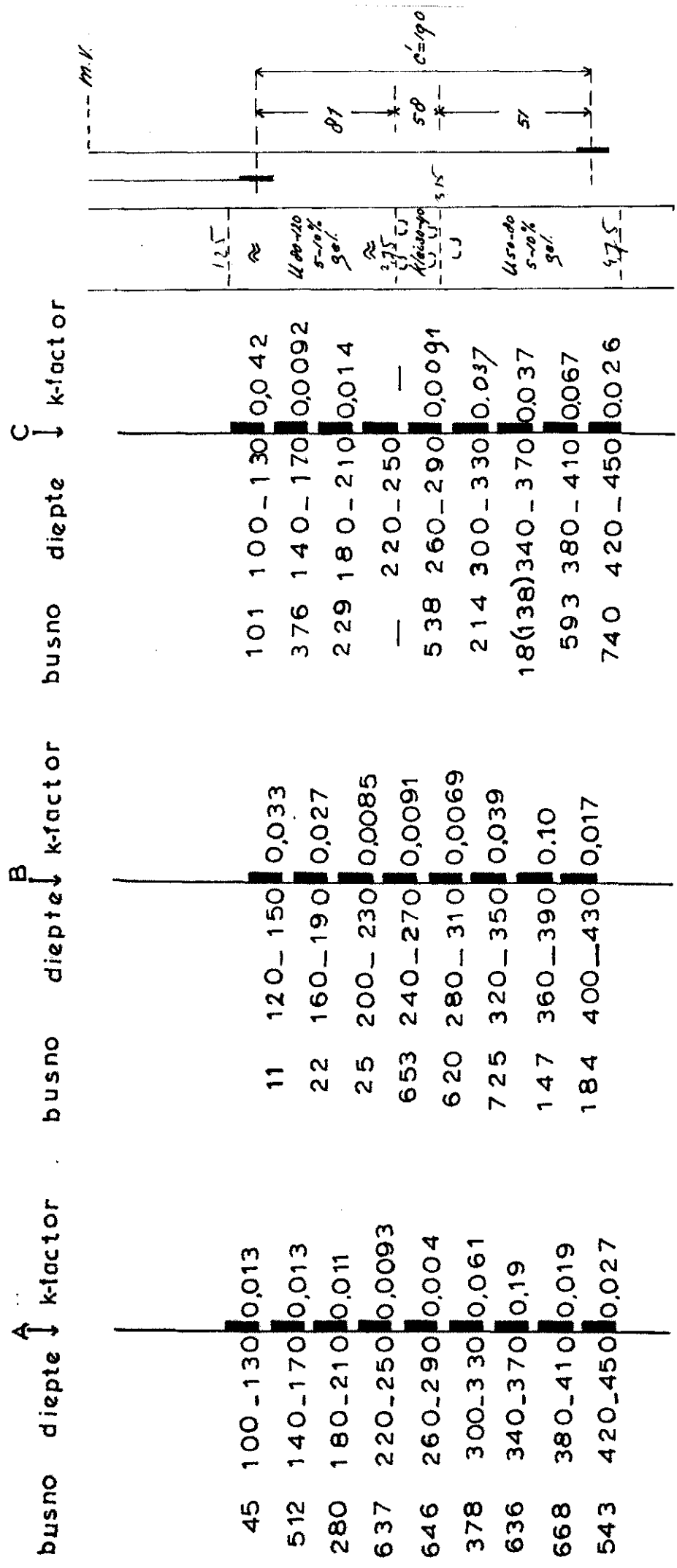
busno	diept ϵ	k-factor	busno	diept ϵ	k-factor	busno	diept ϵ	k-factor
533	100 - 130	0.07	106	120 - 150	0.02	162	3.	
174	140 - 170	2.4	89	160 - 190	3.2	162	3.	
83	180 - 210	4.9	129	200 - 230	6.8	150 - 180		
87	220 - 250	0.42	152	240 - 270	4.9	152		
674	260 - 290	4.7	555	280 - 310	4.8	152		
186	300 - 330	5.5	596	320 - 350	7.3	155		
128	340 - 370	3.5	155	360 - 390	5.0	155		
258	380 - 410	9.6	52	400 - 450	4.4	155		
315	420 - 450	2.7				155		

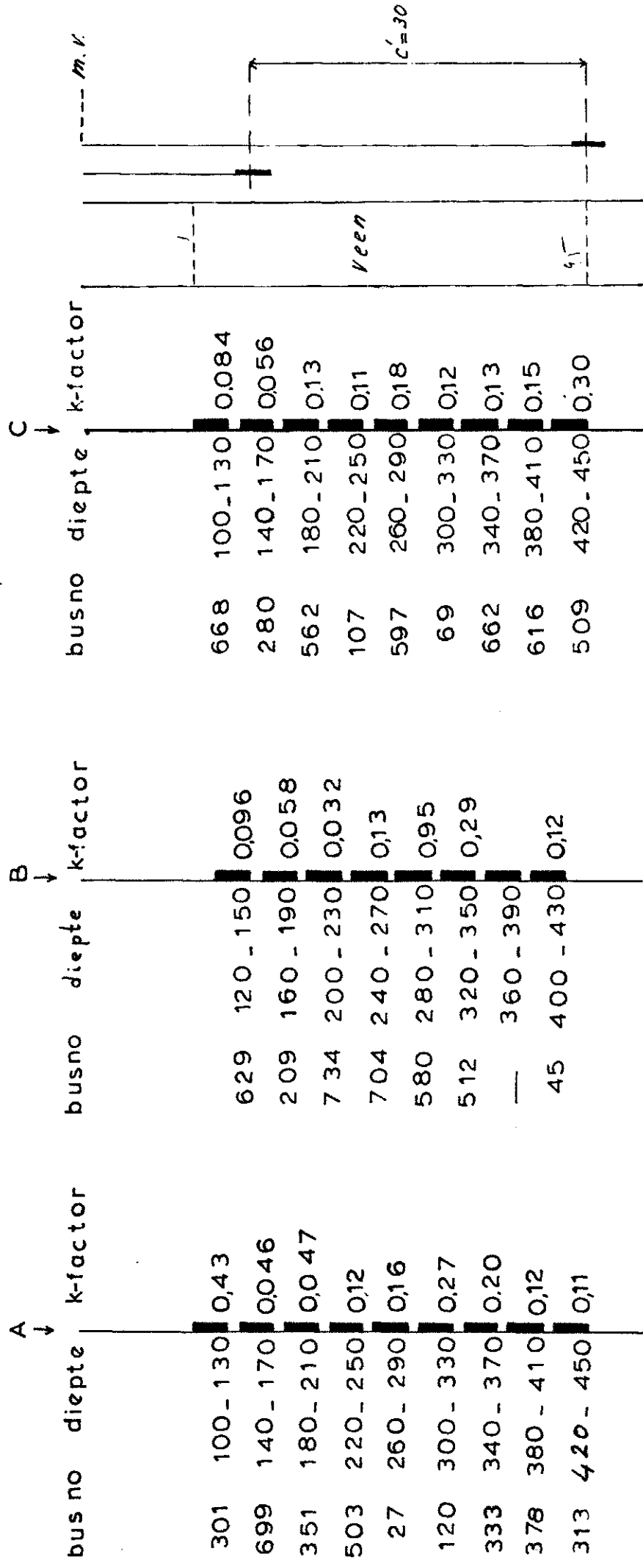


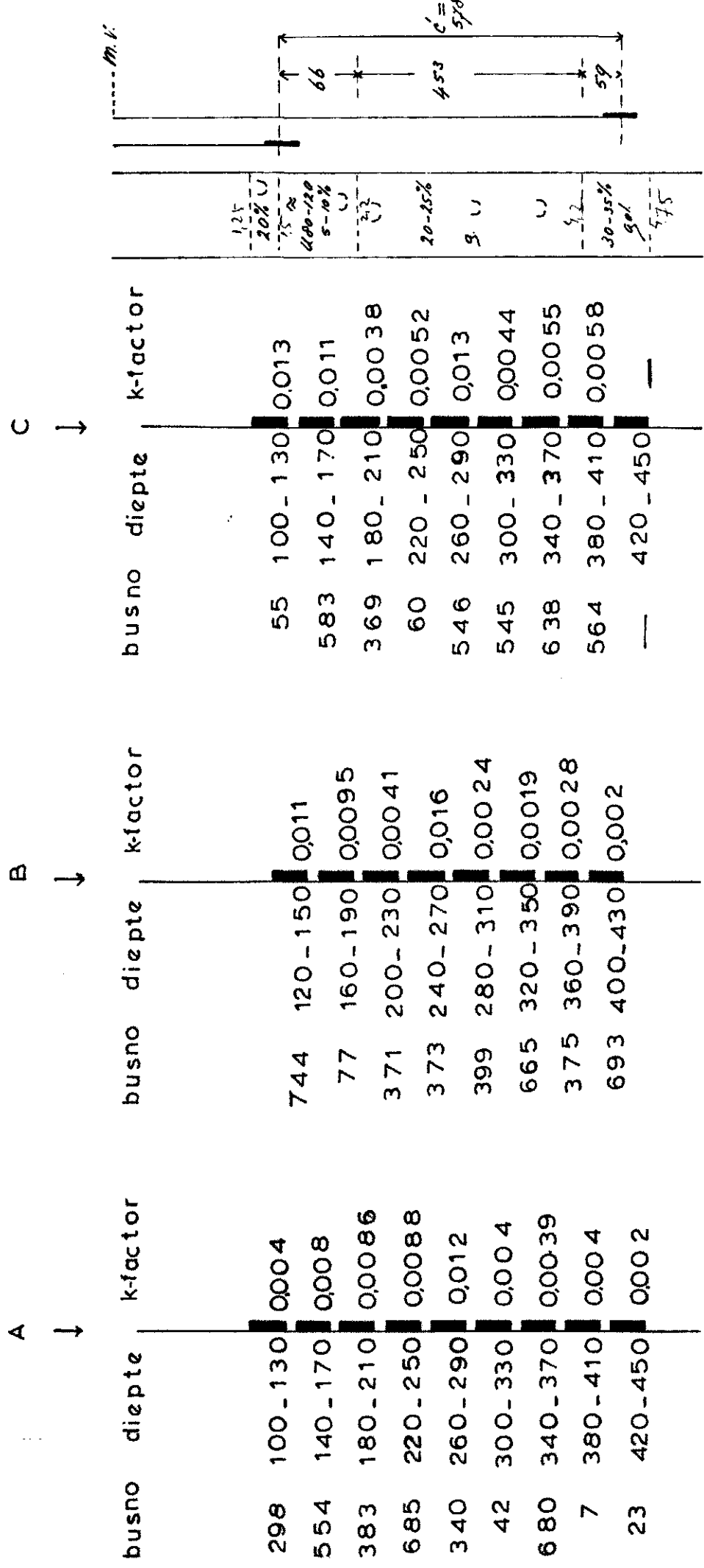
Boring h0.85



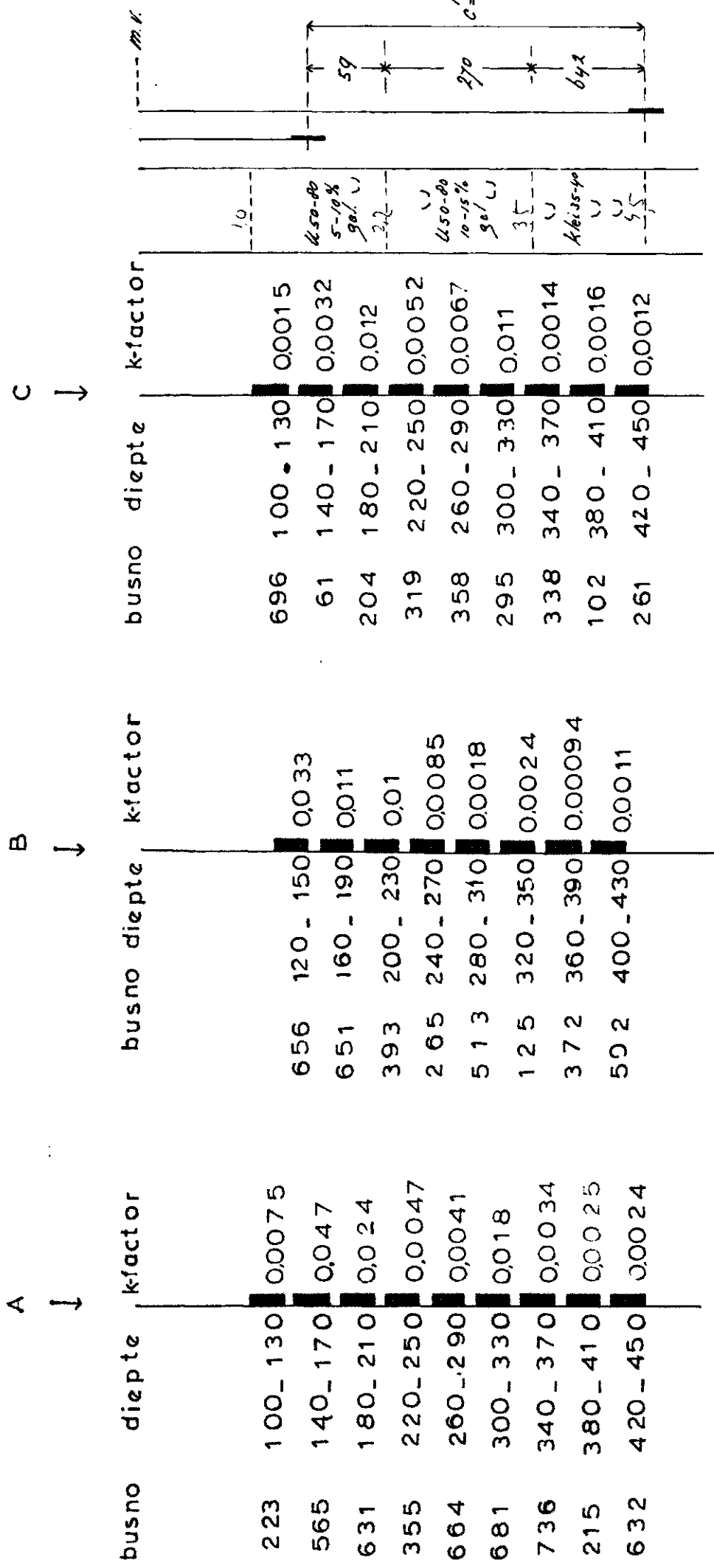
Boring Ho86



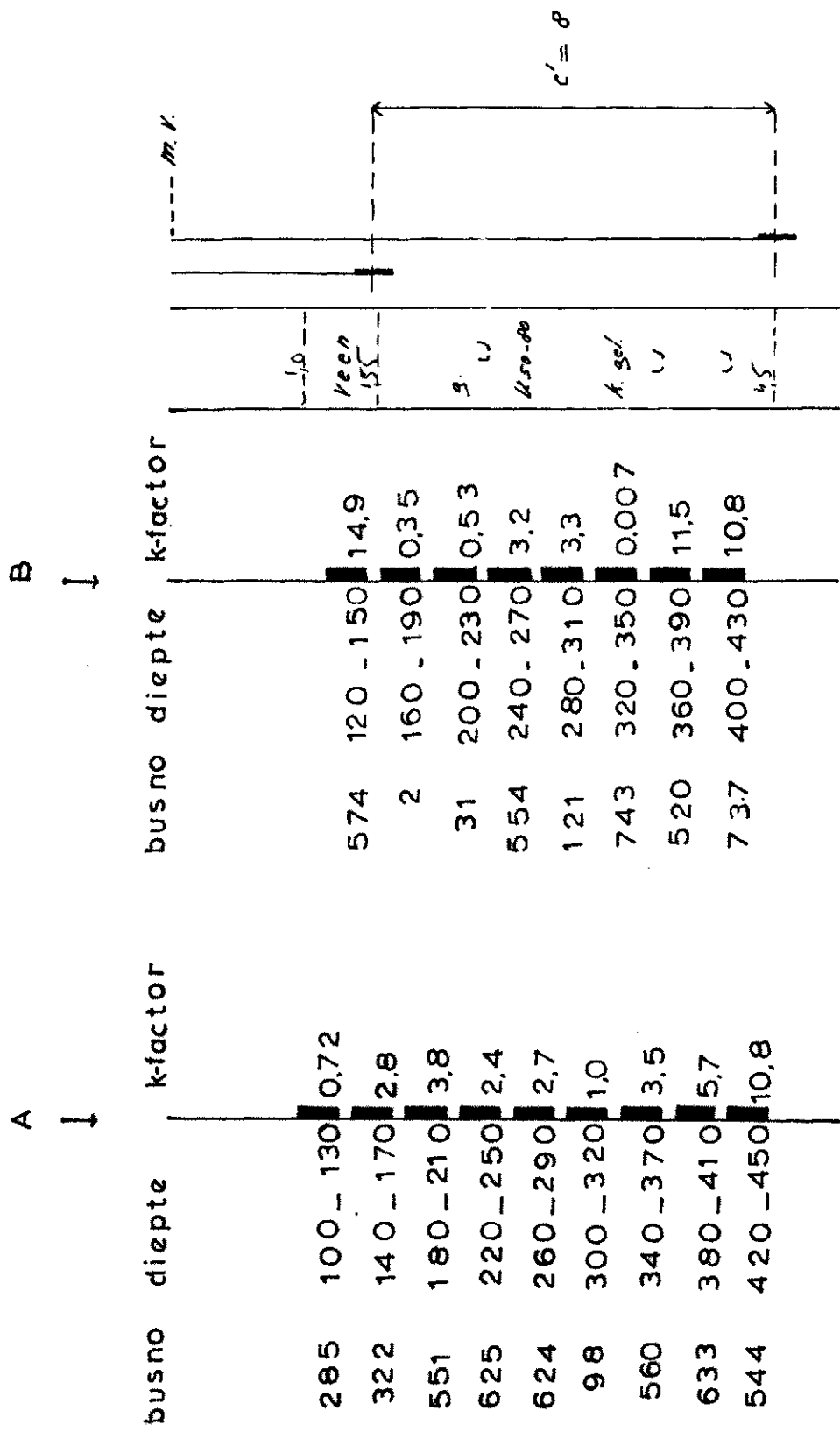




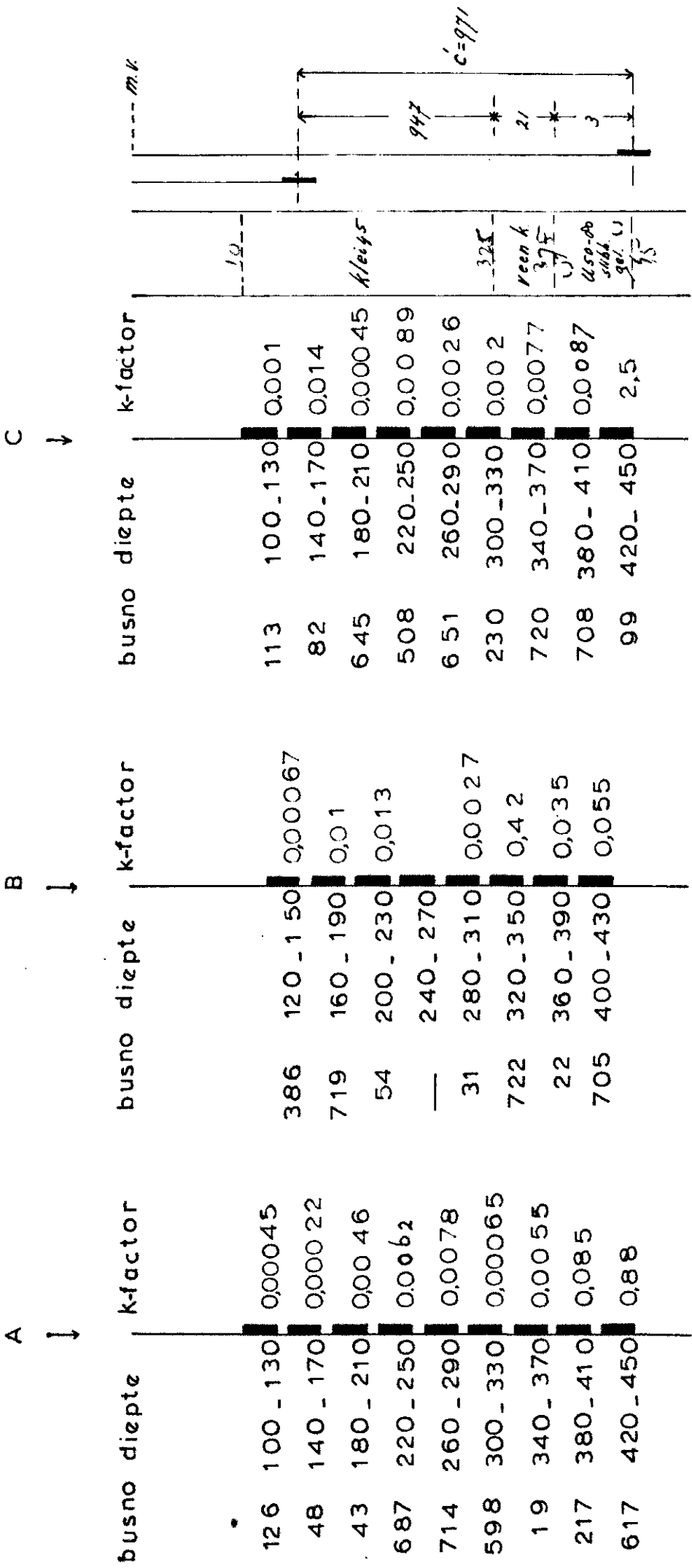
Boring home



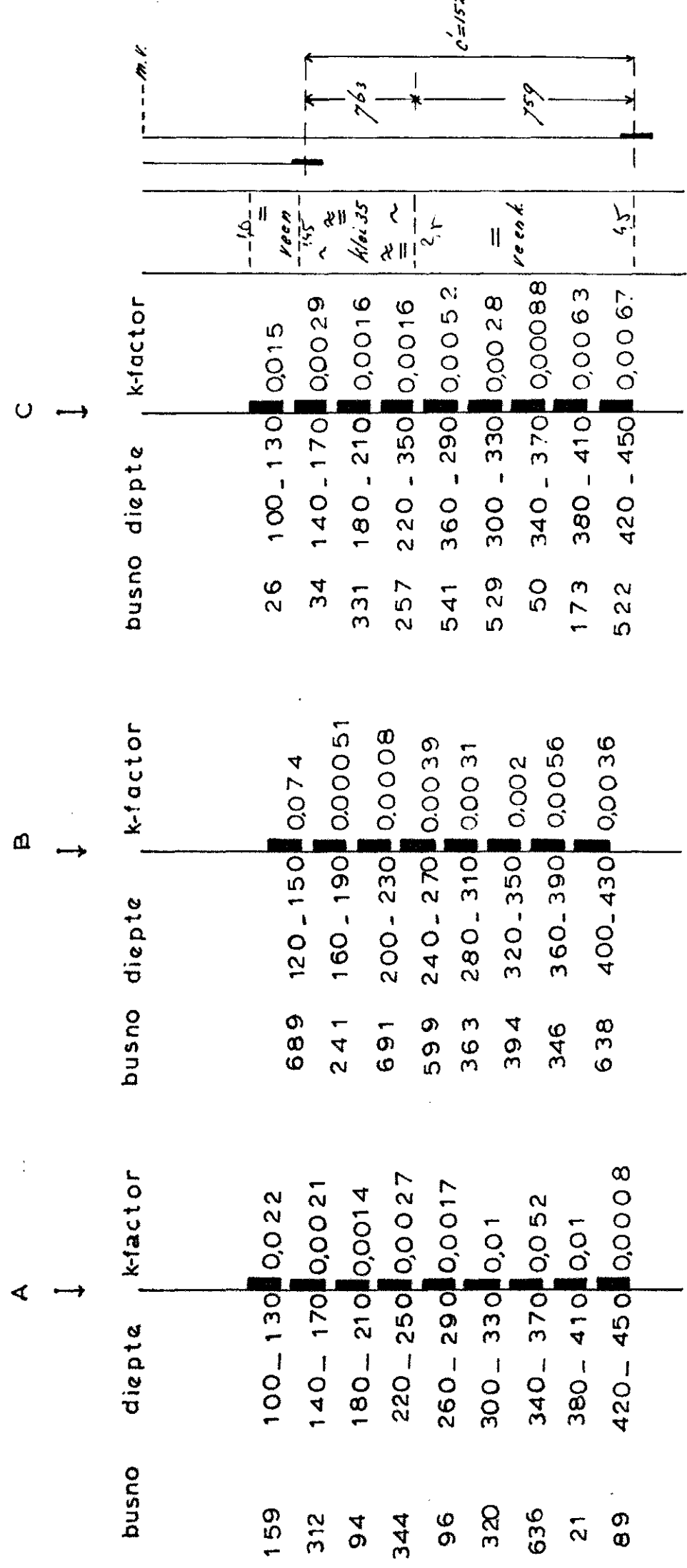
Boring Ho 90



Boring h.o.91



Boring No. 92



HO 93

